



SALGESCH - Villa FAVRE/Villa BRUTTIN

SAS19/SAB19

*Christian GAUDILLÈRE
CORENTIN BONDI
Anaïs DEVILLE*



RAPPORT D'ACTIVITÉS *Mai 2020*

ARIA

Archéologie et recherches interdisciplinaires dans les Alpes
Rue du Rawyl 66 • CP2072 • 1950 Sion 2 nord
Tél. 027 323 51 07 • Fax. 027 323 51 22
aria@aria-sa.ch

*avec la collaboration de:
Romain Andenmatten
Philippe Curdy
Paul-Emile Mothiez
Nicole Reynaud Savioz
Hubert Smulders*

Photos de couverture :

SAS19, tombe 1, déc. 8

SAB19, bât. UT19

SAS19, mur UT16

REMERCIEMENTS

Nous remercions ici la disponibilité du personnel de l'entreprise Constantin Bau AG, la souplesse et la cordialité de son directeur M. Zeiter, la patience intéressée et les gourmandes petites attentions de M. et Mme Favre, propriétaires, MM. Glenz et Cinna, voisins, pour la fourniture de l'alimentation électrique, et enfin Romain Andenmatten, collaborateur de l'Office cantonal de l'archéologie, pour le suivi de l'opération et la couverture topographique.

SOMMAIRE

SECTION 1

• Remerciements	3
• Sommaire	3-4
• Prescription	5-7
• Liste des participants	8
• Fiche signalétique	8
• Déroulement des travaux	8
• Localisation des sites	9
• Contexte archéologique	10

SECTION 2

A SAS19 Villa Favre	
A1 Séquence chronostratigraphique	10-20
A2 Mobilier céramique (P. Curdy)	21-22
A3 Restes fauniques (N. Savioz-Reynaud)	22
A4 Tombe 1 - Etude anthropologique et funéraire (A. Deville)	23-28

SECTION 3

B SAB19 Villa Bruttin	
B1 Séquence chronostratigraphique	29-36
B2 Mobilier céramique (P. Curdy)	37
B3 Restes fauniques (N. Savioz-Reynaud)	37

SECTION 4

C Conclusion	38
D Bibliographie	39

SECTION 5

Annexes SAS19

• Annexe 1 Coupe 1	41
• Annexe 2 Coupe 2	42
• Annexe 3 Diagramme chronostratigraphique phases - Datations C14	43
• Annexe 4 Diagramme chronostratigraphique couches	44
• Annexe 5 Plan de répartition des structures	45
• Annexe 6 Etude mobilier Tombe 1 (R. Andenmatten, OCA)	46-50
• Annexe 7 Etude monnaies Tombe 1 (P.E. Mothiez)	51-66
• Annexe 8 Planches mobilier	67-69
• Annexe 9 Planches détails pathologies Tombe 1	70
• Annexe 10 Liste mobilier	71-73
• Annexe 11 Liste UT	74-77
• Annexe 12 Liste échantillons	78-79
• Annexe 13 Liste plans - Liste points topographiques	80
• Annexe 14 Liste photographies	81-87

SECTION 6

Annexes SAB19

• Annexe 15 Coupe 1	89
• Annexe 16 Coupe 2 - Coupe 4	90
• Annexe 17 Diagramme chronostratigraphique phases - Datations C14	91
• Annexe 18 Diagramme chronostratigraphique couches	92
• Annexe 19 Plan de répartition des structures	93
• Annexe 20 Murs UT5/UT6/UT7/UT8	94
• Annexe 21 Planche mobilier	95
• Annexe 22 Liste mobilier	96
• Annexe 23 Liste UT	97-100
• Annexe 24 Liste échantillons - Liste plans	101
• Annexe 25 Liste points topographiques	102
• Annexe 26 Liste photographies	103-104

LISTE DES PARTICIPANT(E)S

Ioana Benazeth	Technicienne de fouille
Anaïs Deville	Fouilleuse spécialisée
Christian Gaudillère	Archéologue
José Goncalves	Manoeuvre
Gabriele Giozza	Archéologue topographe
Manuel Mottet	Archéologue
Shpétim Murati	Manoeuvre
Hubert Smulders	Photogrammétrie

FICHE SIGNALÉTIQUE

Commune:	Salgesch, district de Loèche
Lieu-dit:	Schnittä
Chantiers:	Villa Favre et Villa Bruttin
Parcelles n°:	4880 et 849
Sigles chantiers:	SAS19 et SAB19
Coordonnées:	CN 1287: 2610643/1129177 et 2610617/1129173
Altitude:	605,50 m et 606,50 m
Surfaces fouillées:	60 m ² et 120 m ²
Type de gisement:	Habitat rural, funéraire.
Type d'intervention:	Fouille préventive.
Dates des interventions:	1 ^{er} avril au 17 mai et 2 mai au 19 juin

DÉROULEMENT DES TRAVAUX

Les interventions de surveillance par l'Office cantonal de l'archéologie sur les parcelles concernées, qui ont consisté en tranchées de sondage, ont révélé la présence de séquences et de vestiges archéologiques. Après avoir effectué les relevés des coupes stratigraphiques liés à ces sondages préliminaires, la totalité des surfaces impactées par les travaux d'aménagement a été décapée à la pelle mécanique pour atteindre les premiers niveaux d'apparition des vestiges.

SAS19: Six décapages manuels, au travers de phases d'aménagement, de démolition ou de colluvionnement, ont permis la fouille de vingt-neuf structures en creux (structures de combustion, fosses, trous de poteaux, rigole de sablière basse), ainsi que d'un muret (UT16). Excepté le mobilier de la sépulture, 255 tessons de céramique, 3 objets métalliques (bronze), 2 artefacts en pierre et 105 fragments d'os d'animaux ont été prélevés. Un septième décapage de contrôle en fond de terrassement, effectué à la pelle mécanique, a amené à la fouille d'une tombe à inhumation (T1), riche en mobilier métallique et céramique, et avec monnaies.

SAB19: A l'issue de quatre décapages manuels, quarante-trois structures en creux ont été révélées (essentiellement des trous de poteaux, quelques fosses et structures de combustion), ainsi que cinq murs de soutènement de terrasse ou de bâtiment, et trois aménagements de sols empierrés. Trente-sept tessons de céramique, douze objets métalliques (huit en fer et quatre en bronze), dix-huit fragments de récipients en pierre ollaire, un fragment d'aiguiseur et cinquante-neuf fragments d'os d'animaux ont été prélevés. Il est à préciser que les délais impartis pour cette opération n'ont pas permis de fouiller tous les trous de poteaux, et que le respect des niveaux de fond de terrassement a laissé inexplores les vestiges les plus anciens.

LOCALISATION DES SITES

Fig.1 - Commune de Salgesch, district de Loèche.
(Extrait de carte Swisstopo).

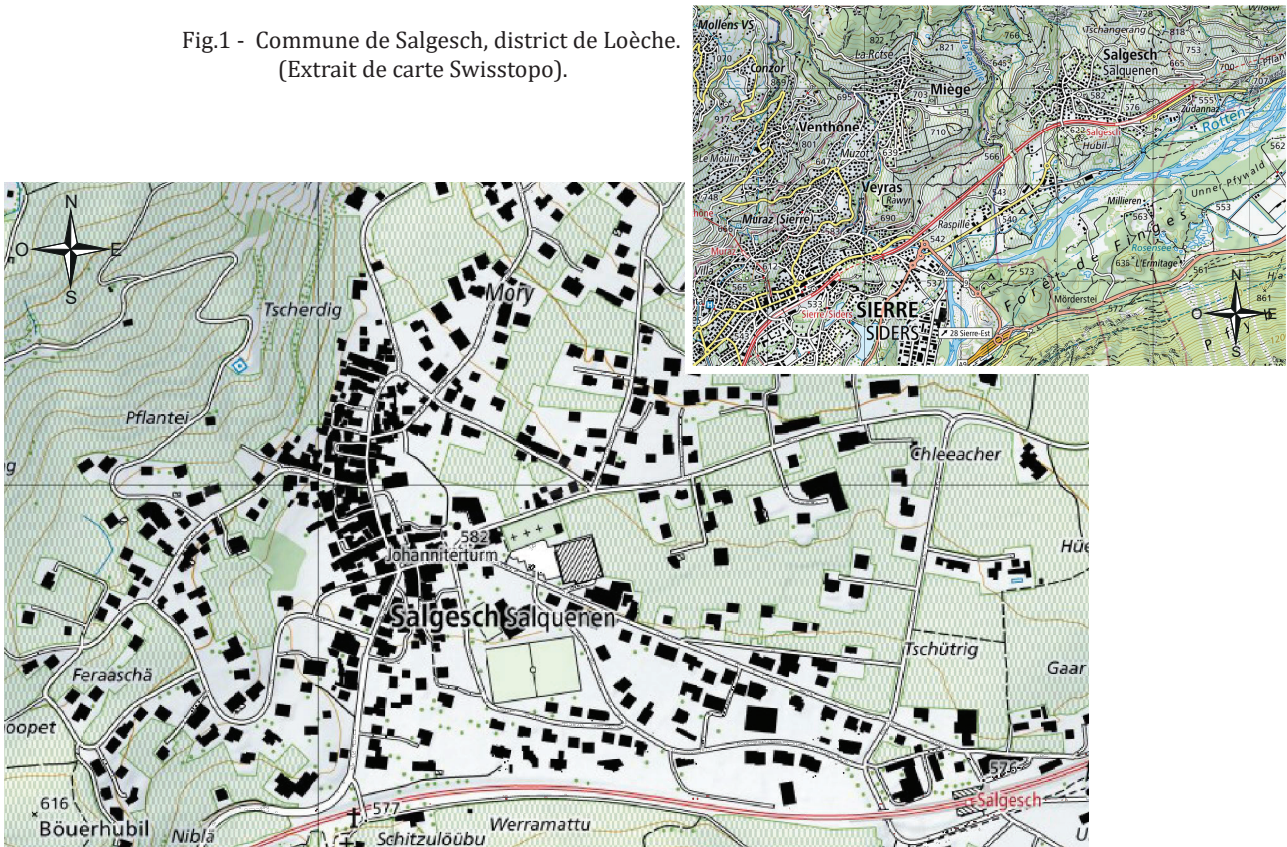


Fig.2 - Salgesch. Situation des parcelles 849 et 4880.



Fig.3 - Salgesch. Plan de situation des chantiers SAS19 (parcelle 4880) et SAB19 (parcelle 849).

CONTEXTE ARCHÉOLOGIQUE

Les secteurs concernés par ces deux campagnes de fouille se situent au nord du bourg de Salgesch, au pied du versant nord (adret) de la vallée du Rhône. Il est constitué de dépôts de pente, alternance d'alluvions (de ruissellement, de débordement ou torrentielles) et de colluvions. Ces dernières ont formé des paléosols sur lesquels ont pu prendre place une succession d'occupations humaines, protohistoriques, romaines et médiévales.

Rappelons, dans un proche environnement, le site d'habitat rural de Maregraben, situé un peu plus au sud (fouille ARIA 2000-2001), daté de l'âge du Bronze, qui précède des vestiges du Premier âge du Fer et de la période romaine.

Ce site est surplombé par la colline de Hübil où ont été découverts des objets de la période romaine, ainsi qu'une tombe de l'époque de La Tène (DAVID-ELBIALI et GIOZZA 2020).

Enfin, vers 1980, lors de travaux de défoncement de la vigne, un mur d'une dizaine de mètres de longueur accompagné de vestiges d'habitat avait été repéré au lieu-dit Tschangerang, à l'amont de la zone d'investigations de 2019, ces découvertes n'ayant pas été documentées à l'époque. L'ensemble de ces périodes d'occupations sont par ailleurs représentées sur le site du Mörderstein, dans le Bois de Finges, auxquelles s'ajoutent des vestiges de stations préhistoriques mésolithiques et néolithiques.

Hors territoire de la commune de Salgesch, il est à noter, à l'Est, le site de Varen/Sportplatz (Premier âge du Fer), interprété comme une zone artisanale en terrasse, avec un mur de soutènement et de nombreuses structures de combustion (HÉRITIER 2002).

Enfin, au sud-est, citons la découverte en 1909 d'une double inhumation au lieu-dit Les Bernunes (commune de Sierre), dont le mobilier (monnaies, fibules, bracelets, vases, semelles cloutées) pourra servir de parallèle avec la tombe fouillée sur la parcelle de la villa Favre (*Le Valais avant l'Histoire* 1986).

A - SAS19 Villa Favre

En contexte de versant, les phénomènes successifs de sédimentation, alluviale ou colluviale, pouvant être très dynamiques, entraînent une forte érosion qui, dans le cas présent, a détruit et emporté les sols d'occupation et zones de circulation ou d'activités. Il ne subsiste donc, pour l'essentiel, que les structures creusées ou construites (murs), masquant la réalité de l'agencement chronostratigraphique des événements. Pour cette raison, le mobilier collecté ne l'a été qu'en position d'épandage par colluvionnement, mis à part les pièces in situ dans les structures fouillées.

De plus, le décapage initial à la pelle mécanique a créé des lacunes dans la série sédimentaire, empêchant le lien direct de certaines séquences.

D'autre part, le choix a été fait de traiter séparément les deux sites. En effet, seuls la couche de scellement finale et le substrat profond leur sont communs. La distance géographique et l'écart chronologique qui les séparent ne permettent pas non plus de leur trouver des points de convergence.

A1 - Séquence chronostratigraphique (Annexe 3)

AL1

Cette phase alluviale très puissante, d'environ un mètre d'épaisseur, observée dans la coupe 1, se présente comme une alternance de cailloutis plus ou moins denses et grossiers, et de litages et lentilles sablo-limoneux.

A la base, on trouve un cailloutis hétérogène parfois très grossier, dans une matrice sablo-gravillonneuse blanchâtre, dont l'origine pourrait être les matériaux déposés par l'éboulement de Sierre, plus ancien que ces dépôts d'à peine trois millénaires.

Puis vient une série plus fine, avec alternances de cailloutis et sables limoneux homogènes, dont la caractéristique principale est la couleur rouge à rose saumon, due à des phénomènes d'oxydations. En effet,

le soubassement formé par le remaniement du matériel de l'éboulement a une perméabilité inférieure à celle des alluvions et exerce ainsi un barrage hydraulique (GABUS *et al.* 1998), permettant la circulation ou la stagnation des eaux d'infiltration.

Puis vient un niveau d'alluvions torrentielles hétérogènes, formé de cailloutis et de sables gravillonneux contenant de gros blocs. Cette série se termine par une succession discordante de cailloutis petits à moyens, denses, avec gravillons et intercalations de sables limoneux beiges.

CO2

Présent uniquement au sud de la zone fouillée, en intercalation dans les derniers niveaux d'alluvions, dépôts de limons sableux bruns, homogènes.

AL3

Dernière phase d'alluvionnement composée de cailloutis sablo-gravillonneux.

OCC4-OCC7

Les structures de cette phase d'occupation, la plus ancienne du site, forment un ensemble situé dans le quart nord de la zone de fouille, ce qui laisse présager une continuité plus à l'amont.

On y trouve trois trous de poteaux, une fosse empierrée visible seulement dans la coupe nord, et une structure de combustion (UT43), datée du Premier âge du Fer par l'analyse C14 d'un prélèvement de charbon (EA37) qui a fourni une datation comprise entre 702 et 390 BC (*Annexe 3*).

Il s'agit d'une fosse subcylindrique, d'un diamètre d'environ 1 m pour une profondeur de 0,45 m, entièrement tapissée de dalles calibrées et jointives (les dalles de la partie nord de ce coffrage, effondrées, se retrouvent fragmentées au centre de la fosse), rubéfiées. Le fond est tapissé d'une épaisse couche de charbons de bois. Les sédiments encaissants, eux aussi rubéfiés, témoignent d'une forte température.



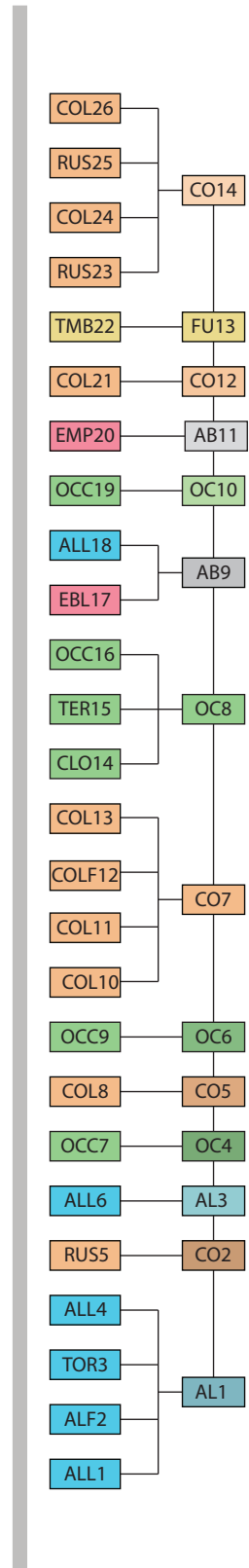
Fig.4 - SAS19, OCC7, UT43, déc 3.2.



Fig.5 - SAS19, OCC, UT43, déc 3.3.



Fig.6 - SAS19, OCC7, UT43, déc 3.4.



SAS19							
Proc.	Ev.		Description	Interprétation	Dim. 1 (m)	Dim. 2 (m)	Prof. (m)
OC4	OCC7	UTA 43	Fosse circulaire. En surface, limon beige, gravillonneux et caillouteux qui surmonte un limon brun caillouteux avec quelques dallettes rubéfiées et nodules de terre cuite jaune. Puis niveaux de dallettes rubéfiées (20 à 25 cm) et quelques charbons. Le fond est tapissé d'une couche de bois brûlé (épaisseur d'environ 2 cm), qui remonte contre la base des dalles verticales. Les parois sont tapissées de dalles verticales bien calibrées (35 à 45 cm de hauteur, environ 25 cm de largeur) et toutes rubéfiées. Au dos des dalles de parois, les sédiments encaissants sont rubéfiés.	Fosse foyer avec coffrage de dalles.	1,00		0,45
		UTA 52	Petite tache sombre au centre d'une zone circulaire avec quelques charbons. A la fouille, dépression cylindrique à remplissage limono-sableux, brun, avec quelques cailloux, petites pierres, petits débris d'argile jaune et très nombreux charbons. Remplissage très meuble avec vide.	Trou de poteau.	0,20		0,35
		UTA 54	A l'apparition, concentration circulaire de pierres et petits blocs. Dépression cylindrique à fond légèrement concave.	Trou de poteau.	0,40		0,35
		UTA 63	Structure circulaire.	Trou de poteau.	0,15		0,15
		UTA 66	Après le décapage final pelle mécanique, visible dans la coupe Nord, dépression empierrée de petits blocs.	Fosse.	0,80		

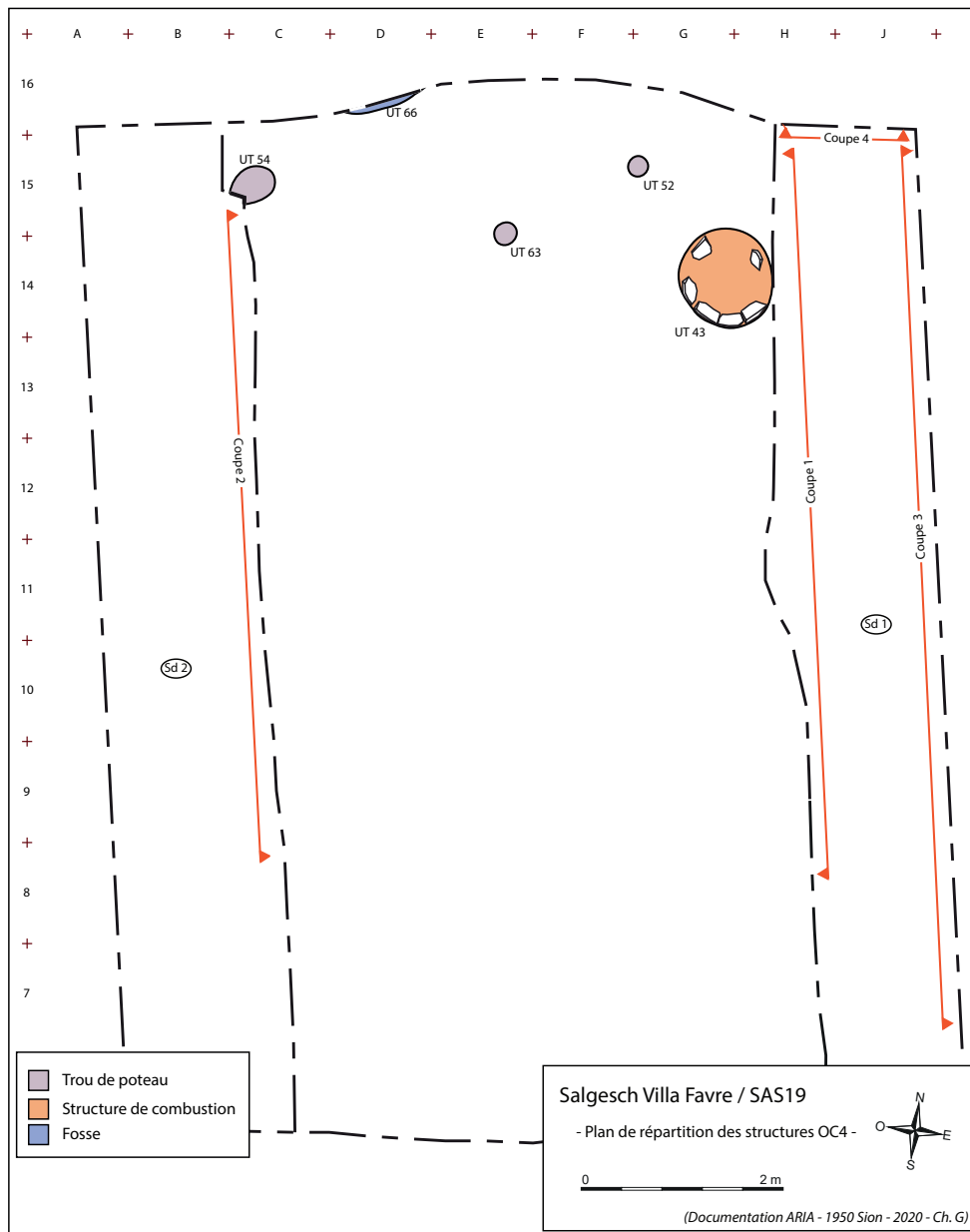


Fig.7 - SAS19, OC4, plan de répartition des structures.

C05

Cette séquence colluviale présente un faciès assez grossier, hétérogène, avec des cailloutis gravillonneux pris dans une matrice limoneuse. L'UT31 a fourni une vingtaine de tessons d'un pot avec rebord à encolure, décor d'impressions lancéolées, à pâte indigène (n°43.1/44.1/48.1) (pl.1.4).

OC6

C'est la phase la plus dense en structures : huit trous de poteaux, quatre structures de combustion (UT7, 8, 47, 51), une "rigole" (UT58) et une trace de bois brûlé (UT56). Bien qu'aucune trace de sol d'occupation ou d'activité ne soit conservée, ces structures semblent positionnées sur la pente du versant, sans aménagements particuliers. En effet, les couches de colluvions antérieures puis postérieures ne montrent pas de dérangements ou de discordances. La structure UT39 (TP) a livré une fibule de type Nauheim (fin 2^e-1^{er} siècle av. J.-C.) qui permet de situer chronologiquement cette phase à l'époque de la Tène finale.

UT7/UT8

Ces deux structures, très semblables, sont presque parfaitement circulaires, aux parois verticales et à fond plat. Elles diffèrent cependant par le fait que l'UT7 présente en fond un dallage aménagé sur lequel reposent les charbons de bois (dont des segments de branches conservés), aménagement absent dans l'UT8. On a donc ici deux types de foyers, associés par leurs dimensions et leur proximité, pour sans doute deux types de cuissons.



Fig.8 - SAS19, OC6, UT7, déc 2.3.



Fig.9 - SAS19, OC6, UT8, déc 3.4.

UT9

Visible en coupe 2 (c.14), et en partie détruite par le creusement du sondage 2, il ne reste de cette structure que le quart est et la dalle de fond. Le remplissage hétérogène est composé d'écaillés et de fragments de dalles rubéfiées, de branches carbonisées, contenus dans un coffre composé de petites dalles verticales (deux sur trois sont rubéfiées) et d'une dalle de fond (non rubéfiée). Le sédiment encaissant ne présente pas de traces de rubéfaction.

La combustion in situ semble exclue. Il ne s'agirait donc pas d'un four/foyer comme initialement identifié, construit avec des éléments de récupération d'une structure de combustion. L'hypothèse d'une crémation en dépôt secondaire peut ainsi être envisagée, même si aucun fragment d'os brûlé n'a été observé. Le tamisage des sédiments prélevés pourrait apporter une réponse.



Fig.10 - SAS19, OC6, UT9.

UT47

Le fond de cette fosse montre un niveau charbonneux surmonté de petits blocs et de dalles posées à plat. Quelques plaquettes ont aussi été observées en position redressée contre les parois, montrant des traces de rubéfaction. On pense à un foyer fermé de type four en fosse aux parois tapissées de dalles. Le reste du comblement est hétérogène et chaotique, fait de blocs, dalles, plaquettes, charbons de bois, fragments d'argile jaune, colmatés par des sédiments limoneux d'infiltration. On y trouve, entre autres, des éléments triangulaires concaves d'argile (cru ou cuite), interprétés comme des joints d'étanchéité de parois en rondins de type blockbau. Cet ensemble d'indices amène à l'hypothèse d'un habitat incendié, cette structure UT47 ayant ensuite servi de fosse de rejet.

Sont également présents de nombreux fragments de céramique à l'aide desquels cinq formes typologiques peuvent être identifiées (*Annexe 6*). Mise à part une forme carénée (n°62 et 65) (*pl.1.1*), parasite car potentiellement datable du Premier âge du Fer, tous les autres éléments indiquent une fourchette chronologique assez large, allant des trois derniers siècles avant notre ère jusqu'au milieu du 1^{er} siècle après J.-C. Ce large espace de temps situe cette occupation et les suivantes dans une période d'assimilation progressive des apports de la civilisation romaine aux cultures locales de la fin de l'âge du Fer, caractères mixtes que l'on retrouvera dans la tombe (T1), élément le plus récent du site.



Fig.11 - SAS19, OC6, UT47, déc 3.2.



Fig.12 - SAS19, OC6, UT47, déc 3.5.

UT56/UT58

Une trace charbonneuse rectiligne (UT56) et une dépression linéaire et rectiligne (UT58), parallèles entre elles et à la pente du terrain, pourraient être les vestiges de parois érigées sur sablières basses, avec une tranchée d'implantation au nord, et un résidu de poutre calcinée au sud. Cet espace clos encadre les deux foyers précédemment décrits.

SAS19

Proc.	Ev.	UTA	UT Description	UT Interprétation	Dim. 1 (m)	Dim. 2 (m)	Prof. (m)
OC6	OCC9	UTA 7	A l'apparition, forme circulaire, très charbonneuse, avec dallettes verticales. Limon fin, brun, moins caillouteux que l'UT6 environnante. Forme presque parfaitement circulaire (diamètre = 70 à 76 cm), aux limites très nettes, avec présence de gros charbons épars qui s'alignent en partie le long du bord de la fosse (partie sud). Concentration de charbons (bûche ?) au sud-ouest de la fosse (20 x 13 cm). Présence de quelques dallettes brisées et délitées (effet de chauffe ?) et de fragments d'argile crue. La fouille de la moitié ouest de la structure révèle rapidement (- 1cm) la présence sur toute la surface de gros charbons de bois dont fragments (branche) intacts. Puis, à - 2cm, concentration de branches carbonisées avec un peu de limon noir. Enfin, à - 2 ou 3 cm, fond de la structure avec aménagement de dalles jointes. Les parois de la fosse sont rubéfiées.	Foyer à dalles.	0,75		0,22
		UTA 8	Forme circulaire, limon brun légèrement plus foncé et moins caillouteux que l'UT6 environnante. Peu discernable au déc 1. Au déc 2, forme presque parfaitement circulaire (diamètre = 73 à 74 cm). A ce stade, l'UT est bien visible. Quelques charbons épars, dont certains délimitent le Sud de la fosse. Présence de quelques fragments d'argile (cuite ?). Au déc 2.1, décapage du sommet de la structure, avec quelques dallettes presque de chant. Toujours quelques fragments d'argile jaune. Au déc 2.2, on arrive sur des dallettes rubéfiées, très éparses mais qui semblent posées sur le niveau charbonneux qui tapisse le fond de la structure.	Foyer	0,74		0,21
		UTA 9	Grande dalle posée à plat en fond de sondage 2, et de c.14 de la coupe 2, on retrouve l'extrémité Est de cette structure dans la zone de fouille, sous la forme d'une zone hémicirculaire, délimitée par des dallettes verticales. Présence de nombreux charbons et de fragments de terre cuite. Le sommet affaissé est comblé par l'UT1 scellante, puis par un gravillon à matrice limoneuse rare, peu compacte, avec dallettes dont la plupart sont rubéfiées. Le remplissage contient ensuite des fragments de branches brûlées. La paroi est tapissée de 3 dalles verticales qui ne chevauchent pas la dalle de fond.	Structure de combustion ou sépulture (crémation) en coffre.	0,70	0,65	0,36
		UTA 21	Petite dépression conique, avec remplissage de limon gravillonneux brun. Présence de charbons.	Fond de trou de petit poteau.	0,15		0,07
		UTA 22	Dépression tronconique à fond concave, avec remplissage de limon gravillonneux brun. Présence de charbons, en grande densité au centre (~20 cm). A -10cm, remplissage de sable jaune avec charbons. Plusieurs nodules d'argile jaune orange ont été trouvés.	Trou de poteau brûlé.	0,30		0,23
		UTA 23	Petite dépression conique à fond plat, avec remplissage de limon gravillonneux brun.	Trou de gros piquet.	0,20		0,10
		UTA 24	Coupée par l'UT9, dépression cylindrique (supposée) bordée de plusieurs dallettes verticales. Remplissage de limon brun homogène, avec quelques gravillons et galets. A la fouille, remplissage limono-gravillonneux, hétérogène, avec cailloux. Présence de charbons et de fragments d'argile jaune orange.	Trou de poteau	0,26		0,18
		UTA 39	Zone circulaire de limon jaune homogène. Quelques petites plaquettes verticales en marquent les bords. Trois dallettes verticales bordent la paroi. Celle au nord a basculé vers l'intérieur. Celle à l'Est est complètement rubéfiée et se délite. Présence de 2 blocs au centre de la dépression. A moins 22 cm, apparition d'une petite dalle posée à l'horizontale. La fouille de la structure UT47 montrera que cette dalle lui appartient. Elle marque donc le fond de cette structure UT39.	Trou de poteau.	0,30		0,16
		UTA 47	Très partiellement tronquée par le sondage 2, large fosse parfaitement circulaire vue en coupe 2 (c.12). A la base des UT 11 et 44 scellantes piégées dans l'affaissement de la fosse, on trouve un premier niveau de dalles et dallettes (quelques blocs en surface) colmatées partiellement par un limon argileux brun (limon d'infiltration), sur une épaisseur d'environ 30 cm. Certaines de ces dallettes sont chauffées. Dès ce niveau, les sédiments encaissants montrent des traces de rubéfiations. Peut-être un semblant d'organisation des grandes dalles horizontales en périphérie. Puis, niveau de petites plaquettes rubéfiées, colmatées par un limon brun avec nodules d'argile jaune et charbons, concentrés au milieu de la structure (épaisseur ~25 cm). De nombreuses plaquettes sont redressées et collées contre les parois. A la base de ce niveau, plus forte concentration d'argile jaune. Puis niveau de dalles posées à plat avec quelques tessons de céramique fine. A la base, nombreux tessons appartenant sans doute à un même vase à bord digité (épaisseur ~15 cm). Enfin, le fond, constitué de limon brun, caillouteux, très charbonneux avec nodules d'argile (épaisseur ~5 cm).	Fosse foyer (avec coffrage de dalles effondrées?), comblée par des éléments de démolition d'un habitat.	1,00		0,75
		UTA 51	Dépression peu profonde visible en surface par une forte coloration jaune orange du sédiment (rubéfaction) qui remplit le sommet de la structure (argile de paroi incendiée?). A la base de ce remplissage, niveau charbonneux. Un bloc/dalle (6 cm d'épaisseur) repose à plat sur le fond et au centre de la fosse.	Foyer.	78,00	0,67	0,20
		UTA 56	A l'interface des UT48 et 55, trace charbonneuse rectiligne, parallèle au mur UT16, qui suit le tracé de la rupture de pente creusée dans l'UT48. Léger surcreusement de l'extrémité ouest. Présence de débris d'argile jaune orange.	Trace de poutre brûlée?			
		UTA 57	Tronquée par le sondage 2, fosse ovale avec remplissage de limon gravillonneux et caillouteux. Rares charbons épars, quelques très petits nodules de terre cuite rouge orange. Limites très incertaines, d'ailleurs mal observées dans la coupe 2 du sondage 2.	Fosse.	1,40	0,70	0,55
		UTA 58	Observée depuis le début des décapages, dépression linéaire rectiligne qui marque la limite Sud de l'UT37 et en est comblée. En C/13-14, petite concentration de pierres posées à plat ou légèrement inclinées (UT59). Largeur 20 à 30 cm, profondeur 7 à 8cm.	Rigole (sablère ou drainage?).			
		UTA 59	Petite concentration de pierres posées à plat ou légèrement inclinées à l'extrémité Ouest de la rigole UT58, légèrement surcreusée et élargie à cet endroit.	Calage de sablière?			
		UTA 60	Dépression peu profonde (~19 cm), ovale à remplissage limono-sableux, brun marron, gravillonneux avec petits charbons et petits fragments d'argile jaune. En position légèrement décentrée, calage de petits blocs et dallettes plantés verticalement, rempli de sédiment brun gris peu compacte (bois du poteau).	Trou de poteau avec calage.			0,35
		UTA 62	Pas vu en plan, observé dans la paroi de la fosse UT47. Remplissage de cailloutis limoneux brun, avec quelques microcharbons. Forme cylindrique.	Trou de poteau	0,18		0,22

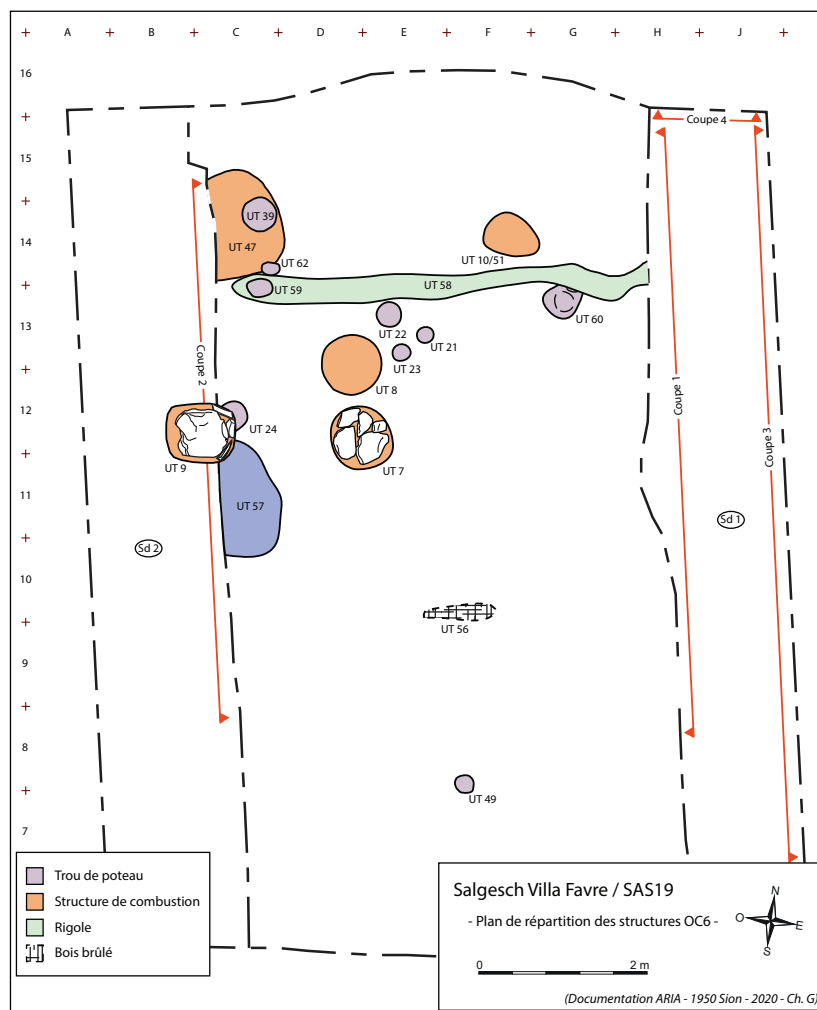


Fig.13 - SAS19, OC6, plan de répartition des structures.

C07

Phase de dépôts de colluvions de pente, plus ou moins homogènes, parfois caillouteux, dans une matrice de limon sableux compact; ces niveaux contiennent tous, hormis l'UT26 (la plus récente), des fragments de céramique, d'argile crue ocre jaune (parois de bâtiment), des charbons de bois ou quelques restes fauniques. On retrouve ainsi dans cet épisode de colluvionnement les vestiges d'un niveau d'occupation, érodé puis entraîné, celui décrit précédemment sans doute (OC6).

OC8

C'est à partir de cette phase d'occupation qu'apparaissent les signes d'un aménagement du versant. Les UT26 et UT48 antérieures sont talutées pour permettre l'érection du mur UT16 et l'installation d'une terrasse empierrée (UT29 et UT30). Trois trous de poteaux sont associés à ces aménagements.

CLO14-UT16

Très légèrement implanté dans les couches de base (UT31, UT55), il s'agit d'un muret à un seul parement et deux assises conservées de gros blocs empilés assez sommairement. La deuxième assise semble rythmée par de plus gros modules espacés d'environ 1,50 m. Cet ensemble est interrompu et traversé par la fosse d'installation d'un poteau quadrangulaire intégré dès sa construction (UT41).

On pensera à propos de cette structure, plutôt qu'à un mur de terrasse, à un muret délimitant un enclos dévolu à une activité agraire ou pastorale après abandon de la zone comme lieu d'occupation.

Les sondages 1 et 2 ont vraisemblablement détruit les extrémités de cette construction qui n'apparaît pas dans les profils est et ouest du terrassement.

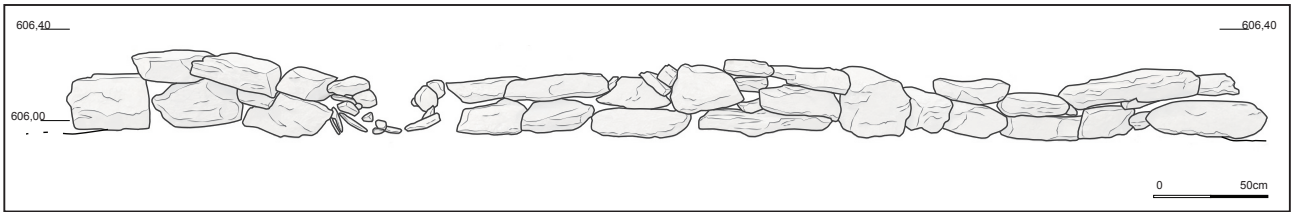


Fig.14 - SAS19, OC8, CLO14, UT16.

TER15-UT29-UT30

Conjointement à l'édification de ce mur, un épais empierrement (~20 cm conservés) a été installé à l'amont et à l'aval, dans un but de consolidation et d'aplanissement.

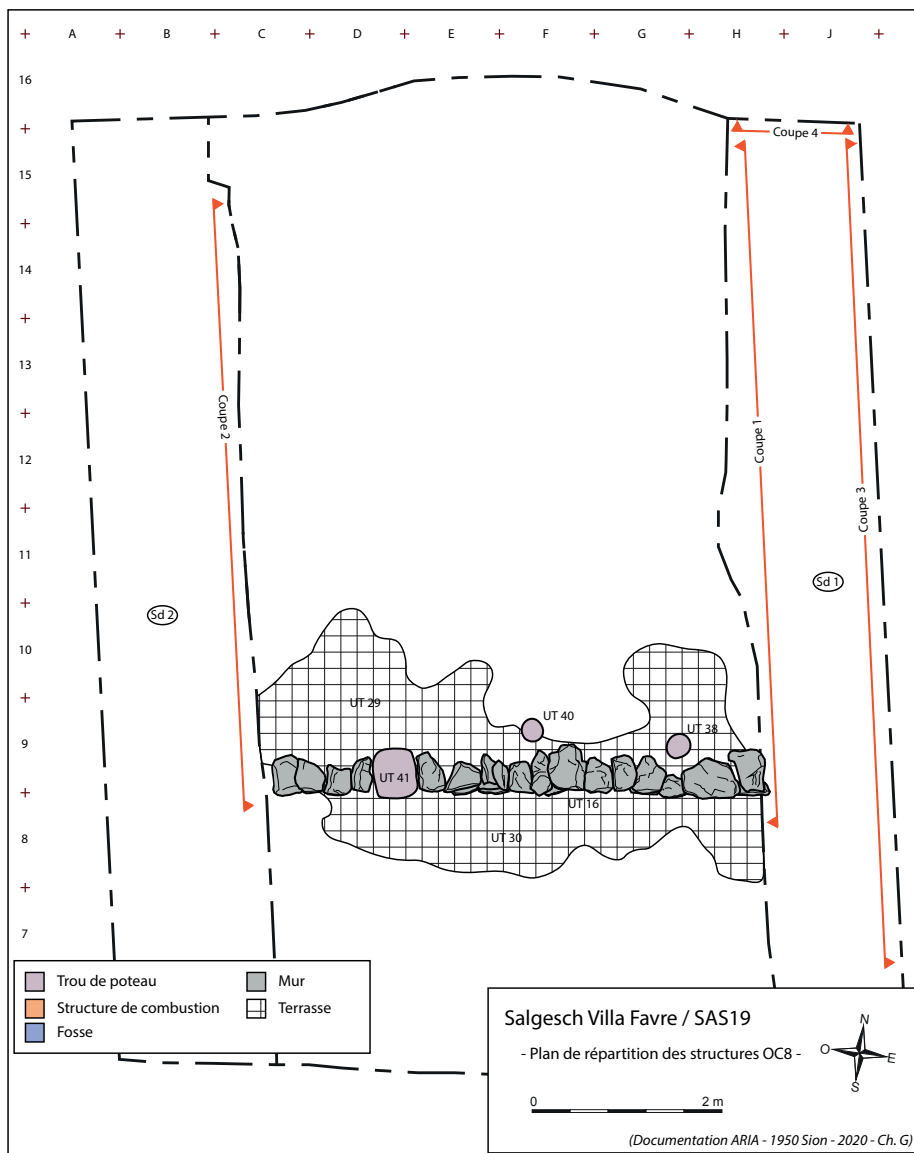


Fig.15 - SAS19, OC8, plan de répartition des structures.

SAS19				UT Description	UT Interprétation	Dim. 1 (m)	Dim. 2 (m)	Prof. (m)
OC8	OCC1 6	UTA	38	Petite dépression tronconique, à remplissage limono-sableux, homogène, moyennement compact, brun jaune. Au sommet, couronne périphérique incomplète de pierres dressées contre la paroi.	Trou de poteau.	0,22		0,23
		UTA	40	Dépression subcylindrique à fond plat. Remplissage limono-sableux brun marron, hétérogène, avec gravillons et petits cailloux. Présence de quelques éléments plats et vifs, provenant des UT 14 ou 29.	Trou de poteau.	0,22	0,18	0,17
		UTA	41	Inserées dans le parement du mur UT16, dalles redressées (calage) qui délimitent une dépression subquadrangulaire. Remplissage limono-sableux, homogène, brun marron, avec éclats de dalles. Présence de petits débris d'argile jaune orange jusqu'au fond. Dimensions de la fosse avec calages: 0.50 x 0.42 m	Trou de poteau.	0,32	0,22	0,22
		UTA	57	Tronquée par le sondage 2, fosse ovale avec remplissage de limon gravillonneux et caillouteux. Rares charbons épars, quelques très petits nodules de terre cuite rouge orange. Limites très incertaines, d'ailleurs mal observées dans la coupe 2 du sondage 2.	Fosse.	1,40	0,70	0,55
	TER1 5	UTA	29	A l'amont du mur UT16, niveau très hétérogène, petits blocs et surtout fragment/éclats de dalles ou dallettes. Au moins 2 trous de poteaux sont déjà visibles à son sommet.	Aménagement d'une zone d'activité.			
		UTA	30	A l'aval du mur UT16, blocs (moyens à gros) et éclats/fragments de dalles ou dallettes.	Aménagement d'une zone d'activité.			
CL014	UTA	16	En coupe 1, blocs et dalles empilés sur trois assises. Au pied de cet aménagement, au Sud, étalement des éléments effondrés. En coupe 2, négatifs de gros blocs/dalles, peut-être sur deux assises, arrachés par la pelle mécanique. Déc 1: Quelques grosses dalles et blocs alignés Est/Ouest, en apparition sous l'UT14. En H/6-7, 4 dalles flottantes dans l'UT1 scellante appartenaient sans doute à cette structure. Déc 2: Mieux dégagé, un seul parement, deux assises conservées sont déjà visibles en C-D/9. Quelques grosses dalles débordantes de la dernière assise, à l'amont, semblent rythmer la construction.	Mur d'enclos.	5,30			

AB9

D'abord, un épisode de colluvionnement a déplacé quelques éléments constitutifs du sommet du muret UT16. On retrouve dans ce dépôt hétérogène des artefacts (tessons de céramique indigène, fragments d'os animaux, nodules d'argile de parois) arrachés aux niveaux d'occupation situés plus à l'amont. Puis une nappe d'alluvions caillouteuses vient recouvrir l'ensemble de la zone.

OC10

Une fosse avec piquets, deux trous de poteaux associés et un foyer à dalle sont les dernières traces d'activités sur le site SAS19. Situées tout au sud de la zone fouillée, elles pourraient être l'amorce à cette période d'un développement des occupations humaines vers l'aval du versant.



Fig.16 - SAS19, OC10, UT20-UT42, déc 3.2.



Fig.17 - SAS19, OC10, UT35, déc 3.2.

SAS19				UT Description	UT Interprétation	Dim. 1 (m)	Dim. 2 (m)	Prof. (m)
OC10	OCC19	UTA	20	Concentration de blocs (moyens à gros), certains plantés verticalement, dessinant un "coffrage" rectangulaire, orienté Nord/Sud, installé dans une fosse ovale allongée. A l'extrémité Sud de la structure, présence d'un trou de poteau circulaire avec calages périphériques (UT42). La forme initiale rectangulaire serait donc créée par l'alignement de 2 structures avec calages, l'une ovale (UT20), l'autre circulaire (UT42).	Trou de poteau.	0,50	0,45	0,52
		UTA	27	Tronquée par le sondage 1, extrémité ouest d'une large dépression supposée ovale ou circulaire à remplissage de limon gravillonneux et caillouteux, brun. Présence de quelques charbons épars et fragments de terre cuite orange.	Indéterminé.	1,20		0,30
		UTA	28	Au fond de la fosse UT27, 2 petites dépressions. L'une, petite cuvette peu profonde, à remplissage limono-sableux noirâtre, très peu caillouteux et gravillonneux. Diamètre 15 cm, profondeur 5 cm. L'autre, tronconique, à creusement oblique orienté à l'ouest. Remplissage limono-sableux noirâtre, très peu caillouteux et gravillonneux.	2 trous de poteaux.	0,19		0,16
		UTA	35	Fosse ovale. Remplissage charbonneux sur 3 cm d'épaisseur. Quelques pierres marquent les parois. Au fond, une dalle posée à plat.	Foyer.	0,73	0,53	0,17
		UTA	42	Zone circulaire (0.10 à 0.35 cm de largeur), avec bordure de dalles de calage, parfois doublées. Certaines d'entre elles sont rubéfiées. Au sommet du remplissage, sur une épaisseur d'environ 10 cm, limon sableux brun clair, peu gravillonneux. Puis, limon caillouteux et gravillonneux.	Trou de poteau.	0,50		0,44

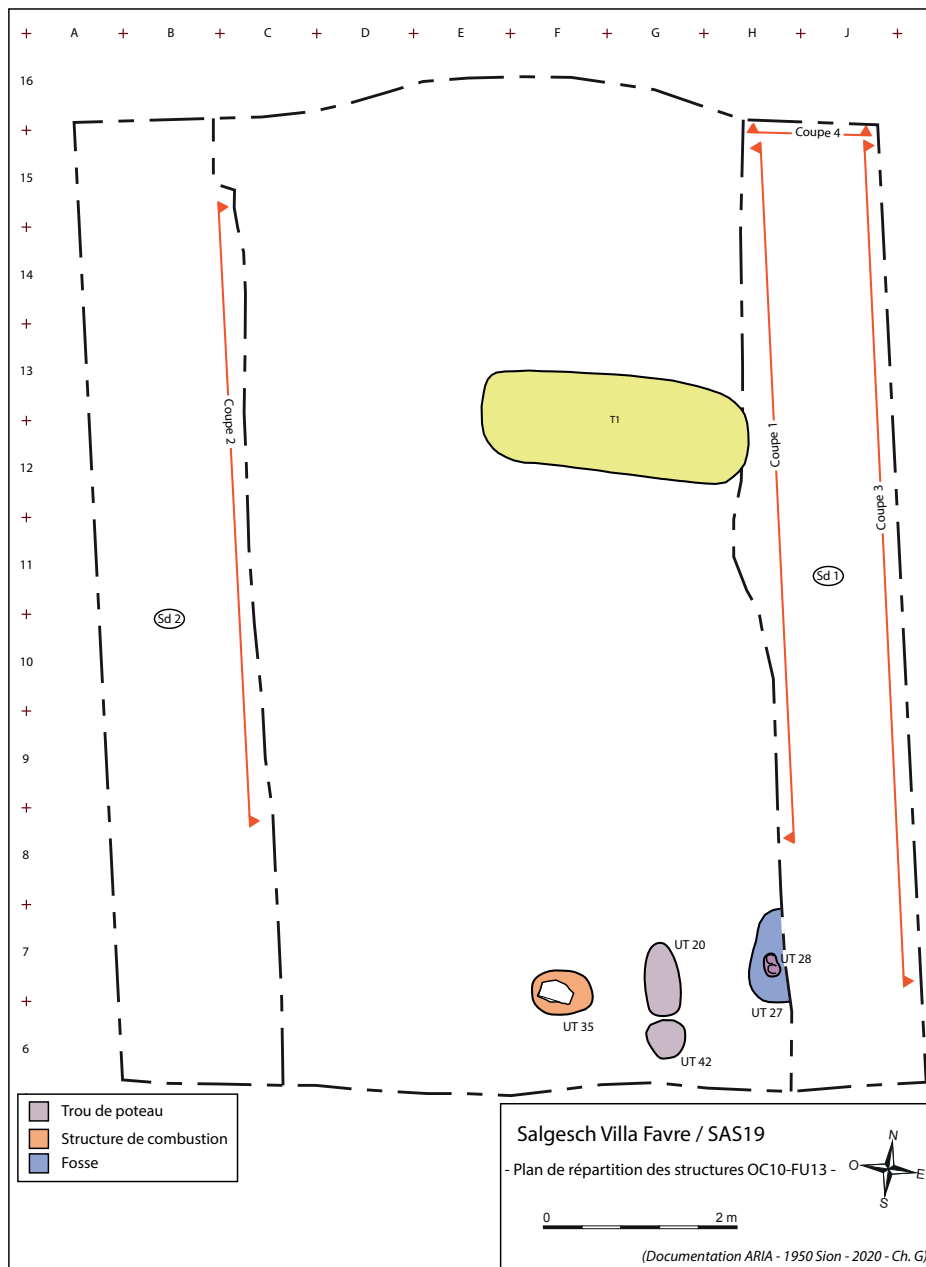


Fig.18 - SAS19, OC10, plan de répartition des structures.

AB11-C012

Un niveau de colluvions contenant quelques tessons de céramique et des restes osseux animaux, des charbons de bois et des nodules d'argile recouvre au nord de la zone de fouille un amas dense de dalles et de blocs formant un dôme bien visible dans la coupe nord du terrassement. On pourrait y voir des éléments d'épandage d'une occupation située plus à l'amont du site. Sa position stratigraphique pourrait permettre un lien avec le site voisin SAB19.

FU13-Tombe 1

Visible en coupe 1 du sondage 1, les limites du sommet de cette fosse profonde (~2,00 m) comblée de matériaux caillouteux hétérogènes très grossiers dans un environnement identique, ont été difficiles à appréhender. Le piégeage central de la couche de scellement (UT1) laissait alors envisager des phénomènes de tassement.

Il aura fallu attendre le décapage final par la pelle mécanique, en fin d'opération, pour visualiser de façon nette et définitive cette structure qui se révélera être une sépulture. De nouvelles figures d'affaissement apparaissent, montrant le long des parois des vides de rétractation colmatés par des limons d'infiltration.

Au centre et à mi-hauteur de l'épaisseur du comblement, une concentration de pierres et de petits blocs liée à une trace linéaire indique la présence d'un vide protégé par une couverture en matière périssable (Fig. 19 à 22). On peut penser à la réservation d'un espace pour une seconde inhumation qui n'aura finalement pas eu lieu. Cette sépulture était donc conçue initialement comme un caveau.



Fig.19 - SAS19, T1, déc 7.



Fig.20 - SAS19, T1, coupe déc 8.

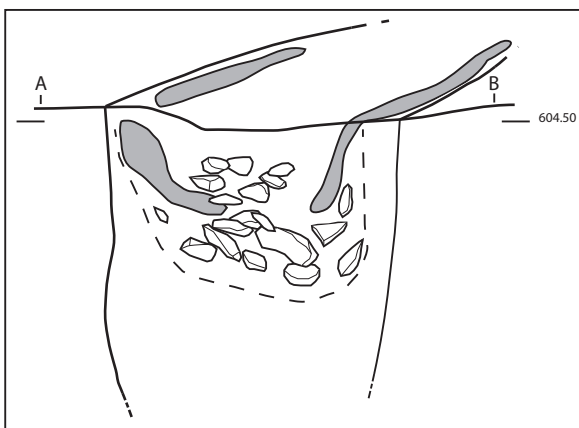


Fig.21 - SAS19, T1, schéma coupe déc 8.

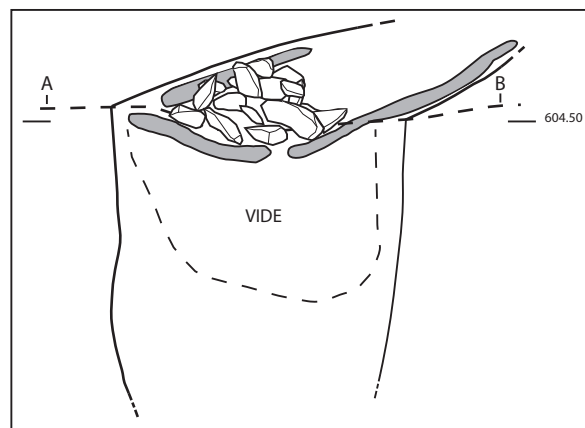


Fig.22 - SAS19, T1, schéma d'interprétation.

Les attributions chronologiques du mobilier (Annexe 6) permettent de situer l'âge de cette sépulture à la première moitié du 1^{er} siècle de notre ère. En effet, la date d'apparition de l'as trouvé dans la bourse (Annexe 7) et de la fin de l'utilisation des fibules à ailettes donnent une fourchette assez étroite qui va de 22 à 30 ap. J.-C.

C014

C'est un ensemble puissant de niveaux de colluvions fines très homogènes avec de minces alternances de cailloutis gravillonneux. Il scelle l'ensemble du secteur de fouille et bien au-delà, puisqu'on le retrouve sur la parcelle SAB19. Ces colluvions de pente par ruissellement sont la conséquence probable d'une faible couverture végétale (prairies ou champs cultivés).

A2 - Mobilier (*Annexe 8*)

Céramique modelée mi-fine et grossière

Le mobilier étudié comprend deux catégories de céramiques. La première, en pâte modelée fine correspond normalement à un faciès du Premier âge du Fer. Il s'agit des n° 2.1, 62 et 65 (*pl. 1.1*); les deux derniers se rattachent à un récipient probablement caréné (carène douce), une jatte selon toute vraisemblance (PACCOLAT *et al.* 2019, pl. 88, p. 227, type B2.4). Le n° 2 est indéterminable. Les n° 69 à 71 correspondent à un récipient très évasé à paroi oblique et rebord ourlé (*pl.1.2*). Des exemplaires sont connus au Premier âge du Fer (*Ibid.*, cat. 1769). La pâte est relativement fine ; nous le rattachons plutôt au Second âge du Fer : il pourrait s'agir d'une coupe basse ou d'un couvercle, dont les parallèles se retrouvent dans des contextes funéraires de la fin du Second âge du Fer au Piémont septentrional (SPAGNOLO-GARZOLI 1999), mais également dans certains habitats en Valais comme à Massongex (HALDIMANN *et al.* 1991); la plupart du temps ces jattes sont modelées en pâte indigène et sans décor.

Céramique indigène

Plusieurs fragments sont attribués à cette classe qui se développe au cours du Second âge du Fer. On relève un pot ovoïde du type F2.1 (PACCOLAT *et al.* 2019, p. 239 ss.) à panse décorée de lunules (*pl.1.3*), dont les parallèles sont nombreux tant en Valais qu'en Italie du Nord (Val d'Aoste, région de Novare etc.). Ce récipient date des derniers siècles avant notre ère, son usage peut se prolonger jusqu'au milieu du 1^{er} siècle apr. J.-C. Outre ce pot ovoïde, on relève plusieurs rebords de pot à encolure plus marquée du type F1 (*Ibid.*, p. 239 ss.), dont certains doivent pouvoir recoller entre eux (*pl.1.4*). Cette forme court du 3-2^e siècle av. J.-C. jusqu'au 1^{er} siècle de notre ère.

Plusieurs fragments de panses et un fond correspondent à des récipients à paroi assez fine, probablement des gobelets (type D) (*Ibid.*, p. 239 ss.) (*pl.1.5*).

Céramique tournée en pâte claire

Une série de fragments d'encolure et de départ de panse (n°14, non illustré) correspondent à un grand pot ou bouteille peinte, qui présente des ressemblances avec le grand récipient récolté dans la sépulture de SAS19 : datation proposée fin 1^{er} siècle av. J.-C., jusqu'au milieu du 1^{er} siècle de notre ère. Le fragment n°43 correspond également à un récipient probablement peint (PCL ou PTE).

Conclusions

Nous sommes en présence d'un complexe de céramiques attribuables à la fin du Second âge du Fer et au début du 1^{er} siècle apr. J.-C. pour les éléments en pâte indigène et les céramiques tournées peintes ou claires. Quelques rares éléments peuvent remonter plus avant, en particulier des fragments de céramique modelée en pâte mi-fine, qui normalement n'ont quasiment plus cours au début du Second âge du Fer.

Site	Processus	UT	n° inv.	nbre	Catégorie	Type	Description	Datation	
SAS19	CO12	2	5	2	céramique indigène	IND	rebord de pot déversé (F1)* et fragment de panse, surfaces sombres		
SAS19		4	14	27	céramique tournée peinte	PTE	encolure de grand pot ou bouteille, pâte et surface beige-orange, traces peinture épaisse à l'extérieur	fin 1er siècle BC - milieu 1er siècle AD	
SAS19	AB11	3	36	1	céramique indigène	IND	fragment de panse pâte sombre, décor couvrant à la baguette		
SAS19			37	1	céramique indigène	IND	fragment de panse pâte sombre		
SAS19	AB9	13	40	1	céramique indigène	IND	rebord de pot (type F1)* pâte sombre,		
SAS19		14	20	2	céramique indigène	IND	rebord de pot (type F1) pâte sombre, paroi assez fine		
SAS19		23	2	céramique indigène	IND	rebord de pot (type F1)* pâte sombre,			
SAS19	OC8	30	41	2	céramique indigène	IND	fragment de panse, pâte sombre à cœur rougeâtre		
SAS19			OC6	47	2.1	5	céramique modelée mi-fine	MFS	panse, pâte et surfaces sombres
SAS19	2.2	5			céramique indigène	IND	rebord de pot ovoïde (type F2.1)* à décor de lunules, surf. orange	derniers siècles BC - milieu 1er siècle AD	
SAS19	62	5		céramique modelée mi-fine	MFS	fragment de panse avec carène douce (type B2.4)*	1er Âge du Fer		
SAS19	65	1		céramique modelée mi-fine	MFS	fragment de panse avec carène douce (type B2.4)*	1er Âge du Fer		
SAS19	66	2		céramique indigène	IND	fragments de panse et un fond plat de petit récipient à paroi assez fine (gobelet type D)*			
SAS19	67	9		céramique indigène	IND	rebord de pot ovoïde (type F2.1)* à décor de lunules, surf. orange	derniers siècles BC - milieu 1er siècle AD		
SAS19	69	4		céramique modelée grossière	GOS	coupe basse à rebord ourlé (ou couvercle?), pâte sombre, surfaces beige clair, dégraissant homogène Ca	1er Âge du Fer (Gamsen) fin 2ème Âge du Fer (Piémont)		
SAS19	70	5		céramique modelée grossière	GOS	coupe basse à rebord ourlé (ou couvercle?), pâte sombre, surfaces beige clair, dégraissant homogène Ca	1er Âge du Fer (Gamsen) fin 2ème Âge du Fer (Piémont)		
SAS19	71.1	12		céramique modelée grossière	GOS	fragments de panse et rebord ourlé	1er Âge du Fer (Gamsen) fin 2ème Âge du Fer (Piémont)		
SAS19	71.2	9		céramique indigène	IND	fragments de panse et un fond plat de petit récipient à paroi assez fine (gobelet type D)*			
SAS19	71.3	16		céramique modelée grossière	GOS	fragments de panse			
SAS19	CO5	31		43.1	10	céramique indigène	IND	rebord de pot à encolure marquée (type F1)* pâte sombre,	3ème/2ème siècles BC - 1er siècle AD
SAS19				43.2	1	céramique tournée claire	PCL ou PTE	fragment de panse, éventuellement traces peinture blanche ext.	
SAS19				44.1	9	céramique indigène	IND	rebord de pot à encolure marquée (type F1)* pâte sombre,	3ème/2ème siècles BC - 1er siècle AD
SAS19			48.1	2	céramique indigène	IND	rebord de pot à encolure marquée (type F1)* pâte sombre,	3ème/2ème siècles BC - 1er siècle AD	

*Olivier PACCOLAT, Philippe CURDY, Eckard DESCHLER-ERB, Marc-André HALDIMANN, Luca TORI *et al.*, *L'habitat alpin de Gamsen (Valais, Suisse)*, Vol. 3B. Cahiers d'Archéologie Romande 181, *Archaeologia Vallesiana* 18, Lausanne 2019.

A3 - Restes fauniques

La faune livrée par deux interventions effectuées à Salgesch en 2019 – SAS19 et SAB19 - a brièvement été passée en revue pour se faire une idée de son potentiel informatif. À noter que ce survol a été réalisé sur des ossements non lavés et, pour la faune de la tombe, d'après des photographies.

La faune s'avère extrêmement altérée. Particulièrement couvrantes, les empreintes de radicelles sont responsables de la destruction de la surface des restes animaux et de la fragilisation des os qui a conduit à une forte fragmentation secondaire. Tous les restes fauniques mis au jour proviennent uniquement du bœuf. La présence unique du grand mammifère est clairement induite par des biais taphonomiques (une fois enfouis, les ossements d'espèces de petite taille, plus fragiles que ceux issus de grands animaux, résistent moins aux agressions). Une mandibule d'un sujet adulte est signalée (UT32, n°34) et une phalange proximale de taille réduite témoigne de la présence d'un petit bœuf identique aux bovins du Second âge du Fer et du Moyen Âge (UT31, n°52).

La tombe T1

La tombe T1 a livré un fémur (apparemment) complet et une patella de bœuf. Non épiphysé, le fémur provient d'un animal de moins de 3 ans. Les deux éléments anatomiques témoignent de la présence d'un quartier de viande (viatique ?) déposé le long du corps de la défunte.

Un petit amas blanchâtre découvert sur l'assiette fait en outre soupçonner la présence de coquille d'œuf.

A3 - Tombe 1 - Etude anthropologique et funéraire



Fig.23 - SAS19, T1, déc. 8.5.

Structure

La fosse, de forme quadrangulaire (250 x 80 cm), est orientée est-ouest et mesure près de 2 m de profondeur. L'individu repose en décubitus dorsal, tête orientée à l'est. Les membres supérieurs sont légèrement fléchis. La main droite repose sur le coxal droit tandis que la main gauche est posée sur la partie proximale du fémur gauche. Le membre inférieur droit est légèrement fléchi et le tibia et le pied reposent par-dessus le membre inférieur gauche qui est, lui, tendu. La position du crâne, de l'atlas et de l'axis montrent que la tête de l'individu reposait sur un coussin en matière périssable.

L'affaissement de la mandibule, la mise à plat du thorax, l'ouverture des coxaux et la rotation de l'humérus gauche indiquent une décomposition en espace vide. Les pieds sont en connexion stricte et cela s'explique par la présence de chaussures matérialisées ici par des clous en fer. La position des petits os des mains qui sont quasiment tous en connexion est plus compliquée à comprendre mais pourrait également montrer la présence de gants.

Un contenant en matière périssable de type monoxyle est matérialisé par la présence d'un sédiment plus argileux dont la limite inférieure en forme de cuvette a été observée dans une petite coupe effectuée après le prélèvement du squelette. L'altitude inférieure des ceintures scapulaire et pelvienne et des coudes montre également un fond en auge. Plusieurs blocs et dalles disposés autour du squelette penchent vers le centre de la structure et servaient probablement à caler ce contenant. Des restes de bois (EA61) ont été prélevés sous le thorax pour de futures analyses anthracologiques.

Cette tombe a livré un mobilier abondant qui a été décrit et commenté par R. Andenmatten, collaborateur à l'Office cantonal de l'archéologie (*Annexe 6*). De nombreux restes organiques ont été observés au contact des objets métalliques et pourront faire l'objet d'une étude.

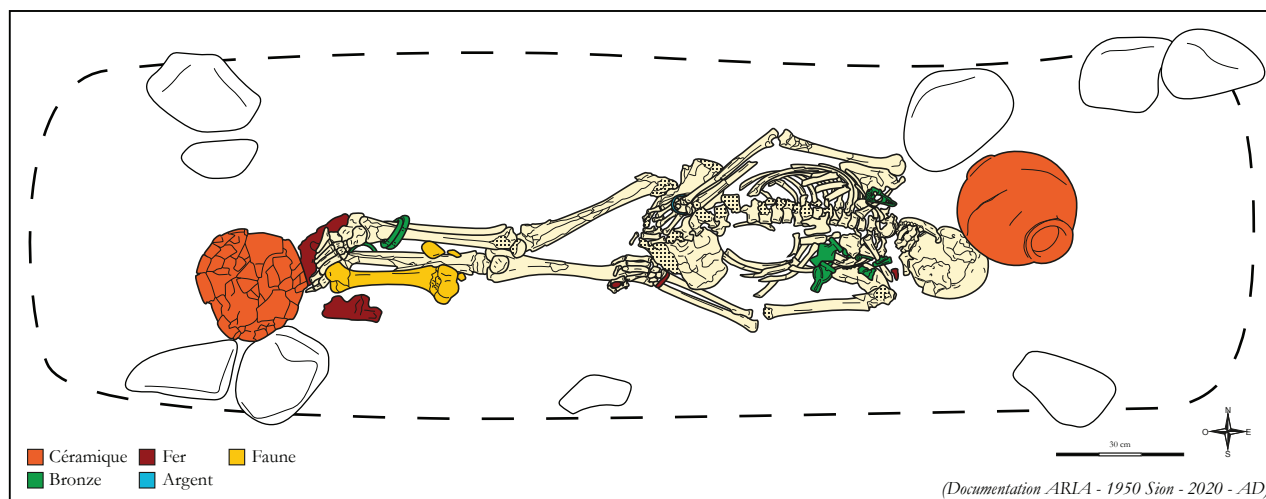


Fig.23 - SAS19, T1, plan.

Etude bioanthropologique

Cette étude a pour but de donner un aperçu de l'état de conservation des ossements mis au jour, d'établir l'identité biologique de l'individu découvert (sexe, âge et stature) et de répertorier les pathologies et anomalies squelettiques qu'il présente.

La diagnose sexuelle a été établie à partir des méthodes morphologiques basées sur l'observation de la surface sacro-pelvienne (BRUZEK *et al.* 1996) et sur l'observation de l'os coxal (BRUZEK 1991, 2002). Les observations ont été faites, dans un premier temps, sur les coxaux en place sur le terrain, puis complétées par des observations en laboratoire. Nous avons également établi une diagnose sexuelle secondaire sur le crâne (ACSÁDI et NEMESKÉRI 1970). Cette méthode est moins fiable et permet simplement d'apporter une tendance. Elle ne peut s'utiliser seule.

Pour déterminer l'âge au décès de l'individu, nous avons tout d'abord observé les derniers stades de maturation osseuse qui permettent de différencier les jeunes adultes (<30 ans) des adultes (>30 ans). Ensuite, nous avons utilisé la méthode établie par Schmitt (SCHMITT 2005) basée sur l'observation de la région sacro-pelvienne.

La stature de l'individu, a été calculée à partir de la méthode de Trotter (TROTTER 1970) basée sur la longueur maximum des os longs.

Enfin, les pathologies et anomalies squelettiques ont été décrites sous la forme d'une simple liste. Dans certains cas nous avons avancé la nature possible de ces pathologies en restant dans un cadre très large (traumatisme, dégénérative, infectieuse, développementale...). Nous avons noté le stade d'usure par dent en nous référant au code établi par Lovejoy (LOVEJOY 1985) dans le but de pouvoir discuter d'une potentielle usure anormale des dents. Nous avons également observé la présence de caries, d'abcès, de tartre, de parodontite et d'hypoplasie.

Etat de conservation

Le squelette est relativement bien conservé. Les membres supérieurs sont généralement en meilleur état que les membres inférieurs, probablement à cause de facteurs biologiques qui seront discutés plus loin. La fiche de conservation rend compte de l'état des os après le lavage et le remontage. (Fig. 24)

De nombreux os présentent des traces d'oxydation de bronze ou de fer et quelques restes organiques sont observables notamment sur la face postérieure de la scapula gauche.

Fiche de conservation - adulte			Chantier : SAS 19																																		
TOMBE	1	Nom	A.D.	Date	mai 2020																																
<table border="1"> <tr> <td>M3</td><td>M2</td><td>M1</td><td>P2</td><td>P1</td><td>C</td><td>I2</td><td>I1</td><td>H</td><td>I2</td><td>C</td><td>P1</td><td>P2</td><td>M1</td><td>M2</td><td>M3</td> </tr> <tr> <td></td><td></td><td></td><td></td><td></td><td></td><td></td><td></td><td></td><td></td><td></td><td></td><td></td><td></td><td></td><td></td> </tr> </table>		M3	M2	M1	P2	P1	C	I2	I1	H	I2	C	P1	P2	M1	M2	M3																	Dents :			
M3	M2	M1	P2	P1	C	I2	I1	H	I2	C	P1	P2	M1	M2	M3																						
D		G			<input type="checkbox"/> En cours d'éruption <input type="checkbox"/> Présente dans l'os																																
		Os d'oreilles			<table border="1"> <tr><td>Marteau</td><td></td></tr> <tr><td>Enclume</td><td></td></tr> <tr><td>Etrier</td><td></td></tr> </table>	Marteau		Enclume		Etrier																											
Marteau																																					
Enclume																																					
Etrier																																					
		<table border="1"> <tr> <td></td> <td>Région bien conservée et identifiée avec certitude</td> </tr> <tr> <td></td> <td>Région fragmentée et identifiée avec certitude</td> </tr> <tr> <td></td> <td>Région bien conservée Situation exacte inconnue avec certitude</td> </tr> <tr> <td></td> <td>Région fragmentée Situation exacte inconnue avec certitude</td> </tr> </table>				Région bien conservée et identifiée avec certitude		Région fragmentée et identifiée avec certitude		Région bien conservée Situation exacte inconnue avec certitude		Région fragmentée Situation exacte inconnue avec certitude																									
	Région bien conservée et identifiée avec certitude																																				
	Région fragmentée et identifiée avec certitude																																				
	Région bien conservée Situation exacte inconnue avec certitude																																				
	Région fragmentée Situation exacte inconnue avec certitude																																				
<small>UnaGe - LAP - A. Deville - 2015a</small>																																					

Fig.24 - SAS19, T1, fiche de conservation.

Estimation du sexe

D'après les critères observables (développement de la gouttière retro-auriculaire, élévation de la surface auriculaire, forme de la région préauriculaire de l'échancrure sciatique et de l'arc composé), il s'agit d'un individu féminin. L'observation des coxaux avant le prélèvement indiquait également un individu clairement féminin. Ce diagnostic est renforcé par l'observation des critères sur le crâne qui sont féminins à très féminins.

Estimation de l'âge au décès

D'après l'observation de la surface sacro-pelvienne – score 2-3-2-1 ou 2-3-2-2 de Schmitt (2005) – l'individu se situe au-dessus de 40 ans avec une probabilité de 90% et au-dessus de 50 ans avec une probabilité de 80%. L'observation de pathologies dégénératives sur plusieurs os nous pousse à placer cet individu au-delà de 50 ans.

Estimation de la taille

D'après la longueur maximum des radius (23,8 cm), des ulnas (26,2 cm) et la longueur condyle latéral-malléole du tibia droit (36,5 cm, mesurée sur le terrain) la stature a été estimée à 168 ± 1 cm.

Etat sanitaire dentaire

Les dents postérieures (prémolaires et molaires) sont beaucoup plus usées - stades H-I de Lovejoy (1985) - que les dents antérieures (incisives et canines) - stades D-E de Lovejoy (1985).

- Caries proximales sur la M2 supérieure droite et la M3 supérieure gauche, carie occlusale sur la M3 inférieure droite.
- Abscès avancé sans perte de la dent au niveau de la racine de la M1 supérieure gauche en face linguale, perte osseuse de 0,5 cm de diamètre et ~1 cm de profondeur.
- Abscès avancé sans perte de la dent, lié à une carie sur la M3 supérieure gauche en face buccale, perte osseuse de 1 cm de diamètre et ~0,5 cm de profondeur (*Annexe 9, n°1*).
- Concrétions de tartre relativement importantes (couvrant au moins la moitié de la dent) sur l'ensemble de la denture.
- Parodontite relativement avancée (perte osseuse entre 1 et 4 mm) sur la majorité de la dentition, plus avancée au niveau des dents postérieures.

Pathologies et anomalies squelettiques (*Annexe 9*)

- Remodelage ostéophytique au niveau de la suture sphéno-occipitale.
- Remodelage ostéolytique léger sur le bord inférieur de l'extrémité sternale des clavicules, plus développé à gauche.
- Deux concrétions osseuses (~0,5 cm) en structure d'éponge retrouvées avec la scapula gauche
- Remodelage ostéolytique criblé léger sur le bord antéro-supérieur de la surface articulaire proximale de l'humérus droit.
- Remodelage ostéophytique léger au niveau de la tubérosité ulnaire de l'ulna gauche.
- Fracture soudée avec formation d'un cal dans le quart distal de la diaphyse du radius gauche avec une pseudo facette articulaire supplémentaire en face inférieure (*Annexe 9, n°3*).
- Remodelage ostéolytique criblé sur les facettes articulaires de premières côtes.
- Remodelage ostéophytique et ostéolytique criblé sur les facettes articulaires de deux côtes gauches (avec déformation de la surface) et d'une côte droite non placées.
- Remodelage ostéophytique dans la fosse de la dent sur l'atlas, miroir avec la dent de l'axis.
- Remodelage ostéophytique et ostéolytique criblé avancé au niveau des facettes articulaires des vertèbres cervicales suivantes : axis (inférieure gauche), C3 (supérieure gauche et inférieures droite et gauche, C4 (supérieures droite et gauche et inférieure gauche), C5 (supérieure gauche), C6 (supérieure droite) (*Annexe 9, n°2*).
- Remodelage ostéophytique avancé sur la partie antéro-latérale droite des plateaux des vertèbres cervicales suivantes : C5 (inférieur) et C6 (supérieur), soudées sur ~0,5 cm.
- Remodelage ostéophytique léger sur les plateaux des vertèbres thoraciques suivantes: T1 (supérieur et inférieur), T7 (inférieur), T8 (supérieur et inférieur) et T9 (supérieur et inférieur).
- Remodelage ostéophytique très avancé et pathologie probablement traumatique sur un fragment de coxal droit difficile à localiser.
- Réaction périostée légère en face postérieure dans la partie distale de la diaphyse du fémur gauche.
- Réaction périostée avancée en face médiale dans la partie proximale de la diaphyse du fémur droit, réaction périostée plus légère dans la partie distale (*Annexe 9, n°4*).
- Remodelage ostéophytique et ostéolytique criblé léger dans la partie inféro-latérale de la patella gauche.
- Réaction périostée légère sur la partie proximale de la diaphyse du tibia droit.
- Os longs : réseau trabéculaire très dégradé et os cortical très aminci, plus développé sur les os longs des membres inférieurs.

Mobilier (Fig. 23) (Annexe 6) (Annexe 8 - pl. 2 et 3)

- Une céramique peinte (SAS19-81) déposée à côté du crâne.
- Deux fibules à ailettes en bronze sur l'épaule droite (SAS19-83) et l'épaule gauche (SAS19-84).
- Deux fibules en bronze (SAS19-85 et 86) sur la partie gauche de la poitrine.
- Une fibule en fer (SAS19-92) au-dessus de l'épaule gauche.
- Six monnaies en bronze (SAS19-114), une fibule en bronze (SAS19-148) et une monnaie en argent (SAS19-117) glissées entre les côtes gauches. Ces objets étaient vraisemblablement déposés dans un petit contenant en matière périssable tel qu'une bourse.
- Un bracelet en argent (SAS19-104) au poignet droit.
- Un bracelet en fer (SAS19-101) au poignet gauche.
- Une bague en bronze (SAS19-106) au cinquième doigt de la main gauche.
- Un fémur et une patella de veau (SAS19-127 et 132) le long du tibia gauche.
- Une lame de couteau en fer (SAS19-133) le long du tibia gauche.
- Trois anneaux de cheville en bronze, deux à la cheville droite (SAS19-130 et 131) et un à la cheville gauche (SAS19-136).
- Un plat en céramique (SAS19-82) aux pieds (échantillon ES65, prélèvement pour tamisage avec suspicion de résidus alimentaires, dont fragments de coquilles à déterminer, gastéropode ou oeuf).
- Des clous de chaussure en fer sous le pied droit (SAS19-143 et 144) et le pied gauche (SAS19-145 et 146) ainsi que plusieurs clous prélevés en vrac (SAS19-147).

Discussion

Cette sépulture renfermait le squelette d'une femme âgée de plus de 50 ans, déposée dans un tronc évidé. Elle était accompagnée d'un riche mobilier composé principalement de parures typiquement féminines et de céramiques. Des restes de textiles permettront probablement d'aborder le type de vêtements qu'elle portait.

Cette femme présente un mauvais état bucco-dentaire qui n'est pas rare pour des individus de cet âge à cette période. Cependant, l'usure montre quelque chose d'anormal. Le fait que les dents postérieures soient beaucoup plus usées que les dents antérieures ne correspond pas du tout à l'ordre d'irruption ni aux stades d'usure habituels. Ces traces pourraient être liées à une activité para-masticatoire ou une pathologie telle que le bruxisme.

Ce squelette présentait de nombreuses pathologies dégénératives de type arthrosique. De plus, après avoir écarté les différents facteurs taphonomiques possibles, nous pensons que cette femme était sujette à une ostéoporose relativement avancée. Cette pathologie semble avoir une prévalence féminine et est liée notamment à l'âge. La perte de substance entraîne des fractures, principalement des corps vertébraux, du col du fémur et de la partie distale du radius (AUFDERHEIDE et RODRIGUEZ-MARTIN 1998). Les fémurs sont trop mal conservés pour pouvoir observer un quelconque traumatisme. En revanche, la fracture présente sur le radius droit pourrait être liée à cette dégénérescence. Enfin, ce squelette montre sur les membres inférieurs des pathologies probablement d'origine infectieuse qui mériteraient une étude paléopathologique.

Bibliographie

ACSÁDI et NEMESKÉRI 1970

György ACSÁDI et János NEMESKÉRI, *History of Human Life Span and Mortality*, Akadémiai Kiado, Budapest 1970.

AUFDERHEIDE et RODRIGUEZ-MARTIN 1998

Arthur C. AUFDERHEIDE et Conrado RODRIGUEZ-MARTIN, *The Cambridge Encyclopedia of Human Paleopathology*, Cambridge University Press, Cambridge 1998.

BRUZEK 1991

Jaroslav BRUZEK, *Fiabilité des processus de détermination du sexe à partir de l'os coxal : implications à l'étude du dimorphisme sexuel de l'homme fossile*, Musée National d'Histoire Naturelle, Institut de Paléontologie Humaine (Thèse de doctorat non publiée), Paris 1991.

BRUZEK 2002

Jaroslav BRUZEK, «A method for visual determination of sex, using the human hip bone», *American Journal of Physical Anthropology* 117, 2002, p. 157-168.

BRUZEK *et al.* 1996

Jaroslav BRUZEK, Dominique CASTEX et Majó TONA, «Evaluation des caractères morphologiques de la face sacro-pelvienne de l'os coxal. Proposition d'une nouvelle méthode de diagnose sexuelle», *Bulletins et Mémoires de la Société d'anthropologie de Paris* 8, 1996, p. 491-502.

INFORCE (International Forensic Centre of Excellence) - Anthropology recording form (<http://www.inforce.org.uk/>)

LOVEJOY 1985

C. Owen LOVEJOY, «Dental wear in the Libben population : its functional pattern and role in the determination of adult skeletal age at death», *American Journal of Physical Anthropology* 68(1), 1985, p. 47-56.

SCHMITT 2005

Aurore SCHMITT, «Une nouvelle méthode pour estimer l'âge au décès des adultes à partir de la surface sacro-pelvienne iliaque», *Bulletins et Mémoires de la Société d'anthropologie de Paris* 17, 2005, p. 89-101.

SUNDICK 1978

Robert Ira SUNDICK, «Human skeletal growth and age determination», *Homo* XXXIX, 4, 1978, p. 228-249.

TROTTER 1970

Mildred TROTTER, «Estimation of stature from intact long bones» in : T. D. STEWART (ed.), *Personal Identification in Mass Disasters : report of a seminar held in Washington, D.C., 9-11 December 1968, by arrangement between the Support Services of the Department of the Army and the Smithsonian Institution*, National Museum of Natural History, Washington 1970, p. 71-84.

B - SAB19 Villa Bruttin

B1 - Séquence chronostratigraphique (Annexe 17)

AL1

Cette phase alluviale puissante (environ 0,70 m d'épaisseur observée) présente à sa base un cailloutis hétérogène très grossier dans une matrice sablo-gravillonneuse jaune blanchâtre (ALL1).

Puis vient une couche de limons fins (COLF2) qui précède une succession de cailloutis sablo-gravillonneux grossiers (ALL3/4) dont un des niveaux présente une coloration rouge orangé.

Une fine couche de limons sableux intercalée (RUS5) est enfin surmontée d'une suite de cailloutis gravillonneux hétérogène (ALL6/7). Ce substrat de base est identique à celui du site SAS19. Ces deux ensembles peuvent ainsi être corrélés.

CO2

Ces limons hétérogènes à la base (COL8) puis très homogènes et compacts (COLF9) n'ont été observés qu'au fond du sondage 1. Toutefois, leur position stratigraphique en font le niveau de base des premières structures décrites (OC3).

Une datation radiocarbone sur un charbon de bois (UT64, EA8) rapporte cette phase au début du Haut Moyen Âge (Annexe 17).

OC3

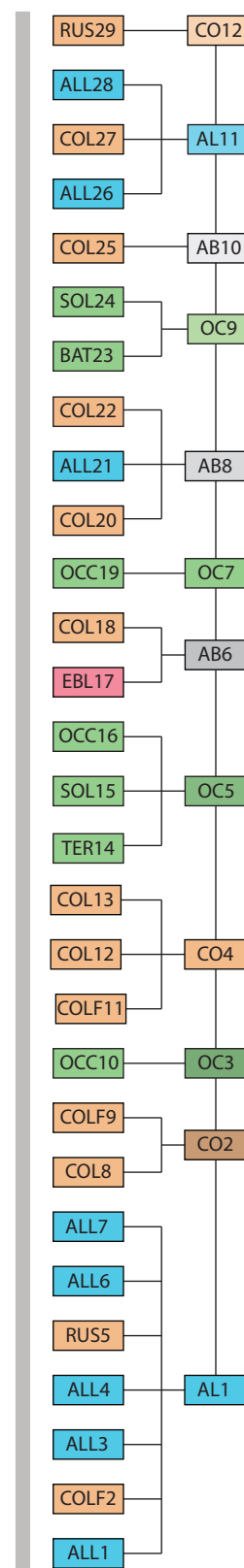
Cinq trous de poteaux, deux fosses indéterminées et une probable structure de combustion forment cet ensemble, stratigraphiquement le plus ancien du site.

La fosse UT90 a révélé un petit fragment informe en bronze, un bord de vase décoré de cannelures façonné dans un micaschiste rose et quelques fragments d'os animaux.

CO4

Cette phase peu épaisse (environ 0,20 m) est cependant composée de nombreux petits niveaux successifs. Elle débute par des limons compacts et assez homogènes (COLF11) qui précèdent des faciès semblables mais contenant des fragments de plaquettes et de dalles (COL12), pour se terminer par des cailloutis gravillonneux hétérogènes et cendreux (COL13).

Ces dépôts contiennent des fragments de récipient en céramique et pierre ollaire, quelques restes osseux, deux objets en fer (clous), une petite monnaie de bronze très altérée, non identifiée, et un éclat de verre, vestiges sans doute d'une occupation qui pourrait alors être liée à la phase OC3 précédemment décrite et dont il ne reste que les fonds de structures creuses. Une datation radiocarbone sur un charbon de bois (UT28, EA6) rapporte cette phase au début du Haut Moyen Âge (Annexe 17).



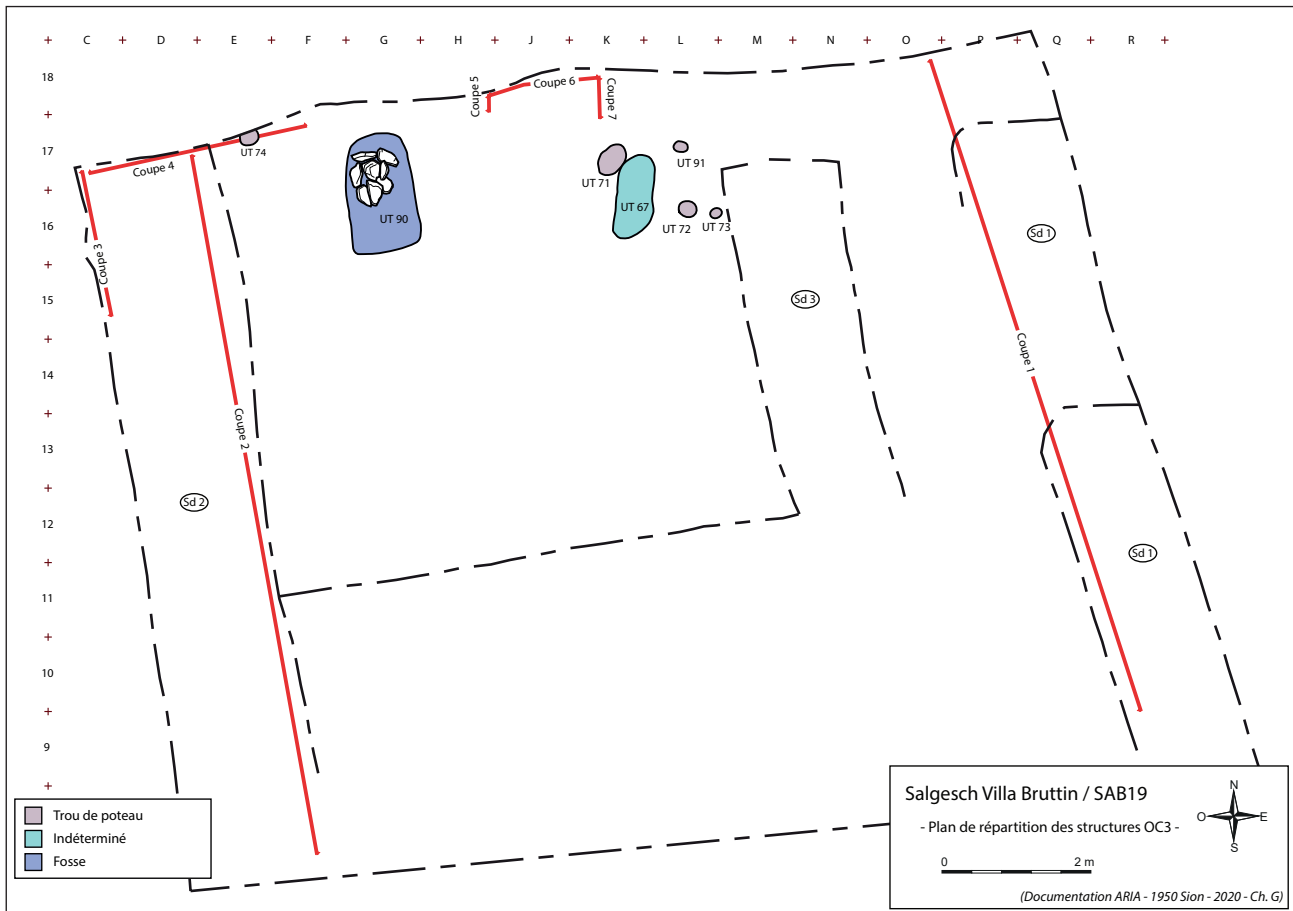


Fig.19 - SAB19, OC3, plan de répartition des structures.

SAB19				UT Description	UT Interprétation	Dim. 1	Dim. 2	Prof.
OC3	OCC10	UTA	c.32	En Coupe 4, lentille limoneuse, gris noir, peu compacte, avec quelques pierres plates, très contaminée par filaments/poudre blanchâtres (cendre?). Même génération que UT74.	Foyer en cuvette?	0,46		0,15
		UTA	67	Limon homogène, compact, brun gris vert, avec traces "poudreuses" blanches. Le limon devient gris noir et reste homogène jusqu'au fond d'une dépression rectangulaire aux angles arrondis et aux parois verticales. Nombreux charbons et forte contamination filamenteuse blanche.	Structure de combustion, planche?	0,20	0,50	0,10
		UTA	71	Petits blocs dallettes dressés en périphérie d'une petite zone subquadrangulaire. Remplissage de limon homogène, brun marron.	Poteau carré avec calage.	0,40	0,30	
		UTA	72	Petite zone circulaire, limon sableux brun.	Fond de trou de poteau?	0,20		
		UTA	73	Petite tache limoneuse, circulaire, peu perceptible.	Fond de trou de poteau?	0,12		
		UTA	74	Quelques petits blocs/dallettes dressés au pied de la coupe 4bis.	Poteau.	0,40		0,20
		UTA	90	Blocs/dalles à plat sur la moitié Nord d'une fosse ovale. D'autres petits blocs dispersés et quelques uns redressés. Sédiment limoneux gris avec cailloux, micro charbons. Puis limon gris, homogène, moyennement compact. Quelques petits blocs dispersés encore présents. Fosse subquadrangulaire aux parois verticales.	Fosse.	1,60	0,90	0,15
		UTA	91	Au nettoyage du mur UT6, sous l'assise de base, concentration de pierres et petites dallettes dans une matrice limoneuse grise. Présence d'un fragment osseux. La position de cette structure empêche une réelle description et identification.	Poteau?			

OC5

C'est la phase principale d'occupation du site, qui débute par la construction de murs de terrasse. La fouille révèle de nombreux trous de poteaux (x21), une fosse et une structure de combustion.

TER14 (Annexe 20)

En préalable à la construction de quatre murs de soutènement de terrasse, le terrain a été décaissé. Ces excavations et leur comblement à l'amont des murs est visible dans les coupes 5 et 7. Bien qu'aucun lien direct n'ait été observé, le sommet de la phase de dépôts précédemment décrite (C04, UT18/UT28/UT29) pourrait être constitué par l'étalement des déblais de cette installation.

Les unités UT5 et UT6, de même facture et parfaitement alignées, forment un seul ensemble. Il est

interrompu en son milieu sur une longueur d'environ 1,50 m, conséquence de la démolition postérieure à laquelle sont associées les fosses UT34 et UT45 (AB6), ou passage aménagé dans le mur d'un bâtiment (OCC16). Un gros bloc à l'extrémité ouest marque un retour en direction du sud ; sa base reposait sur un niveau de mortier (UT38). Les assises inférieures du mur UT6 gardent des traces d'un liant au mortier de chaux.

Plus à l'est, le mur UT7 légèrement décalé vers le nord est fait de plus gros modules sans traces de liant. A l'amont, l'amorce d'un aménagement perpendiculaire se perd dans la coupe nord du terrassement. Enfin, l'UT8, située entre les ensembles UT6 et UT7, semble en faire la liaison. Constitué de quelques gros modules retrouvés en partie dans son éboulement (AB6/UT36), le tronçon conservé est implanté moins profondément que les murs de terrasse. L'hypothèse d'un escalier d'accès à la terrasse supérieure est envisageable, mais il peut aussi s'agir d'un élément du bâtiment restitué.



Fig.20 - SAS19, OC5, UT5.



Fig.21 - SAS19, OC5, UT6.



Fig.22 - SAS19, OC5, UT7, UT8.

SOL15

La répartition des trous de poteaux liés à cette phase d'occupation ne permet pas de reconstituer avec certitude un quelconque plan de bâtiment. Une hypothèse de restitution sera cependant proposée. Mais, ces "nappes" empierrées, aux limites conservées rectilignes, matérialisent à l'évidence des zones aménagées d'occupation ou d'activités.

OCC16

Mises à part une fosse et une structure de combustion, partiellement observées, cette phase est représentée par vingt et un trous de poteaux, dont quatre sans pierres de calage.

Même si aucun alignement évident ne s'impose, l'association de trois de ces trous de poteau (UT54/UT59/UT70), de plus grandes dimensions, amène à une hypothèse de restitution d'un bâtiment qui enciint l'un des sols aménagés (Fig. 23), et est ancré aux murs de terrasse.

L'extension vers l'est de la zone de fouille aurait peut-être permis de compléter ce plan en y intégrant le sol UT15 et le mur UT7.

SAB19

Proc.	Ev.	UT Description		UT Interpretation	Dim. 1	Dim. 2	Prof.		
OC5	OCC16	UTA	14	Structure circulaire, avec dalles de chant et comblement limoneux, homogène, marron. Remplissage limoneux, marron, gras, homogène, peu compact. Présence de quelques galets (5 à 10 cm) et de plusieurs dallettes périphériques dressées verticalement.	Poteau avec calage.	0.50		0.40	
		UTA	21	Concentration subcirculaire de blocs dressés, peut-être perturbée par la terre à vigne. Remplissage limoneux, brun, peu compact, avec graviers.	Poteau avec calage.	0.30			
		UTA	22	Petite concentration de 4 dallettes dressées délimitant un espace subquadrangulaire. Une fine dallette/écaille, à l'Ouest, peu enfoncée. Sur les 3 autres côtés, blocs étroits très implantés. Celui au Nord est doublé à l'arrière d'une pierre. Remplissage limoneux, homogène, moyennement compact, marron roux.	Poteau carré avec calage.	0.25	0.16	0.20	
		UTA	c.29	Dans une dépression, concentration de cailloux et pierres dont certaines inclinées ou redressées. Matrice limono-sableuse grise.				0.20	
		UTA	52	Concentration de dallettes de chant, délimitant un espace comblé de limon compact, jaunâtre (diam. ~15 cm).	Poteau avec calage.	0.30			
		UTA	53	Concentration de dallettes de chant en couronne, délimitant un espace comblé de limon compact, jaunâtre (diam. ~15 cm).	Poteau avec calage.	0.30			
		UTA	54	Deux zones contiguës de pierres et dalles de calage. La plus à l'Est, dépression ovale avec dallettes et blocs de calage périphériques (0.50 x 0.30 m) délimitant un espace comblé de limon terreux brun foncé, peu compact (contamination possible par terre à vigne?). La seconde, à l'Ouest, de forme plutôt quadrangulaire (0.20 x 0.25 m), à remplissage limoneux brun jaune caillouteux.	Poteau avec calage et petit poteau de renfort.	0.50	0.30		
		UTA	55	Couronne de pierres et dallettes de chant, avec remplissage limoneux, compact, jaunâtre (~20 cm).	Poteau avec calage.	0.50	0.40		
		UTA	56	Quelques petits blocs et pierres plates redressées en couronne.	Poteau.	0.30			
		UTA	57	Couronne de pierres plates de chant délimitant un espace (diam. ~20 cm) contenant un bloc central dans un remplissage limoneux, compact, jaunâtre.	Poteau avec calage.	0.50	0.40		
		UTA	58	Couronne de pierres et dallettes de chant délimitant un espace (diam. ~15 cm) contenant un petit bloc dans un remplissage limoneux, compact, jaunâtre.	Poteau avec calage.	0.35			
		UTA	59	Concentration circulaire de pierres et petits blocs avec quelques dallettes de chant. Remplissage de petits blocs et dallettes (pas de traces de thermofragmentation) dans un limon homogène brun. De forme ovale, les parois de la fosse sont verticales, le fond plat légèrement concave et ombiliqué.	Large poteau d'angle.	0.67	0.52	0.30	
		UTA	60	Dallettes de chant concentrées dans une tache limoneuse, peu compacte, brunâtre.	Poteau avec calage.	0.25			
		UTA	61	Blocs/dallettes dressés en périphérie d'une dépression ovale comblée par un limon homogène, brun jaune, contaminé superficiellement par la terre à vigne sus-jacente.	Poteau avec calage.	0.33	0.26		
		UTA	62	Tronquée par la coupe Est du sondage 1, petites dalles inclinées qui tapissent la paroi d'une fosse dont on a que l'extrémité Ouest.	Fosse.	0.75			
		UTA	70	Blocs/dalles dressés verticalement en périphérie d'une zone ovale délimitant un espace (0.41 x 0.35 m) comblé d'autres blocs dans un limon homogène, moyennement compact, brun. L'implantation de la couronne de dalles est très superficielle, alors que les blocs de remplissage sont implantés plus profondément.	Poteau avec calage.	0.68	0.50	0.40	
		UTA	77	Petites dallettes de chant.	Poteau.	0.25			
		UTA	80	Couronne de pierres et dalles de chant délimitant un espace (diam. 15 cm) comblé de limon compact, jaunâtre.	Poteau avec calage.	0.35			
		UTA	81	En fond de sondage 3, sans insertion stratigraphique, petite structure empierrée, circulaire, de petits blocs.	Poteau avec calage.	0.25			
		UTA	86	Tache circulaire brun gris avec petites pierres, dont quelques unes redressées contre les parois.	Poteau avec calage.	0.32			
		UTA	87	A la base de la coupe Est du sondage 2, un petit bloc et quelques cailloux semblent contenus dans une petite dépression dont n'apparaît que l'extrémité Ouest.	Poteau.	0.35			
		UTA	88	A la base de la coupe Est du sondage 2, extrémité Ouest de deux dallettes, superposées et inclinées vers l'Est. Une tache charbonneuse visible au déc 3 en serait le sommet.	Structure de combustion.	0.30		0.40	
		UTA	89	Mise à jour et vidée partiellement à l'occasion du creusement du sondage 2, petite tache circulaire, limoneuse brun gris avec quelques petites pierres.	Poteau.	0.23			
		SOL15	UTA	15	Concentration de pierres et dallettes posées à plat. Certaines sont rubéfiées. A la base, gros blocs en R14.	Aménagement de sol.			
			UTA	16	Gravillons avec cailloux décimétriques dans matrice sablo-limoneuse.	Aménagement de sol.			
UTA	30		Empierrement de petits blocs assez bien calibrés (~15 cm) et posés à plat. Malgré une limite plus ou moins linéaire orientée E/O avec l'UT31, on peut envisager d'en faire une seule entité qui délimite la zone aménagée UT32.	Aménagement de sol.					
UTA	31		Empierrement de petites dallettes et petits blocs calibrés (~10 à 15 cm) posés à plat. Malgré une limite plus ou moins linéaire orientée E/O avec l'UT30, on peut envisager d'en faire une seule entité qui délimite la zone aménagée UT32.	Aménagement de sol.					
UTA	32		Petit empierrement peu dense avec cailloux (< 5 cm) plutôt roulés. Aurait pu être la limite d'extension Sud de l'UT16, avec un faciès cependant différent. Peut aussi être l'aménagement d'une zone d'activité, de forme quadrangulaire, délimité par les UT30 et UT31.	Aménagement de sol, zone d'activité.					
TER14	UTA	5	A l'apparition, au moins deux assises de blocs horizontaux (~40 cm). - 1 assise de base, gros blocs alignés très légèrement débordants. - 3 à 4 assises supérieures, moins bien construites, en plus petit appareil sauf 1 gros bloc/dalle. - longueur totale ~3.00 m. En F/17-18, un gros bloc pourrait amorcer un retour perpendiculaire en direction du Sud, avec reliquat de mortier sur fondation de base UT38. Présence de mortier en H17. La coupe 5 montre un creusement au Nord pour une installation en talus. Le mur repose clairement sur un cailloutis gravillonneux jaune de H17 à J17. Plus à l'ouest, il repose sur l'UT44. Alignement avec le mur UT6	Mur de terrasse avec deux états de construction (réfection?).	2.80	0.50			
	UTA	6	Cinq assises sur une hauteur totale de ~60 cm, formées de blocs horizontaux (15 à 50 cm), pour une longueur totale de presque 4,00 m. Peut-être double parement de mauvaise facture. - 2 assises de base, gros blocs, ceux de la première légèrement débordants au Sud, qui reposent sur une couche de cailloutis gravillonneux jaune (UT69). - 3 assises supérieures, petits blocs mal agencés en double parement. Présence de mortier surtout au sommet de la 1ère assise (base), mais aussi en M17 entre les 2ème et 3ème. Alignement avec le mur UT5.	Mur de terrasse avec deux états de construction (réfection?).	3.60	0.50			
	UTA	7	Trois assises de blocs horizontaux (20 à 50 cm) sur une hauteur de 40 cm. Assise de base constituée de très gros blocs. Quelques pierres montrent des traces de rubéfaction. Longueur totale 1.80 m	Mur de terrasse.	1.80	0.40			
	UTA	8	Structure quadrangulaire, perpendiculaire aux murs UT6 et UT7, avec double parement et blocage interne sur au moins 3 assises de dalles et blocs. Au nord, une dalle plantée verticalement pourrait en marquer la limite.	Liaison entre les murs UT6 et UT7, peut-être escalier d'accès à la terrasse supérieure.	0.60	0.60			
	UTA	9	Composée de gros blocs émoussés, entre le mur UT7 et la coupe Nord, structure construite de 50 cm de largeur.	Bâtiment ou enclos accolé au mur de terrasse UT7.	0.50	0.50			
	UTA	38	Au sommet de l'UT39, large zone rectiligne blanchâtre, reliquat d'un placage de mortier. Ce pourrait être la dernière trace d'un retour Sud du mur UT5. Le gros bloc situé à l'extrémité Ouest de ce dernier serait alors un bloc d'angle.	Base de mur?					

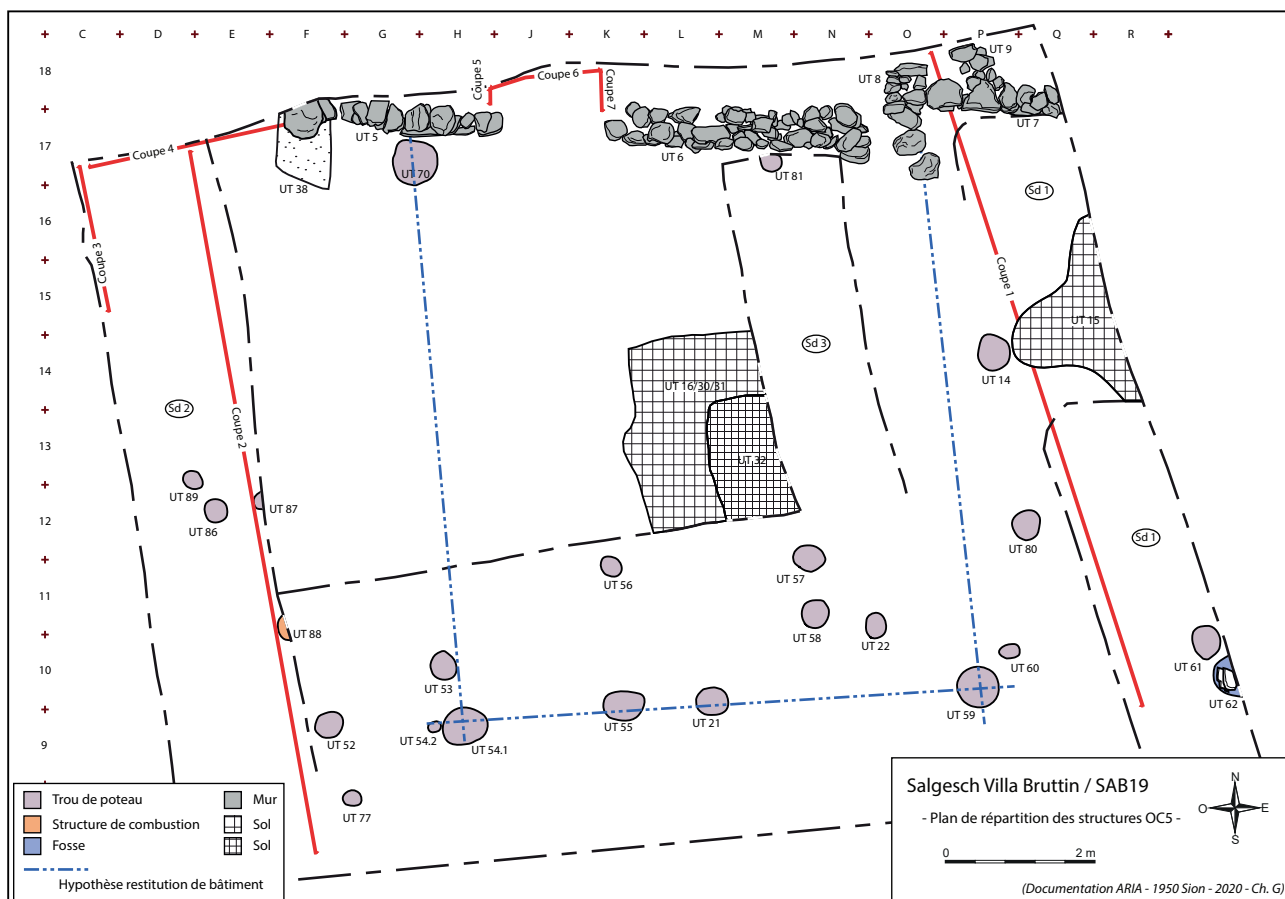


Fig.23 - SAB19, OC5, plan de répartition des structures.

AB6

À une période d'abandon du site marquée par l'accumulation de blocs, dalles et dallettes au pied des murs de terrasse (EBL17), succède une phase de colluvionnement avec dépôt de limons homogènes (COL18) qui scellent l'ensemble des niveaux antérieurs.

Deux fosses (UT34 et UT45) remplies de blocs sont associées à cet événement. Peut-on y voir le signe d'une démolition volontaire des murs, pour aménager le passage évoqué plus haut (TER14)?

Au regard de la relative pauvreté en mobilier, cette phase compte 7 tessons (3 en céramique et 4 en pierre ollaire), 5 éléments en fer, dont un grand clou (longueur 9 cm), 2 objets en bronze (dont une monnaie non restaurée, non identifiée) et 4 ensembles de restes animaux. On y trouve également un galet de chaux (calcaire fortement chauffé), témoin peut-être de la fabrication du mortier utilisé dans l'édification des murs de la période précédente (OC5).

OC7-OCC19

Huit trous de poteaux et une fosse constituent les vestiges de cette phase d'occupation. De la fosse il ne reste que le fond, légère dépression subovale avec concentration de quelques petits blocs, certains dressés en position centrifuge.

Malgré une incohérence stratigraphique, le large poteau UT10 (Fig. 23) serait en parfaite position pour former l'angle nord-est du bâtiment restitué de la phase précédente (OC5). Les sept autres trous de poteaux forment trois petits alignements parfaitement parallèles (Fig.24 et 25).



Fig.23 - SAB19, OC7, UT10.



Fig.24 - SAB19, OC7, UT24, UT25, UT27.



Fig.25 - SAB19, OC7, plan de répartition des structures.

SAB19

Proc.	Ev.	UT Description		UT Interprétation	Dim. 1	Dim. 2	Prof.	
OC7	OCC19	UTA	10	Structure circulaire comblée de blocs, dalles et dallettes de chant inclinées vers l'extérieur. Quelques pierres sont rubéfiées. Présence de quelques charbons.	Poteau.	0,60		0,20
		UTA	17	Structure ovale avec dallettes de chant qui délimitent une zone subquadrangulaire (0.20 x 0.15 m). Remplissage de limon fin, gravillonneux, jaune, avec quelques cailloux décimétriques. A moins 5 cm, limon plus homogène, très peu gravillonneux.	Poteau carré avec calage.	0,40	0,30	0,25
		UTA	24	Concentration de dallettes et blocs inclinés à verticaux délimitant un espace central rectangulaire (14 x 8 cm) comblé de limon sableux, homogène, meuble, brun jaune. Le vide semble montrer une inclinaison du poteau vers le Sud.	Poteau rectangulaire avec calage.	0,40		0,30
		UTA	25	Quelques petits blocs et pierres dressés sur les deux côtés (NO et SE) d'une dépression carrée comblée d'un limon homogène, compact, brun jaune. Cet aménagement est contenu dans un creusement oval à fond plat.	Poteau.	0,31	0,27	0,35
		UTA	26	Concentration subovale de blocs, certains inclinés en position centrifuge. Ni remplissage, ni limites. A la base des blocs, très légère dépression irrégulière avec quelques cailloux et écailles de dallettes dans un petit cailloutis gravillonneux. Présence de quelques racines.	Fond de fosse empierrée.	0,60	0,35	
		UTA	27	Aménagement de pierres de calage (petits blocs et fragments de dalles) redressées, délimitant un espace quadrangulaire (15 x 9 cm), dans une fosse subcirculaire. Remplissage de limon sableux jaune beige, homogène, avec quelques cailloux. Galet à plat en fond de sondage.	Poteau carré avec calage.	0,34	0,30	0,25
		UTA	37	Dépression conique avec dallettes plaquées contre les parois sur les 30 premiers centimètres. Remplissage limoneux, homogène, brun jaune. Le poteau et son calage étaient encore en place au moment du dépôt de l'UT33 postérieure.	Poteau avec calage.	0,30		0,70
		UTA	76	Zone sub-ovale avec petits blocs et deux dallettes dressées délimitant un espace quadrangulaire (16 x 12 cm).	Poteau avec calage.	0,30	0,25	
		UTA	78	Un petit bloc et 3 petites plaquettes redressées.	Poteau.	0,30	0,25	
		AB6	EBL17	UTA	34	Dans une dépression subovale, gros blocs (40 à 70 cm) inclinés de façon centripète. Ces blocs pourraient provenir de la démolition du mur UT6.	Fosse?	1,20
UTA	45			Concentration dense de blocs, certains inclinés, semblant contenus dans une dépression ovale au pied du mur UT5. Peut-être déjà visible au décapage 3, mais confondue avec la démolition UT35. A son extrémité ouest, quelques petits blocs dressés forment une petite structure circulaire qui sera l'UT70.	Fosse?	1,20	0,60	0,25

AB8

Un épisode de colluvionnement fin/moyen (COL20) vient sceller tous les vestiges d'occupation précédents. On y trouve encore de rares petits fragments de céramiques (x6). Puis se succèdent un passage alluvionnaire de cailloux sablo-gravillonneux (ALL21) et une phase grossière de colluvions (COL22).

OC9

Ce sont les vestiges les plus récents du site; il s'agit de l'angle sud-est de murs à un seul parement dont quatre assises sont conservées, la première faite de gros blocs. Le mur à l'est est bordé par une large tranchée qui se rétrécit au niveau des deux premières assises. Le sol (UT48) à l'intérieur du bâtiment est situé 30 cm plus bas que le niveau extérieur de circulation au sud. Ces observations permettent de restituer un bâtiment en partie enterré, aménagé par terrassement au sud et talutage du versant sur les trois autres côtés (Fig.26). Ces bâtiments semi-enterrés à maçonnerie en pierre sèche, de type II¹², sont connus au Haut Moyen Âge, et selon leurs dimensions, avaient une fonction d'atelier ou d'habitation. Une datation radiocarbone sur un charbon de bois (UT48, EA4) rapporte cette phase à la fin du Haut Moyen Âge (Annexe 17).

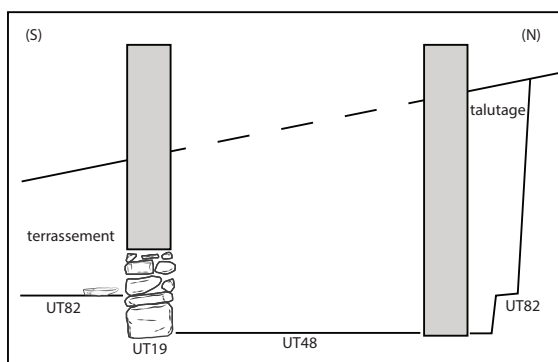
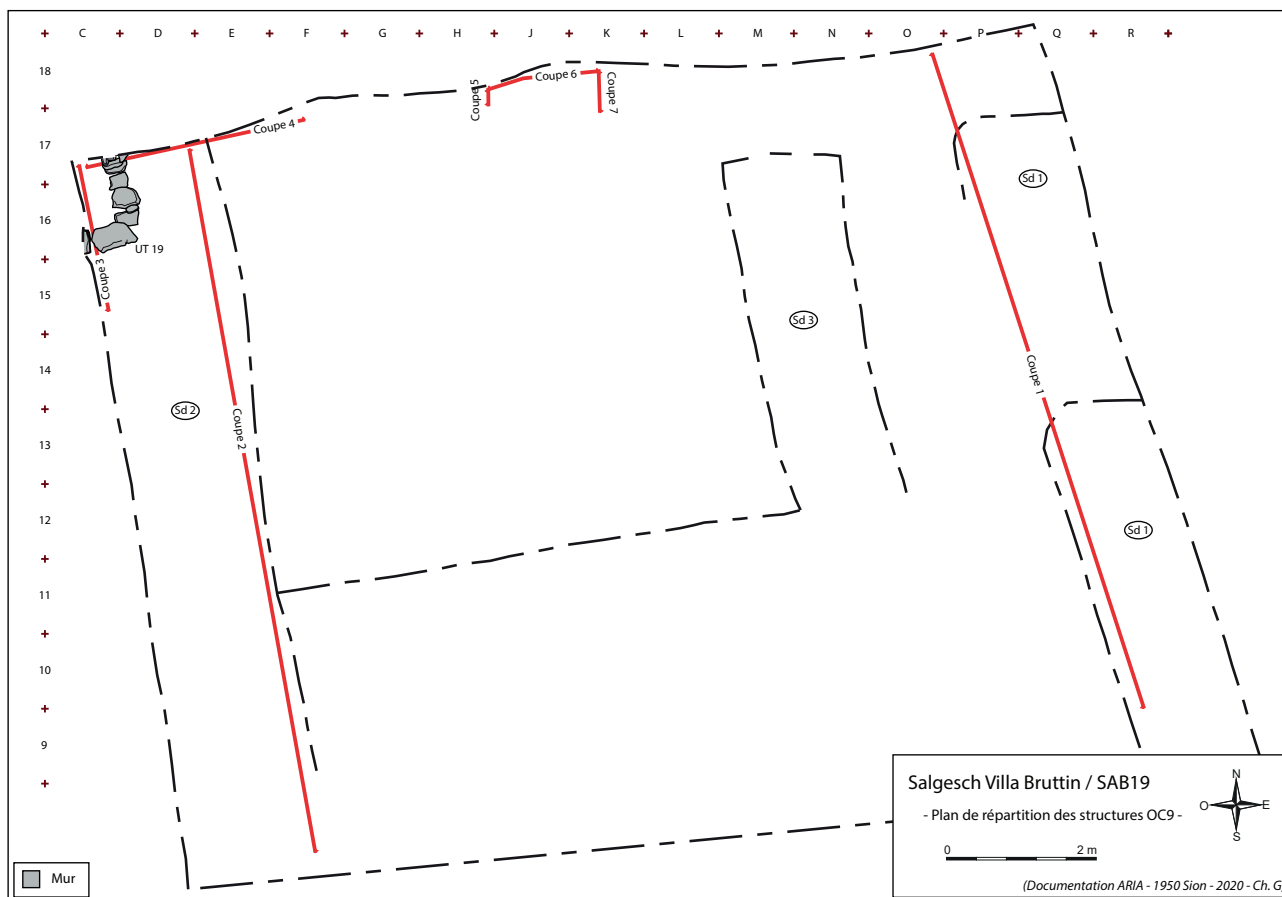


Fig.26 - SAB19, OC9, BAT23, schéma d'implantation.

SAB19				UT Description	UT Interprétation
OC9	SOL24	UTA	48	A la base de l'UT47, limon sableux, assez compact, brun jaune à blanchâtre au Nord, avec charbons. Peut-être le 1er niveau d'occupation lié à l'UT19	Sol d'occupation, fond de cave?
	BAT23	UTA	19	Mur orienté Nord/Sud avec un retour Est/Ouest tronqué par les coupes 3 et 4 du sondage 2. Gros blocs/dalles (40 à 60 cm) épais (10 à 15 cm). A l'Est de la branche N/S est visible, surtout dans la coupe 4, une large tranchée d'implantation. Au moins quatre assises sont conservées, avec un seul parement.	Fondation d'angle de bâtiment (cave?).
			33	Creusement le long du mur 21 (UT19), comblé par un cailloutis pierreux hétérogène, moyennement dense. Présence d'un bloc posé à plat.	Tranchée d'installation du mur (ou négatif d'un mur de doublage).



AB10

Cette phase de colluvionnement se met en place après l'abandon du bâtiment. Dans le très petit espace fouillé, à l'intérieur du bâtiment BAT25, on retrouve plusieurs blocs issus de la démolition des murs.

AL11

Le dépôt au sommet de la série sédimentaire épargnée par les travaux de défoncement pour la plantation de vignes, comprend deux phases d'alluvions séparées par un petit épisode de colluvionnement. La couche inférieure, fine, a entièrement comblé le fond du bâtiment BAT25.

C012

Ce niveau de limon fin très homogène est conservé seulement à l'est du site, sa position stratigraphique et son faciès en font l'équivalent de la phase C014 du site SAS19.

B2 - Mobilier (Annexe 21)

Trois fragments de céramique ont été étudiés. Une panse de céramique culinaire claire à paroi épaisse (n° 2), mal datée (du 1^{er} siècle apr. J.-C. jusqu'au 4-5^e s.). Les deux autres fragments, de petites dimensions, sont des pâtes indigènes de la fin du Second âge du Fer-1^{er} siècle de notre ère : un rebord de jatte ou de couvercle (n° 21) et un fond de petit récipient (n° 65). Le reste des récipients est représenté par des tessons de pierre ollaire, exclusivement tournés.

Site	Proc.	UT	n° mob.	nbre	Catégorie	type	Description	Datation	Remarques
SAB19	AB8	2	2	1	céramique culinaire claire	CCL	fragment de panse	1 ^{er} siècle AD - 4 ^{ème} /5 ^{ème} siècle AD	
SAB19	OC5	59	65	1	céramique indigène	IND	fond de récipient à paroi assez fine, gobelet (type C)*	Fin Second Âge du Fer - 1 ^{er} siècle AD	
SAB19	CO4	287	21	1	céramique indigène	IND	rebord de jatte tronconique à rebord oblique (type B1.1)* ou couvercle (type H)*	Fin Second Âge du Fer - 1 ^{er} siècle AD	

*Olivier PACCOLAT, Philippe CURDY, Eckard DESCHLER-ERB, Marc-André HALDIMANN, Luca TORI et al., *L'habitat alpin de Gamsen (Valais, Suisse)*, Vol. 3B. Cahiers d'Archéologie Romande 181, *Archaeologia Vallesiana* 18, Lausanne 2019.

SAB19	AB6	35	24	1	pierre ollaire	TRN	forme haute, petit pot, décor de cannelures		chlorito schiste type F*
SAB19		35	29	1	pierre ollaire	TRN	forme haute, petit pot		chlorito schiste type G*
SAB19		35	27	1	pierre ollaire	TRN	forme indéterminée, petit pot/écuelle, décor de cannelures, trou de réparation		chlorito schiste type F*
SAB19		34	37	1	pierre ollaire	TRN	forme indéterminée, petit pot		chlorito schiste type F*
SAB19		OC3	90	70	1	pierre ollaire	TRN	forme indéterminée, petit pot/écuelle, décor de cannelures	

*Olivier PACCOLAT, Philippe CURDY, Eckard DESCHLER-ERB, Marc-André HALDIMANN, Luca TORI et al., *L'habitat alpin de Gamsen (Valais, Suisse)*, Vol. 3A. Cahiers d'Archéologie Romande 181, *Archaeologia Vallesiana* 18, Lausanne 2019.

B3 - Restes fauniques

Environ 20 restes fauniques, mal conservés et très fragmentés, ont été recueillis. Deux espèces ont été déterminées : le mouton/chèvre et le cheval. De dimensions très réduites (longueur et largeur), la dent jugale inférieure (UT5, n°69) issue de l'équidé témoigne de la présence d'un petit cheval caractéristique de l'âge du Fer et du Moyen Âge.

C - Conclusion

Cinq phases d'occupation ont pu être observées sur le site SAS19 et quatre sur le site SAB19. Pour le premier site (SAS19), sur la base des datations radiocarbones et des faciès céramiques identifiés, la chronologie s'étale du Premier âge du Fer au milieu du premier siècle de notre ère. La sépulture (Tb 1) résume à elle seule cette succession, puisque présentant les signes de la persistance des traditions laténiennes dans un milieu culturel en phase de romanisation.

Le second site (SAB19) semble concerner exclusivement le Haut Moyen Âge, avec un hiatus pour ce qui concerne toute la période romaine. Cette lacune, peut-être simplement locale, ne serait que l'illustration du déplacement des installations humaines plus à l'aval, comme le montre la localisation des structures de la phase OC10 (SAS19).

L'étude des restes fauniques confirment à la fois ces attributions chronologiques et l'absence des formes de plus fortes statures des espèces animales typiques du monde romain.

Les épisodes de sédimentation érosive en contexte de versant puis, plus récemment, les travaux de défoncement pour la plantation des vignes ont bien sûr participé à la destruction de vestiges.

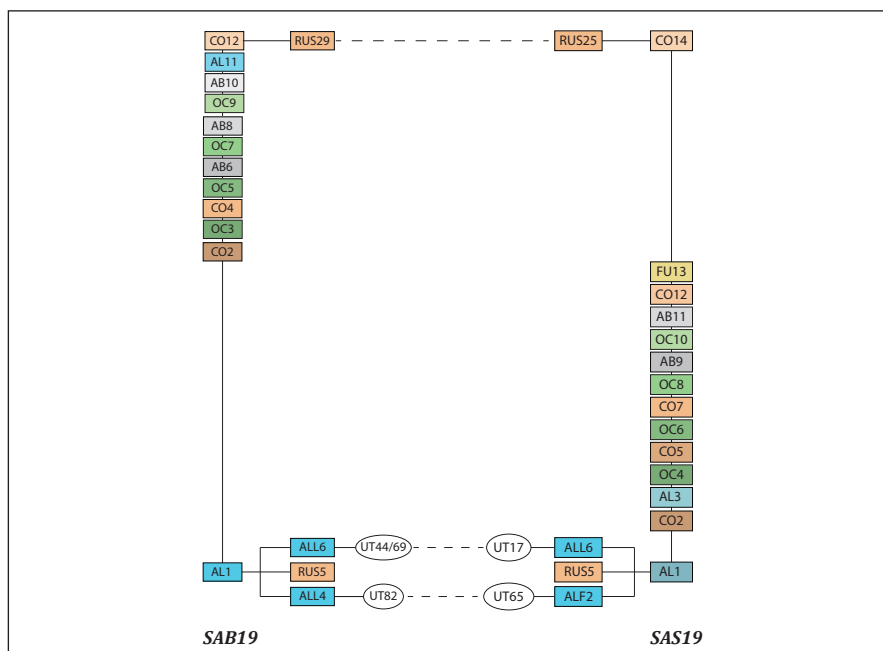


Fig.27 - SAS/SAB19, diagrammes chronostratigraphiques comparés.

D - Bibliographie

DAVID-ELBIALI et GIOZZA 2020

Mireille DAVID-ELBIALI et Gabriele GIOZZA, *Salgesch-Maregraben, un site du Premier âge du Fer dans la haute plaine du Rhône* (Salgesch, Valais, Suisse), Cahiers d'archéologie romande (*Archaeologia Vallesiana*), Lausanne 2020, à paraître.

GABUS *et al.* 2008

Jacques-Henri GABUS, Marc WEIDMANN, Mario SARTORI et Marcel BURRI, *Notice explicative de la feuille 1287 Sierre*, Atlas géologique de la Suisse au 1:25'000, Office fédéral de la topographie - Swisstopo, Berne 2008.

HALDIMANN *et al.* 1991

Marc-André HALDIMANN, Philippe CURDY, Pierre-Alain GILLIOZ, Gilbert KAENEL et François WIBLÉ, «Aux origines de Massongex (VS), *Tarnaia*, de La Tène finale à l'époque augustéenne», *ASSPA* 74, 1991, p. 129-182.

HÉRITIER 2002

Laurent HÉRITIER, «Varen VS-Sportplatz : un habitat et un complexe céramique du 8e siècle av. J.-C. en Valais», *ASSPA* 85, 2002.

Le Valais avant l'Histoire, Sion, Musées Cantonaux, 1986, p. 149, fig. 104.

PACCOLAT *et al.* 2018

Olivier PACCOLAT, Jean-Christophe MORET *et al.*, *L'habitat alpin de Gamsen (Valais, Suisse). Vol. 6B, Analyse des structures (époque historique)*, Cahiers d'Archéologie Romande 172, *Archaeologia Vallesiana* 15, Lausanne 2018, p. 61.

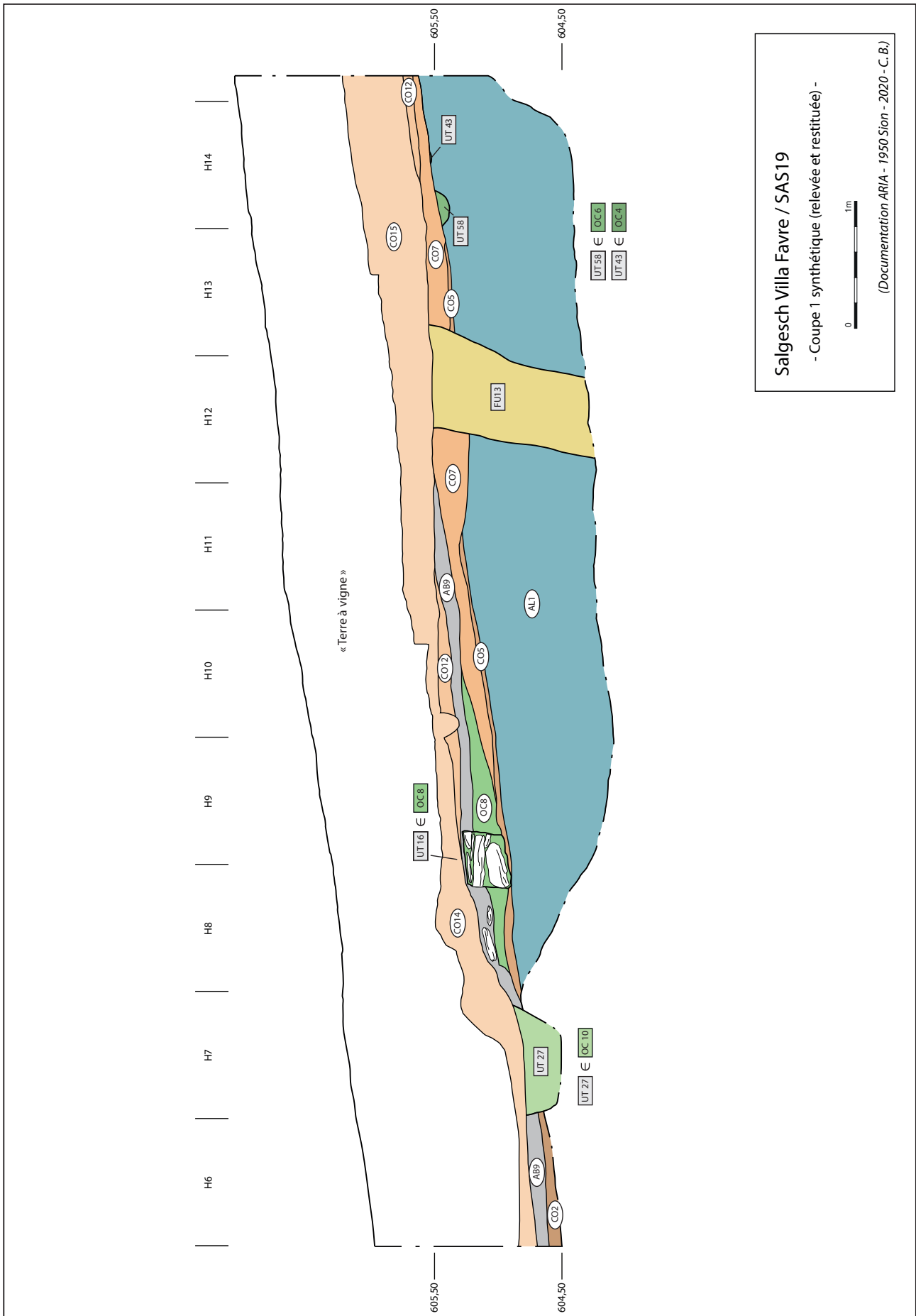
PACCOLAT *et al.* 2019

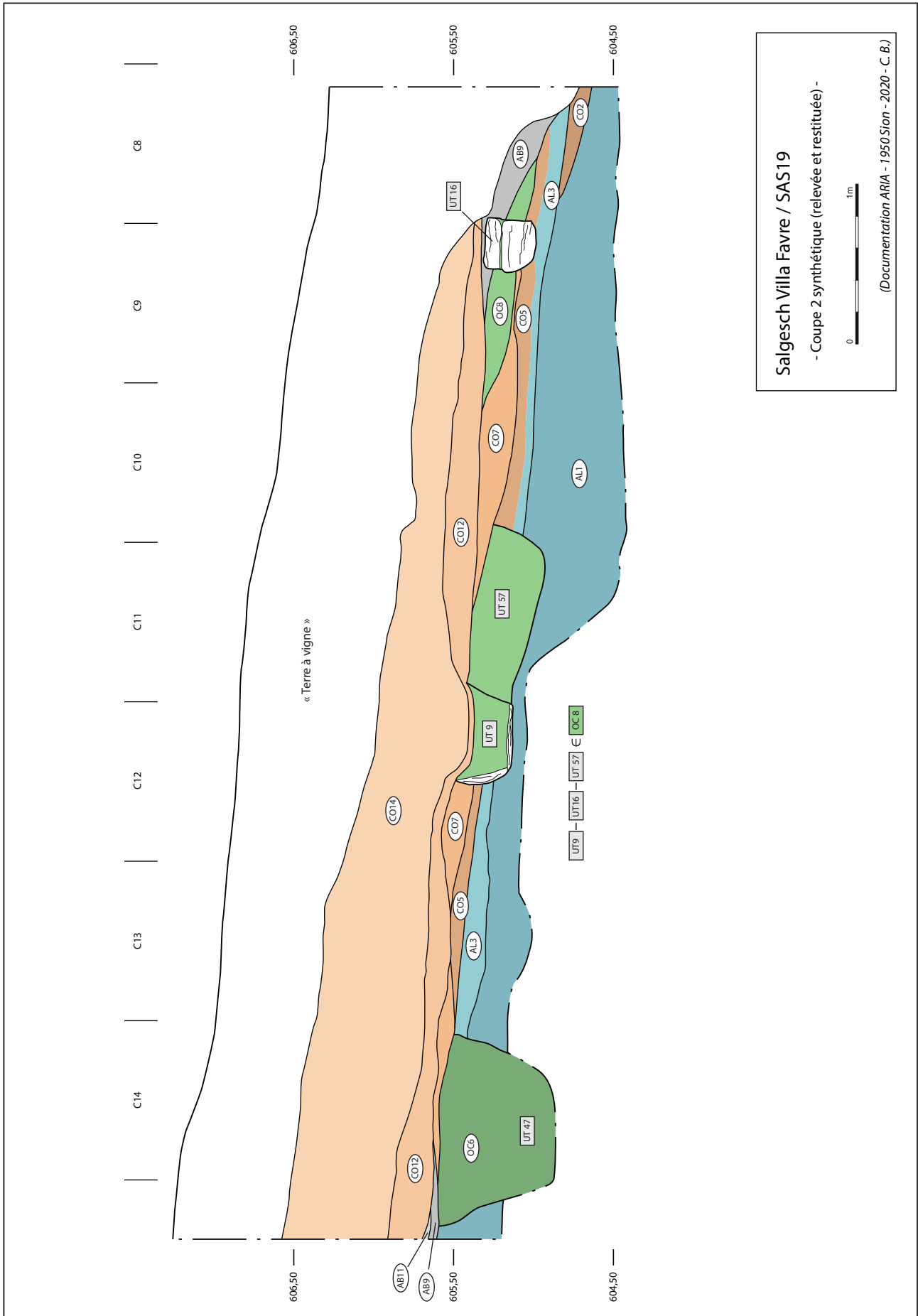
Olivier PACCOLAT, Philippe CURDY, Eckhard DESCHLER-ERB, Marc-André HALDIMANN, Luca TORI *et al.*, *L'habitat alpin de Gamsen (Valais, Suisse). Vol. 3B*, Cahiers d'Archéologie Romande 181, *Archaeologia Vallesiana* 18, Lausanne 2019.

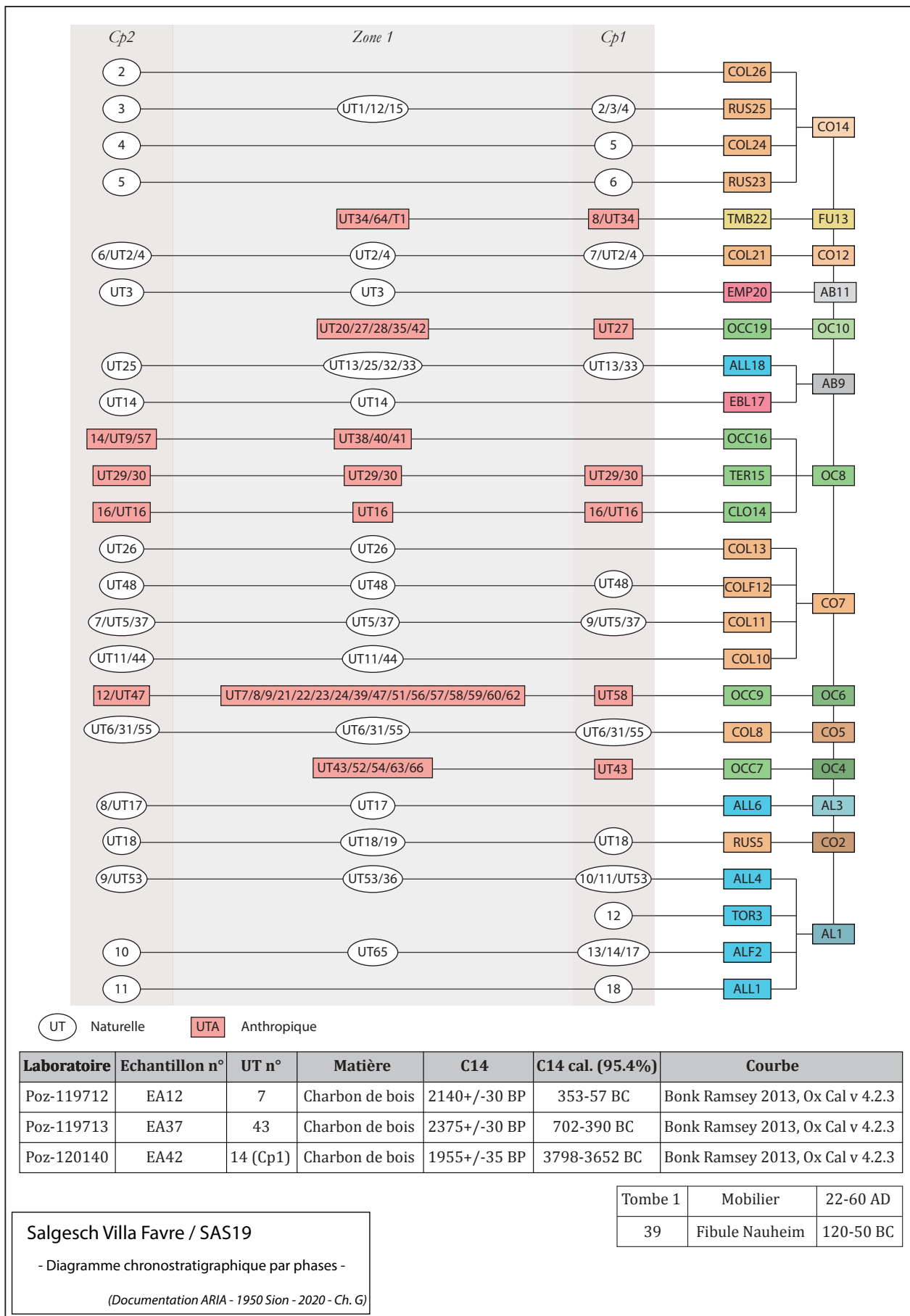
SPAGNOLO-GARZOLI 1999

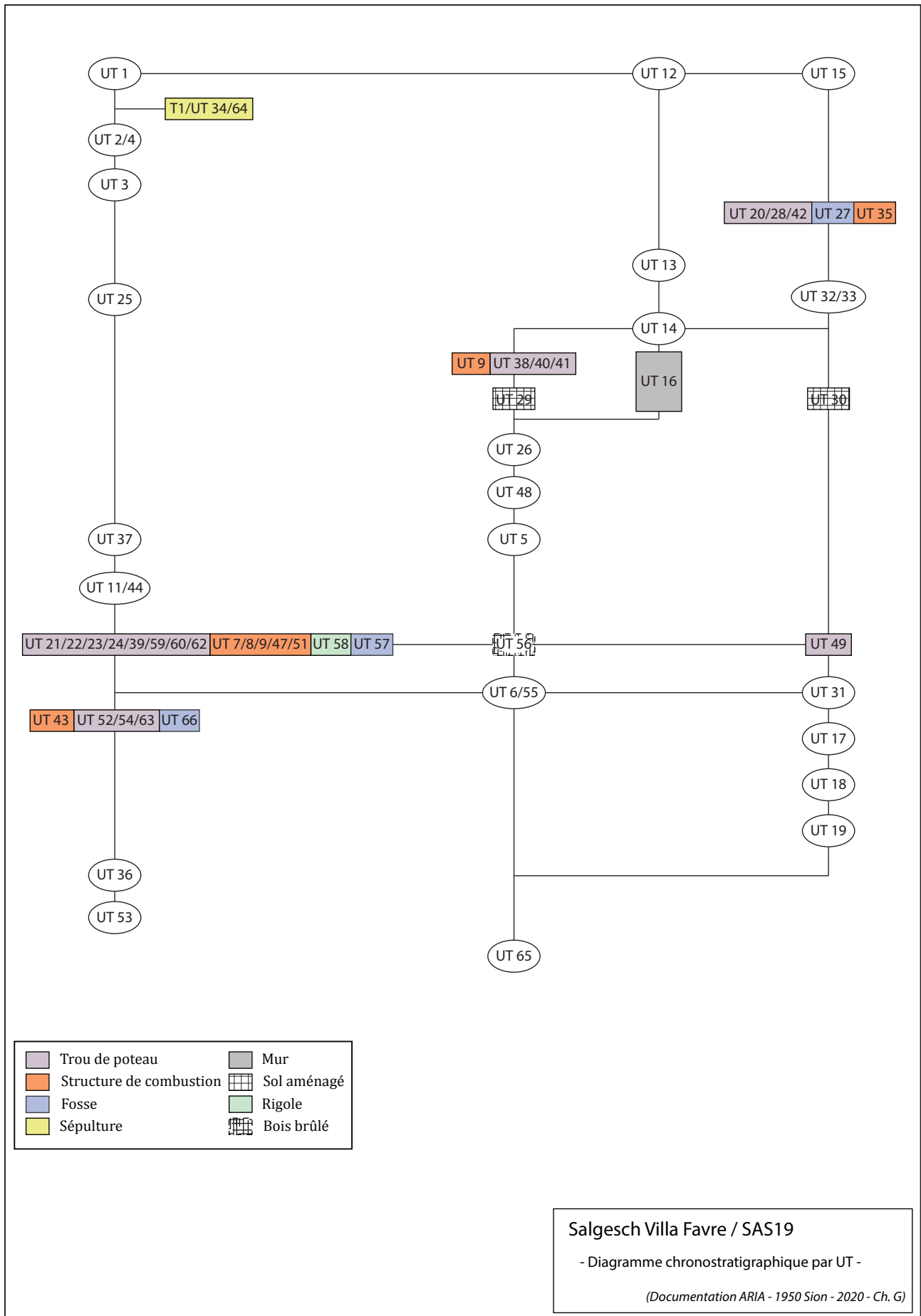
Giuseppina SPAGNOLO-GARZOLI (dir.), *Conubia Gentium. La necropoli di Oleggio e la romanizzazione dei Vertamocori*, Catalogue de l'exposition, Oleggio 1999.

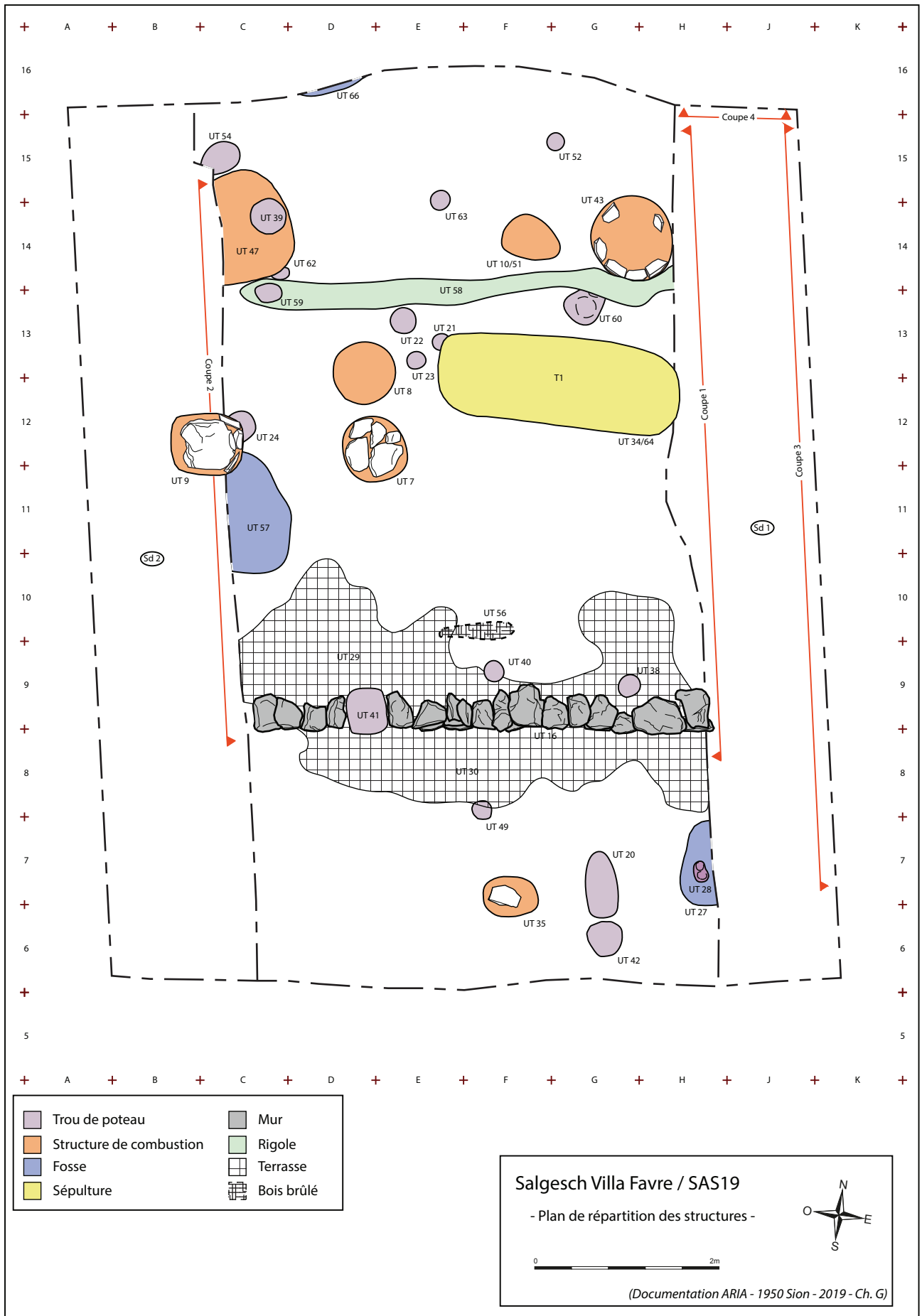
ANNEXES SAS19











SAS19 – Tombe 1 - Mobilier

(R. Andenmatten – OCA)

La bouteille peinte (SAS19-081)

Céramique peinte A, Bouteille ovoïde à lèvre déversée, mode de composition du registre principal Grand P2b¹, origine régionale.

Cette bouteille présente un décor constitué de quatre bandeaux uniformes et d'une frise géométrique simple. Le pied et la base de la panse sont décorés d'un bandeau noir puis sont suivis d'un bandeau blanc de moindre hauteur. La frise, qui occupe l'épaule peu marquée du vase, est peinte en noir et entourée par deux petits bandeaux noirs. Elle est isolée par des bandes laissées brut, puis des lignes fines en limite le haut et le bas. Des triglyphes constitués d'un trait épais entourés de deux traits fins séparent ensuite des métopes carrées traversées en leur milieu par trois traits ondes. Le sommet de la panse est marqué par un second bandeau blanc moins haut que le précédent puis le col est peint en noir jusqu'à la lèvre comprise.

-10/1 à 40/50 ap. J.-C.².

Le plat (SAS19-082)

Terre sigillée italique, Plat Haltern 2 / Conspectus 18 / Magdalensberg B507³/SIG-IT 18.1⁴, origine probablement padane⁵.

15 av. J.-C. à 50/60 ap. J.-C.⁶

La paire de fibules à ailettes reliées par une chaînette (SAS19-083 et SAS19-084)

(Ettlinger 10/ Feugère 13b / Rey-Vodoz 2.13.2)

Ces deux fibules en alliage cuivreux sont entières et dans un excellent état de conservation. Elles portent chacune des ailettes et un disque mouluré perpendiculaire rapporté. Elles possèdent un ressort à 8 spires à corde externe retenue par une griffe. Les ailettes, des deux côtés du disque, sont massives et doublées avec des bourrelets supplémentaires sous les ailettes du bas (seul le bourrelet en direction du pied de SAS19-083 est moins marqué que les autres). Les arcs de section rubanée présentent des bords divergeant avec des pieds larges qui tendent vers une forme en queue de paon. Les têtes sont partiellement couvrantes en forme de coquille aplatie. Les porte-ardillons sont ajourés et triangulaires avec une nervure qui vient mourir sous les arc. Les deux fenêtres de chaque porte-ardillon sont séparées en leur milieu par une bande en forme de foudre.

10 av. J.-C. / 30 ap. J.-C.⁷

Des fragments d'une chaînette en alliage cuivreux ont été retrouvés en association avec ces deux fibules. L'un passe autour de l'ardillon de SAS19-083 et s'est solidarisé par la corrosion au ressort et à la tête de l'arc de la fibule. Il présente un anneau simple à son extrémité conservée.

¹ K. Grand, Le répertoire décoratif de la céramique peinte gallo-romaine de Roanne (Loire), *Revue archéologique du Centre de la France* 34, 1995, p. 184.

² T. Luginbühl et A. Schneider, Le mobilier céramique, in S. Berti Rossi et C. May Castella (dir.), *La fouille de Vidy « Chavanne 11 »*, Lausanne, 1999, p. 80-81.

³ E. Schindler-Kaudelka, G. Schneider, S. Zabehtlicky-Scheffenegger, Les sigillées padanes et tardo-padanes, Nouvelles recherches en laboratoire, in S. Saulnier et L. Rivet (éd.), *Société Française d'Etude de la Céramique Antique en Gaule. Actes du Congrès du Mans*, 1997, p. 481-494.

⁴ M. Passelac, Céramique sigillée italique, *Lattara* 6, 1993, p. 559

⁵ M.-A. Haldimann, Ph. Curdy et P.-A. Gilloz, Aux origines de Massongex VS : Tarnaia, de La Tène finale à l'époque augustéenne, *Annuaire de la société suisse de préhistoire et d'archéologie* 74, 1991, p. 142-143.

⁶ Principaux pics de représentation du Haltern 2 d'après T. Luginbühl et A. Schneider, *op. cit.*, p. 35-38.

⁷ Elisabeth Ettlinger, *Die Römischen Fibeln in der Schweiz*, Bern, 1973, p. 57-58 ; Michel Feugère, *Les fibules en Gaule méridionale : De la conquête à la fin du Ve s. ap. J.-C.*, Paris 1985, p. 258-259 ; Véronique Rey-Vodoz, Les fibules gallo-romaines de Martigny, *Annuaire de la Société Suisse de Préhistoire et d'Archéologie* 69, 1986, p. 159.

Des anneaux de la chaînette manquent et il est impossible de relier directement les trois fragments retrouvés en association avec SAS19-084 entre eux ou avec le fragment de SAS19-083. Le déplacement d'une partie de la fibule SAS19-084 lors de son dégagement rend encore plus incertaine la position de ces éléments.

La longueur minimale de cette chaînette peut être estimée à 15 cm et elle semble pouvoir être directement associée au port d'un vêtement du costume féminin de tradition indigène qui associe deux fibules reliées par une chaînette⁸.

La technique de réalisation de la chaînette est appelée « queue de renard », *Loop in loop* ou *Fuchsschwanzkette*. Ce type de chaîne n'apparaît en Gaule que dès le milieu du 1^{er} siècle avant J.-C.⁹.

La paire de fibules à « queue de paon » ou de fibules « chardons » (SAS19-085 et SAS19-086)

- SAS19-085 (Almgren 240 / Ettlinger 24/ Feugère 19a2(SAS19-085) et 19d2(SAS19-086) / Metzler 1995 Type 13b-c / Riha 4.5.2 / Rey-Vodoz 4.5.2 / Leifeld SpH-5)
- SAS19-086 (Feugère 16b1)

Il s'agit de deux fibules en alliage cuivreux présentant des caractéristiques proches à l'exception de la forme de leurs plaques décoratives. Les deux possèdent des arcs semi-circulaires décorés de cannelures sur le dessus ainsi que des pieds en « queue de paon » directement liés à leurs plaques. Les liaisons entre ces pieds et le dessous des plaques décoratives sont soulignées par de très fines rainures.

La plaque de SAS19-085 est de forme circulaire et présente des restes d'une collerette ajourée de dentelures sur sa bordure extérieure tandis que la plaque de SAS19-086 est de forme rhomboïdale et ne présente aucun reste d'applique. Il semble d'ailleurs probable qu'il n'y ait pas eu de collerette sur la plaque qui est décorée de deux. Ces fibules possèdent de larges couvre-ressorts cylindriques, orné de très légères rainures pour SAS19-086, et leurs porte-ardillons, relativement longs mais de faible hauteur, sont percés de deux fenêtres.

D'après les données à disposition, ce type de fibule apparaîtrait dans les deux premières décennies de notre ère, voire dans la dernière décennie du 1^{er} siècle avant J.-C.¹⁰, puis serait utilisé durant tout le 1^{er} siècle ap. J.-C.¹¹.

Retrouvées à plusieurs reprises par paire en contexte funéraire, dont en Valais à Saillon, Saxon et Sierre, ces fibules semblent associées au port d'un vêtement féminin particulier¹².

La fibule à arc filiforme de schéma La Tène finale (SAS19-092)

(Rey-Vodoz 1.0 (variante de Ettlinger 4) / Feugère 4a2 / Leifeld SpF-6.1 / Metzler 1995 Type 7d)

Cette petite fibule en fer possède un ressort à 4 spires et une corde externe. Son arc est de section filiforme et son porte-ardillon plein est trapézoïdal. La forme générale de cette fibule s'inscrit dans un triangle mais malheureusement l'absence d'une partie de son arc ne permet pas d'assurer sa détermination avec certitude.

De par ses caractéristiques, cette petite fibule peut être datée le plus probablement entre la seconde décennie et le milieu du premier siècle après J.-C.¹³.

⁸ Matthieu Demierre et Matthieu Poux, « Etude du petit mobilier (IIe-Ier siècles avant J.-C.) », in Charles Bonnet (dir.) et Alain Peilleux, *Les fouilles de la cathédrale Saint-Pierre de Genève, Le centre urbain de la protohistoire jusqu'au début de la christianisation*, Genève, 2009, p.190.

⁹ Matthieu Poux et al., Paire de fibules en or du 1^{er} s. av. J.-C., Autour d'une découverte de l'oppidum de Coirent (Puy-de-Dôme), *Gallia* 64, 2007, p. 198.

¹⁰ Dominique Canny, Le mobilier du sanctuaire du Clos de la Fontaine à Orléans (Loiret) du milieu du 1^{er} siècle av. J.-C. à la fin du 1^{er} siècle ap. J.-C. p. 343-344.

¹¹ Hubert Leifeld, Endlatène- und älterkaiserzeitliche Fibeln aus Gräbern des Trierer Landes, Eine antiquarisch-chronologische Studie, Bonn, 2007, p. 182-188.

¹² Elisabeth Ettlinger, *op. cit.*, p. 82.

¹³ Véronique Rey-Vodoz, *op. cit.*, p. 156.

Le bracelet en fer (SAS19-101)

Cet objet était déposé avec les os de la tombe et n'a pas encore pu être restauré. Il devrait faire l'objet d'une restauration en 2020.

Le bracelet massif en argent (SAS19-104)

Ce bracelet en argent présente des caractéristiques formelles simples. Il est ouvert et de forme générale ovale. La section de son jonc est circulaire à ovale et ses extrémités sont épaissies, de sections circulaires et se terminent avec des faces légèrement convexes à l'ouverture.

Ce type de bracelets massif sans décor a parfois été attribué à l'antiquité tardive et au Haut-Moyen-Age. Les découvertes de la sépulture des Bernunes en 1909 ainsi que de la tombe au centre de cet article permettent d'assurer une origine romaine au premier siècle ap. J.-C. pour ce type de parure¹⁴.

La bague à intaille en pâte de verre (SAS19-106)

(Guiraud 1c ou 2a)

Le dessus de la bague en alliage cuivreux SAS19-106 n'est que partiellement conservé tandis que son intaille en pâte de verre est très mal conservé. Formellement elle correspondrait volontiers au type 1c d'Hélène Guiraud¹⁵ dont les incrustations sont de forme convexe. Le volume de l'intaille en pâte de verre n'étant pas conservé, il est cependant impossible d'écarter la possibilité qu'il s'agisse d'un type 2a. Le dessus de la bague présente un cercle autour de l'intaille et ce pourtour laisse deviner une légère gravure qu'il n'est plus possible d'interpréter de par l'état de conservation de l'objet.

Ces types de bagues apparaissent pour le 1c autour du début et pour le 2a vers le milieu du premier siècle av. J.-C. en Gaule. Ils connaissent leurs apogées au tournant de notre ère pour le 1c et au milieu du premier siècle ap. J.-C. pour le 2a puis continuent à être en usage au moins jusqu'au début du deuxième siècle ap. J.-C.¹⁶.

Les anneaux de cheville à « têtes de serpent » (SAS19-130, SAS19-131 et SAS19-136)

(Viollier Type II variante b)

Les trois anneaux de cheville du type « à têtes de serpent » correspondent à la variante « b » avec des moulures peu proéminentes¹⁷. Les sections de leur jonc sont plano-convexe et leurs décors de moulures sont similaires. Les trois anneaux présentent des usures asymétriques dues au frottement induit par le port prolongé de ces parures par paire. Sur certains exemplaires, la perte de matière au niveau du jonc est telle, qu'elle pourrait avoir mené à la perte d'un anneau et expliquer le port souvent dépareillé de ces parures dans le contexte funéraire¹⁸.

Les anneaux de cheville de la tombe SAS19/T1 correspondent très précisément dans leurs décors aux fragments d'anneaux de la sépulture du Passage de la Matze à Sion¹⁹ et de la sépulture détruite au Bernunes à Sierre en 1909²⁰.

¹⁴ David Viollier, Tombe romaine de Sierre (Valais), *Indicateur d'antiquités suisses* 11, 1909, p. 195.

¹⁵ Hélène Guiraud, Bagues et anneaux à l'époque romaine en Gaule, *Gallia* 46, 1989, p. 180 – 181.

¹⁶ Hélène Guiraud, *op. cit.* p. 203.

¹⁷ Philippe Curdy & al., *op. cit.*, p. 152-153.

¹⁸ Philippe Curdy & al., *op. cit.*, p. 152.

¹⁹ Philippe Curdy & al., *op. cit.*, p. 134-136 et Pl. 19.

²⁰ David Viollier, *op. cit.*, 1925, Pl. 8.

Sur la centaine d'anneaux du type à « têtes de serpent » répertoriés en Valais central, entre les communes de Loèche et de Saxon, moins d'une quinzaine peut être considérée comme provenant de sépultures ayant fait l'objet d'investigations archéologiques. Les datations de ces anneaux par d'autres catégories de mobilier à l'intérieur d'ensemble clos restent donc rares et permettent difficilement d'en proposer une chronologie. Il semblerait cependant que les modèles de la variante « a » de Viollier, à moulures proéminentes, puissent être antérieurs aux modèles de la variante « b », à moulures peu proéminentes²¹. Les premiers (a) dateraient plutôt la seconde moitié de La Tène D1b et de La Tène D2a tandis que les seconds (b) apparaîtraient entre La Tène D2a et La Tène D2b pour perdurer au minimum jusque vers le milieu du premier siècle après J.-C., voire jusque aux Flaviens²². La datation de ces anneaux se situerait donc principalement entre 50 av. J.-C. et 50 ap. J.-C. mais pourrait aussi s'étendre jusque vers 70 ap. J.-C. Cet usage long pourrait aussi en partie s'expliquer par l'âge, parfois avancé, des défunte ainsi que par le contexte dans lequel on suppose aujourd'hui que ces parures étaient portées²³, mise en place probable dans un cadre matrimonial puis port jusqu'au décès.

De par sa datation et sa zone de répartition²⁴, cette parure peut être considérée comme typique de certaines femmes sédunes. Datant de l'indépendance, les pratiques associées à ces anneaux auraient perduré pendant près d'un siècle sous l'hégémonie romaine.

Le couteau à emmanchement par douille (SAS19-133)

La lame de ce couteau en fer est malheureusement très mal conservée. Il est donc difficile d'en déterminer le type exact. La douille de section ovale mesure 2cm de hauteur par 1cm de largeur pour une longueur de 4cm. Les quelques vestiges conservés de sa lame, sur 4cm de longueur par 5cm de hauteur avec un dos de 2mm d'épaisseur, laissent envisager un couteau de moyenne dimension (lame entre 10 et 15cm de longueur). La gangue de corrosion de l'objet mesurait en effet près de 15cm lors de sa découverte et laisse envisager une lame conservée d'au moins 10cm mais qui, trop détériorée, n'a pu être totalement conservée à la restauration. Une telle lame se situerait entre un couteau « de cuisine » et un couteau « de service ».

L'axe du manche, de la douille, par rapport à la lame est droit et, bien qu'il soit impossible de l'observer en l'état, un clou peut avoir fixé le manche en bois dans la douille.

Ce type d'emmanchement existe au moins depuis le second âge du Fer pour des couteaux de ces dimensions et persiste jusqu'à l'époque contemporaine.

La situation de ce couteau le long d'un fémur de veau et à proximité d'un plat permet d'envisager que cet objet personnel accompagnait la défunte dans l'objectif de lui permettre de se sustenter lors de son voyage vers un au-delà.

Il est intéressant d'observer que la défunte de la tombe 1 du passage de la Matze à Sion²⁵ possède également un couteau, bien qu'un peu plus petit, disposé sous un plat qui contient un gallinacé domestique déjà paré.

²¹ Pour la définition des types et variantes : David Viollier, Les «bracelets valaisans», Genava, revue d'histoire de l'art et d'archéologie 7, 1929, p. 105-108.

²² Pour l'inventaires des anneaux de cheville, dont les modèles en ensemble clos : Base de donnée R. Andenmaten, projet FNS-UNIBE 2015.

²³ Philippe Curdy & al., *op. cit.*, p. 208.

²⁴ Philippe Curdy & al., *op. cit.*, p. 209.

²⁵ Philippe Curdy & al., *op. cit.*, p. 134-136 et Pl. 19.

Les chaussures à semelles cloutées (SAS19-140, SAS19-143, SAS19-144, SAS19-145, SAS19-146 et SAS19-147)

La corrosion a solidarisé en plaques, la plus grande partie des clous fixés sous les chaussures de la défunte. Les principaux fragments en sont SAS19-143 (arrière) et SAS19-144 (avant) pour la semelle droite ainsi que SAS19-145 (arrière) et SAS19-146 (avant) pour la semelle gauche. Quelques fragments complémentaires de semelles ou des clous isolés ont également été prélevés (SAS19-140 et SAS19-147).

Les conglomérats de clous sont relativement difficiles à mesurer mais il semble qu'ils aient possédé des diamètres entre 8 et 10mm et des hauteurs de tête d'environ 7mm. Les clous isolés (SAS19-147) correspondent également à ces dimensions. Les poids mesurés des clous isolés se situent entre 0.8 et 1.25gr. Les extrémités recourbées des tiges ne sont jamais conservées et leur longueur moyenne est de 6mm avec cependant une tige conservée sur une longueur de 8.5mm.

Une épaisseur de semelle d'au moins 8.5mm peut donc être postulées et 2 à 3 couches de cuir minéralisé sont conservées du côté intérieur des chaussures.

Les dimensions des clous ainsi que les schémas de cloutage correspondent volontiers à une datation durant le premier siècle ap. J.-C.

Des restes de textile ainsi que d'autres restes végétaux sont également conservés sous les semelles de la défunte. Leur interprétation nécessitera l'intervention de spécialistes.

La variante de fibule « gauloise simple » à arc rubané et demi couvre-ressort cylindrique (SAS19-148)

(Leifeld SpS-7.1b (variantes de Almgren 241 / Ettlinger 9 / Feugère 14a / Riha 2.2 / Rey-Vodoz 2.2))

Cette fibule est en alliage cuivreux avec un ressort à 8 spires et une corde externe, entourés par un couvre-ressort sur la moitié de sa périphérie mais sans griffe. L'arc rubané est de forme triangulaire, large à la tête et fin au pied. Il est décoré de deux rainures longitudinales en son centre et présente un angle marqué (env. 90°) à la tête. Quelques rainures périphériques dans le même axe que les spires du ressort ont aussi pu être observées sur les bords extérieurs du cache-ressort.

Son porte ardillon fenestré n'est que partiellement conservé et a perdu toute sa partie inférieure. Il est perforé de cinq ouvertures quadrangulaires suivies d'une ouverture à croisée.

Cette fibule est une variante des Almgren 241 que Leifeld caractérise comme SpS-7.1b.

À la transition entre les fibules « gauloises simples » et les fibules à couvre-ressort cylindrique, la fibule SAS19-148 semble pouvoir être datée dès les deux dernières décennies du premier siècle avant J.-C. et avoir été utilisée durant l'ensemble du premier siècle après J.-C.²⁶

n° inv.	Matière	Dénomination	Emission	Datation
114.1	AE (laiton/bronze/cuivre)	As	Tibère pour Auguste divisisé	22 à 37 ap. JC
114.2	AE (laiton/bronze/cuivre)	As	Tibère pour Auguste divisisé	22 à 37 ap. JC
114.3	AE (laiton/bronze/cuivre)	As	Tibère pour Auguste divisisé	22 à 37 ap. JC
114.4	AE (laiton/bronze/cuivre)	As	Tibère	21 à 22 ap. JC
114.5	AE (laiton/bronze/cuivre)	As	Tibère pour Auguste divisisé	22 à 37 ap. JC
114.6	AE (laiton/bronze/cuivre)	As	Tibère pour Auguste divisisé	22 à 37 ap. JC
114.7	AE (laiton/bronze/cuivre)	Dupontius	Tibère	21 à 22 ap. JC
117	Argent	Quinaire	République	97 av. JC

Fig.23 - SAS19, T1, tableau de détermination des monnaies (Annexe 7)

(Paul-Emile Mothiez 2019)

²⁶ Hubert Leifeld, Endlatène- und älterkaiserzeitliche Fibeln aus Gräbern des Trierer Landes, Eine antiquarisch-chronologische Studie, Bonn, 2007, p. 144-147.



Saisie d'objets individuels

Saisie de la découverte

canton Valais code CSI - :
 commune
 localité Salgesch
 lieu-dit
 coordonnées nationales X: Y: date de la découverte
 carré / coupe altitude
 n° diagramme de Harris couche
 n° de la trouvaille SAS 19 - 114 - 1

Classification

classification fonctionnelle

monnaie jeton de compte médaille
 tessère, marque de valeur, méreau, jeton jeton de dédicace, de pèlerinage
 autre:

attribution chronologique

époque indéterminée moyen-âge
 antérieure à l'invention de la monnaie frappée moyen-âge I: 498 à 751
 antique moyen-âge II: 751 à environ 1180
 antique I: VIII^e s. à 27 av. J.-C. moyen-âge III: environ 1180 à 1500
 antique II: 27 av. J.-C. à 294/296 ap. J.-C. époque moderne
 antique III: 294/296 à 498 époque moderne I: 1500 à 1799
 époque moderne II: 1800 à nos jours

Identification

autorité émettrice Tibère pour Auguste divisé
 atelier Atelier indéterminé
 datation de 22 à 37
 appréciation indéterminée approximative reconstituée exacte
 dénomination A.S.

attribution traditionnelle par la recherche

indéterminée monnaie romaine républicaine monnaie gauloise (Vienna, Copia)
 monnaie celtique monnaie romaine impériale
 autre:

matière

AE aes (laiton / bronze / cuivre, monnaies antiques) BR bronze (MA / époque moderne) PB plomb
 AL aluminium CN cupro-nickel (époque moderne) PT platine
 AR argent CU cuivre (MA / époque moderne) SN étain
 AV or EL électron autre:
 BI billon (MA / époque moderne) ME laiton (médailles et autres) objets)

technique de fabrication

indéterminée fourrage, noyau en AE "Vierschlag"
frappe fourrage, noyau en FE "serratus"
 coulage surfrappe autre:

Légende et description

légende de l'avvers D[IVVS] AVGVSTVS PAT[ER]
 légende du revers PROVIDEN[T] (en exergue); S-C
 description de l'avvers tête à g., radiée
 description du revers antel de la providence
 type DAP antel
 marques d'atelier et d'officine
 références numismatiques RIC I², p. 99, n. 81

statut

indéterminé imitation faux moderne autre:
 frappe officielle faux d'époque faux d'époque indéterminée



Caractéristiques individuelles

Form fields for weight (10.00g), diameter (27.3mm), axis (180°), and form (plan: ronde, coupe: plate).

Défauts de fabrication et hybrides

Form fields for manufacturing defects: indéterminé, sans défaut, bout de lamelle, hybride, etc.

Détérioration et utilisation secondaire

Form fields for deterioration and secondary use: indéterminé, intact, cassé, fragmenté, etc.

Manipulations postérieures

Form fields for post-manipulations: avers, revers, indéterminé, aucune, coupé en deux, etc.

Etat de conservation

Form fields for state of conservation: avers, revers, usure, corrosion, indéterminée, non usé, etc.

Documentation et étude

Form fields for location (Service archéologique) and inventory number (SAS19-114-1).

qualité des données

Form fields for data quality: étude de l'objet même, objet présent pour l'étude, données reprises d'ailleurs, etc.

Bibliographie et documentation écrite de l'objet

(auteur(s), titre, tome, année et lieu de parution, page(s); pour la documentation écrite un maximum de précision et spécifier si publiée)

Blank lines for bibliography and documentation.

Form fields for data entry: fiche de saisie remplie par (Mollier Paul-Emile), lieu (Sion), date (16.12.19).

Remarques

Blank lines for remarks.



Saisie d'objets individuels

Saisie de la découverte

canton Valais code CSI
 commune
 localité Salgesch
 lieu-dit date de la découverte
 coordonnées nationales X: Y: altitude
 carré / coupe couche
 n° diagramme de Harris n° de la trouvaille SAS.19-116-2

Classification

classification fonctionnelle

monnaie jeton de compte médaille
 tessère, marque de valeur, méreau, jeton jeton de dédicace, de pèlerinage autre:

attribution chronologique

époque indéterminée moyen-âge
 antérieure à l'invention de la monnaie frappée moyen-âge I: 498 à 751
 antique moyen-âge II: 751 à environ 1180
 antique I: VIII^e s. à 27 av. J.-C. moyen-âge III: environ 1180 à 1500
 antique II: 27 av. J.-C. à 294/296 ap. J.-C. époque moderne
 antique III: 294/296 à 498 époque moderne I: 1500 à 1799
 époque moderne II: 1800 à nos jours

Identification

autorité émettrice Tibère pour Auguste dévot
 atelier Atelier indéterminé
 datation de 22 à 37
 appréciation indéterminée approximative reconstituée exacte
 dénomination AE

attribution traditionnelle par la recherche

indéterminée monnaie romaine républicaine monnaie gauloise (Vienna, Copia)
 monnaie celtique monnaie romaine impériale autre:

matière

AE aes (laiton / bronze / cuivre, BR bronze (MA / époque moderne) PB plomb
 monnaies antiques) CN cupro-nickel (époque moderne) PT platine
 AL aluminium CU cuivre (MA / époque moderne) SN étain
 AR argent EL électron autre:
 AV or ME laiton (médailles et autres
 BI billon (MA / époque moderne) objets)

technique de fabrication

indéterminée fourrage, noyau en AE "Vierschlag"
~~frappe~~ fourrage, noyau en FE "serratus"
~~coulage~~ surfrappe autre:

Légende et description

légende de l'avers DIIVS AVGV[STVS] PATER
 légende du revers [P]ROVIDENT[IA]; S-C
 description de l'avers tête a.g. radée

 description du revers autel de la providence

 type DAP autel
 marques d'atelier et d'officine
 références numismatiques RIC I², p. 99 n° 81

statut

indéterminé imitation faux moderne autre:
 frappe officielle faux d'époque faux d'époque
 indéterminée



Caractéristiques individuelles

poids (g) 9.36 axe 200°
diamètre (mm) max. 30.8 min. 29.4

forme: plan

ronde à quatre points
ovale autre:
carrée, aux coins arrondis

forme: coupe

plate en forme de bractéate
en biseau autre: légende concave (rv.)
scyphate, en forme de coupe

Défauts de fabrication et hybrides

indéterminé
sans défaut
bout de lamelle
hybride
autre: flan mince et fissuré

Détérioration et utilisation secondaire

indéterminé
intact
cassé (plus de 3/4 intacts)
cassé (moins de 3/4 intacts)
fragmenté (en 2 ou plusieurs parties)
coupé, limé
ajusté
troué
monté en bijou
martelé
autre:

avers revers
coin endommagé
défaut du flan
tréflage
frappe décentrée
monnaie incuse
coin usé
autre:

Manipulations postérieures

indéterminé
aucune
coupé en deux
coupé en quatre
autre partition:

avers revers
rainuré, prép. pour coupe
contremarque*
poignon*
coup (instruments sauf poignon)*
graffito*
autre:

*description:

Etat de conservation

usure
avers revers
indéterminée
non usé à peu usé
légèrement usé
usé
fortement usé
fruste

corrosion
avers revers
indéterminée
non corrodé à peu corrodé
légèrement corrodé
corrodé
fortement corrodé
entièrement corrodé

Documentation et étude

lieu de conservation Service Archéologique
n° d'inventaire SAS19-114-2 n° du négatif de la photo

qualité des données

étude de l'objet même:
objet présent pour l'étude, mais certaines données reprises d'ailleurs;
sans original, mais toutes les données importantes accessibles sous forme écrite;
sans original, certaines données accessibles sous forme écrite;
sans original, détermination sommaire écrite;
sans original, communication orale;

Bibliographie et documentation écrite de l'objet

(auteur(s), titre, tome, année et lieu de parution, page(s)); pour la documentation écrite un maximum de précision et spécifier si publiée)

fiche de saisie remplie par Mottiez Paul-Emile

lieu Sion date 16.12.19

Remarques

Surfrappe clairement visible au rv. (S. double), avec potentiellement les restes d'un globe en exergue. Cette surfrappe pourrait expliquer la minceur du flan et son caractère large.



Saisie d'objets individuels

Saisie de la découverte

canton Valais code CSI - :
 commune
 localité Salgesch
 lieu-dit date de la découverte
 coordonnées nationales X: Y: altitude
 carré / coupe couche
 n° diagramme de Harris n° de la trouvaille SAS 19-114-3

Classification

classification fonctionnelle

monnaie jeton de compte médaille
 tessère, marque de valeur, méreau, jeton jeton de dédicace, de pèlerinage autre:

attribution chronologique

époque indéterminée moyen-âge
 antérieure à l'invention de la monnaie frappée moyen-âge I: 498 à 751
 antique moyen-âge II: 751 à environ 1180
 antique I: VIII^e s. à 27 av. J.-C. moyen-âge III: environ 1180 à 1500
antique II: 27 av. J.-C. à 294/296 ap. J.-C. époque moderne
 antique III: 294/296 à 498 époque moderne I: 1500 à 1799
 époque moderne II: 1800 à nos jours

Identification

autorité émettrice Tribune pour Auguste divinisé
 atelier Atelier indéterminé
 datation de 22 à 37
 appréciation indéterminée approximative reconstituée exacte
 dénomination As

attribution traditionnelle par la recherche

indéterminée monnaie romaine républicaine monnaie gauloise (Vienna, Copia)
 monnaie celtique monnaie romaine impériale autre:

matière

AE aes (laiton / bronze / cuivre, BR bronze (MA / époque moderne) PB plomb
 monnaies antiques) CN cupro-nickel (époque moderne) PT platine
 AL aluminium CU cuivre (MA / époque moderne) SN étain
 AR argent EL électron autre:
 AV or ME laiton (médailles et autres
 BI billon (MA / époque moderne) objets)

technique de fabrication

indéterminée fourrage, noyau en AE "Vierschlag"
frappe fourrage, noyau en FE "serratus"
 coulage surfrappe autre:

Légende et description

légende de l'avvers [DIVINVS AVGVSTVS P[AT]R]
 légende du revers PROVIDENTIA (en exergue) ; S-C
 description de l'avvers tête à g., radiée
 description du revers aurel de la providence
 type DAP aurel
 marques d'atelier et d'officine
 références numismatiques RTC I² p. 99 n° 81

statut

indéterminé imitation faux moderne autre:
frappe officielle faux d'époque faux d'époque indéterminée



Caractéristiques individuelles

pois (g) 9.92 axe 190
diamètre (mm) max. 28.3 min. 27.3
forme: plan forme: coupe
ronde à quatres pointes plate
ovale autre: en biseau
carrée, aux coins arrondis autre: scyphate, en forme de coupe

Défauts de fabrication et hybrides

indéterminé
sans défaut
bout de lamelle
hybride.
autre:
avers revers
coin endommagé
défaut du flan
tréflage
frappe décentrée
monnaie incuse
coin usé
autre:

Détérioration et utilisation secondaire

indéterminé
intact
cassé (plus de 3/4 intacts)
cassé (moins de 3/4 intacts)
fragmenté (en 2 ou plusieurs parties)
coupé, limé
ajusté
troué
monté en bijou
martelé
autre:

Manipulations postérieures

indéterminé
aucune
coupé en deux
coupé en quatre
autre partition:
avers revers
rainuré, prép. pour coupe
contremarque*
poinçon*
coup (instruments sauf poinçon)*
graffito*
autre:

*description:

Etat de conservation

usure corrosion
avers revers avers revers
indéterminée
non usé à peu usé
légèrement usé
usé
fortement usé
fruste
indéterminée
non corrodé à peu corrodé
légèrement corrodé
corrodé
fortement corrodé
entièrement corrodé

Documentation et étude

lieu de conservation Service archéologique
n° d'inventaire SAS 19 - 114 - 3 n° du négatif de la photo

qualité des données

étude de l'objet même;
objet présent pour l'étude, mais certaines
données reprises d'ailleurs;
sans original, mais toutes les données
importantes accessibles sous forme écrite;
sans original, certaines données
accessibles sous forme écrite;
sans original, détermination sommaire
écrite;
sans original, communication orale;

Bibliographie et documentation écrite de l'objet

(auteur(s), titre, tome, année et lieu de parution, page(s); pour la documentation écrite un maximum de précision et spécifier si publiée)

fiche de saisie remplie par Maffiez Paul-Emile
lieu Sion date 16.12.19

Remarques



Saisie d'objets individuels

Saisie de la découverte

canton Valais code CSI
commune
localité Salgesch
lieu-dit
coordonnées nationales X: Y:
carré / coupe
n° diagramme de Harris
date de la découverte
altitude
couche
n° de la trouvaille SAS 19-114-4

Classification

classification fonctionnelle

monnaie
jeton de compte
jeton de dédicace, de pèlerinage
médaille
tessère, marque de valeur, méreau, jeton
autre:

attribution chronologique

époque indéterminée
antérieure à l'invention de la monnaie frappée
antique
antique I: VIIIe s. à 27 av. J.-C.
antique II: 27 av. J.-C. à 294/296 ap. J.-C.
antique III: 294/296 à 498
moyen-âge
moyen-âge I: 498 à 751
moyen-âge II: 751 à environ 1180
moyen-âge III: environ 1180 à 1500
époque moderne
époque moderne I: 1500 à 1799
époque moderne II: 1800 à nos jours

Identification

autorité émettrice Tibère
atelier Rome
datation de 271 à 272

appréciation
indéterminée
approximative
restituée
exacte
dénomination As

attribution traditionnelle par la recherche

indéterminée
monnaie celtique
monnaie romaine républicaine
monnaie romaine impériale
monnaie gauloise (Vienna, Copia)
autre:

matière

AE aes (laiton / bronze / cuivre, monnaies antiques)
AL aluminium
AR argent
AV or
BI billon (MA / époque moderne)
BR bronze (MA / époque moderne)
CN cupro-nickel (époque moderne)
CU cuivre (MA / époque moderne)
EL électron
ME laiton (médailles et autres objets)
PB plomb
PT platine
SN étain
autre:

technique de fabrication

indéterminée
fourrage, noyau en AE
fourrage, noyau en FE
surfrappe
"Vierschlag"
"serratus"
autre:

Légende et description

légende de l'avvers D[CR]IVSVS [CAESAR] TI AVG F DIVI AV[G N]
légende du revers [PONTIF TRIBVN PDTEST ITER]; SC
description de l'avvers tête à g., nue
description du revers
type
marques d'atelier et d'officine
références numismatiques RIC I 2, p. 97 no 45

statut

indéterminé
frappe officielle
imitation
faux d'époque
faux moderne
faux d'époque
autre:



Caractéristiques individuelles

poids (g) 9.12 axe 15 °
 diamètre (mm) max. 28.4 min. 27.6

forme: plan

ronde à quatre pointes
ovale autre:
carrée, aux coins arrondis

forme: coupe

plate en forme de bractéate
en biseau autre:
scyphate, en forme de coupe

Défauts de fabrication et hybrides

indéterminé
sans défaut
bout de lamelle
hybride.
autre:

Détérioration et utilisation secondaire

indéterminé
intact
cassé (plus de 3/4 intacts)
cassé (moins de 3/4 intacts)
fragmenté (en 2 ou plusieurs parties)
coupé, limé
ajusté
troué
monté en bijou
martelé
autre:

avers revers

coin endommagé.....
défaut du flan.....
tréflage.....
frappe décentrée..... X
monnaie incuse.....
coin usé.....
autre:

Manipulations postérieures

indéterminé
aucune
coupé en deux
coupé en quatre
autre partition:

avers revers

rainuré, prép. pour coupe.....
contremarque*.....
poinçon*.....
coup (instruments sauf poinçon)*.....
graffito*.....
autre:

*description:

Etat de conservation

usure
avers revers
indéterminée.....
non usé à peu usé.....
U2 légèrement usé.....
usé U3
fortement usé.....
fruste.....

corrosion
avers revers
indéterminée.....
non corrodé à peu corrodé.....
légèrement corrodé.....
C3 corrodé.....
fortement corrodé..... C4
entièrement corrodé.....

Documentation et étude

lieu de conservation Service archéologique
n° d'inventaire SAS 19 - 114 - 4 n° du négatif de la photo

qualité des données

étude de l'objet même; sans original, mais toutes les données importantes accessibles sous forme écrite;
objet présent pour l'étude, mais certaines données reprises d'ailleurs; sans original, certaines données accessibles sous forme écrite; sans original, détermination sommaire écrite; sans original, communication orale;

Bibliographie et documentation écrite de l'objet

(auteur(s), titre, tome, année et lieu de parution, page(s); pour la documentation écrite un maximum de précision et spécifier si publiée)

fiche de saisie remplie par Mottiez Paul-Emile
lieu Sion date 16.12.13

Remarques

Potentiellement monnaie de la Restitutio de Titus (80 ap. J.C) RECD.1 n° 437,
mais le lathage du RV bien qu'il est visible, ne semble pas correspondre.



Saisie d'objets individuels

Saisie de la découverte

canton Valass code CSI
commune
localité Salgesch
lieu-dit
coordonnées nationales X: Y:
carré / coupe
n° diagramme de Harris n° de la trouvaille SAS 19-114-5

Classification

classification fonctionnelle
monnaie jeton de compte médaille
tessère, marque de valeur, méreau, jeton jeton de dédicace, de pèlerinage
attribution chronologique
époque indéterminée moyen-âge
antérieure à l'invention de la monnaie frappée moyen-âge I: 498 à 751
antique moyen-âge II: 751 à environ 1180
antique I: VIIIe s. à 27 av. J.-C. moyen-âge III: environ 1180 à 1500
antique II: 27 av. J.-C. à 294/296 ap. J.-C. époque moderne
antique III: 294/296 à 498 époque moderne I: 1500 à 1799
époque moderne II: 1800 à nos jours

Identification

autorité émettrice Tibère pour Auguste divisé
atelier Atelier indéterminé
datation de 22 à 37
appréciation indéterminée approximative reconstituée exacte
dénomination As

attribution traditionnelle par la recherche

indéterminée monnaie romaine républicaine monnaie gauloise (Vienna, Copia)
monnaie celtique monnaie romaine impériale
matière
AE aes (laiton / bronze / cuivre, monnaies antiques) BR bronze (MA / époque moderne) PB plomb
AL aluminium CN cupro-nickel (époque moderne) PT platine
AR argent CU cuivre (MA / époque moderne) SN étain
AV or EL électron
BI billon (MA / époque moderne) ME laiton (médailles et autres)
objets

technique de fabrication

indéterminée fourrage, noyau en AE "Vierschlag"
frappe fourrage, noyau en FE "serratus"
coulage surfrappe autre:

Légende et description

légende de l'avvers []?
légende du revers [PROVIDENT (en exergue) ; S-C
description de l'avvers tzb. a.g. m. d. i. e. ?
description du revers antel de la providence
type DAP antel
marques d'atelier et d'officine
références numismatiques RIC I 2, p. 95 n° 81

statut

indéterminé imitation faux moderne
frappe officielle faux d'époque
indéterminée



Caractéristiques individuelles

poids (g) axe °
diamètre (mm) max. 26.5 min. 24.0

forme: plan

ronde
ovale
carrée, aux coins arrondis

à quatre pointes
autre:

forme: coupe

plate
en biseau
scyphate, en forme de coupe

en forme de bractéate
autre:

Défauts de fabrication et hybrides

indéterminé
sans défaut
bout de lamelle
hybride.

autre:

avers

revers

coin endommagé
défaut du flan
tréflage
frappe décentrée
monnaie incuse
coin usé
autre:

Détérioration et utilisation secondaire

indéterminé
intact
cassé (plus de 3/4 intacts)
cassé (moins de 3/4 intacts)
fragmenté (en 2 ou plusieurs parties)
coupé, limé
ajusté
troué
monté en bijou
martelé
autre:

Manipulations postérieures

indéterminé
aucune
coupé en deux
coupé en quatre
autre partition:

avers

revers

rainuré, prép. pour coupe
contremarque*
poinçon*
coup (instruments sauf poinçon)*
graffito*
autre:

*description:

Etat de conservation

usure

avers

revers

indéterminée
non usé à peu usé
légèrement usé 0.2
usé
fortement usé
fruste

corrosion

avers

revers

indéterminée
non corrodé à peu corrodé
légèrement corrodé
corrodé C.3
fortement corrodé
entièrement corrodé

Documentation et étude

lieu de conservation Service archéologique

n° d'inventaire SAS 19-114-5 n° du négatif de la photo

qualité des données

étude de l'objet même;
objet présent pour l'étude, mais certaines
données reprises d'ailleurs;

sans original, mais toutes les données
importantes accessibles sous forme écrite;
sans original, certaines données
accessibles sous forme écrite;

sans original, détermination sommaire
écrite;
sans original, communication orale;

Bibliographie et documentation écrite de l'objet

(auteur(s), titre, tome, année et lieu de parution, page(s)); pour la documentation écrite un maximum de précision et spécifier si publiée)

fiche de saisie remplie par Mottiez Paul-Emile

lieu Sion date 16.12.19

Remarques

Av. illisible -> monnaie collée aux pièces N° 6 et 7.



Saisie d'objets individuels

Saisie de la découverte

canton Valais code CSI
commune
localité Salgesch
lieu-dit
date de la découverte
coordonnées nationales X: Y: altitude
carré / coupe couche
n° diagramme de Harris n° de la trouvaille SAS 19-114-6

Classification

classification fonctionnelle
monnaie jeton de compte médaille
tessère, marque de valeur, méreau, jeton jeton de dédicace, de pèlerinage
autre:
attribution chronologique
époque indéterminée moyen-âge
antérieure à l'invention de la monnaie frappée moyen-âge I: 498 à 751
antique moyen-âge II: 751 à environ 1180
antique I: VIIIe s. à 27 av. J.-C. moyen-âge III: environ 1180 à 1500
antique II: 27 av. J.-C. à 294/296 ap. J.-C. époque moderne
antique III: 294/296 à 498 époque moderne I: 1500 à 1799
époque moderne II: 1800 à nos jours

Identification

autorité émettrice Tibère pour Auguste divinisé
atelier Ateliers indéterminés
datation de 22 à 37
appréciation indéterminée approximative reconstituée exacte
dénomination As

attribution traditionnelle par la recherche

indéterminée monnaie romaine républicaine monnaie gauloise (Vienna, Copia)
monnaie celtique monnaie romaine impériale
autre:
matière
AE aes (laiton / bronze / cuivre, monnaies antiques) BR bronze (MA / époque moderne) PB plomb
AL aluminium CN cupro-nickel (époque moderne) PT platine
AR argent CU cuivre (MA / époque moderne) SN étain
AV or EL électron
BI billon (MA / époque moderne) ME laiton (médailles et autres objets)
autre:

technique de fabrication

indéterminée fourrage, noyau en AE "Vierschlag"
frappe fourrage, noyau en FE "serratus"
coulage surfrappe
autre:

Légende et description

légende de l'avvers []
légende du revers [P]ROVID[ENT] (en exergue); [S-C]
description de l'avvers tête à g., radiée?
description du revers autel de la providence
type DAP autel
marques d'atelier et d'officine
références numismatiques RIC I², p. 99 n° 81

statut

indéterminé imitation faux moderne
frappe officielle faux d'époque indéterminée
autre:



Caractéristiques individuelles

poids (g) axe °
diamètre (mm) max. 31.1 min. 29.5
forme: plan forme: coupe
ronde à quatre pointes plate en forme de bractéate
ovale autre: en biseau autre:
carrée, aux coins arrondis scyphate, en forme de coupe

Défauts de fabrication et hybrides

indéterminé
sans défaut
bout de lamelle
hybride.
autre: flan mince et fissuré
avers revers
coin endommagé
défaut du flan
tréflage
frappe décentrée
monnaie incuse
coin usé
autre:

Détérioration et utilisation secondaire

indéterminé
intact
cassé (plus de 3/4 intacts)
cassé (moins de 3/4 intacts)
fragmenté (en 2 ou plusieurs parties)
coupé, limé
ajusté
troué
monté en bijou
martelé
autre:

Manipulations postérieures

indéterminé
aucune
coupé en deux
coupé en quatre
autre partition:
avers revers
rainuré, prép. pour coupe
contremarque*
poinçon*
coup (instruments sauf poinçon)*
graffito*
autre:

*description:

Etat de conservation

usure corrosion
avers revers avers revers
indéterminée V.O. indéterminée
non usé à peu usé non corrodé à peu corrodé
légèrement usé légèrement corrodé
usé corrodé
fortement usé fortement corrodé C.F.
fruste entièrement corrodé

Documentation et étude

lieu de conservation Service archéologique
n° d'inventaire SAS19-114-6 n° du négatif de la photo

qualité des données

étude de l'objet même:
objet présent pour l'étude, mais certaines données reprises d'ailleurs;
sans original, mais toutes les données importantes accessibles sous forme écrite;
sans original, certaines données accessibles sous forme écrite;
sans original, détermination sommaire écrite;
sans original, communication orale;

Bibliographie et documentation écrite de l'objet

(auteur(s), titre, tome, année et lieu de parution, page(s); pour la documentation écrite un maximum de précision et spécifier si publiée)

fiche de saisie remplie par Mottiez Paul-Emile
lieu Sion date 16.12.19

Remarques
Monnaie en sandwich entre N° 5 et 7. Av. illisible.



Saisie d'objets individuels

Saisie de la découverte

canton Valais code CSI
commune
localité Salgesch
lieu-dit
coordonnées nationales X: Y: altitude
carré / coupe
n° diagramme de Harris n° de la trouvaille SAS.19-114-7

Classification

classification fonctionnelle

monnaie jeton de compte médaille
tessère, marque de valeur, méreau, jeton jeton de dédicace, de pèlerinage
autre:

attribution chronologique

époque indéterminée moyen-âge
antérieure à l'invention de la monnaie frappée
antique moyen-âge I: 498 à 751
antique I: VIIIe s. à 27 av. J.-C. moyen-âge II: 751 à environ 1180
antique II: 27 av. J.-C. à 294/296 ap. J.-C. moyen-âge III: environ 1180 à 1500
antique III: 294/296 à 498 époque moderne
époque moderne I: 1500 à 1799
époque moderne II: 1800 à nos jours

Identification

autorité émettrice Tibère
atelier Rome
datation de 21 à 22
appréciation indéterminée approximative reconstituée exacte
dénomination Dupontius

attribution traditionnelle par la recherche

indéterminée monnaie romaine républicaine monnaie gauloise (Vienna, Copia)
monnaie celtique monnaie romaine impériale
autre:

matière

AE aes (laiton / bronze / cuivre, monnaies antiques) BR bronze (MA / époque moderne) PB plomb
AL aluminium CN cupro-nickel (époque moderne) PT platine
AR argent CU cuivre (MA / époque moderne) SN étain
AV or EL électron
BI billon (MA / époque moderne) ME laiton (médailles et autres)
objets autre:

technique de fabrication

indéterminée fourrage, noyau en AE "Vierschlag"
frappe fourrage, noyau en FE "serratus"
coulage surfrappe
autre:

Légende et description

légende de l'avvers []
légende du revers [DRVSVS] CAESAR TI AVGVSTI F TR POT [ITER]; S C
description de l'avvers Pietas à dr, chapel, voile avec diadème?
description du revers
type
marques d'atelier et d'officine
références numismatiques RIC II p. 97 n° 43

statut

indéterminé imitation faux moderne autre:
frappe officielle faux d'époque faux d'époque



Caractéristiques individuelles

Forme: plan
poids (g)
diamètre (mm) max.
forme: coupe
axe
min.

Défauts de fabrication et hybrides

indéterminé
sans défaut
bout de lamelle
hybride.

avers
revers
coin endommagé
défaut du flan
tréflage
frappe décentrée
monnaie incuse
coin usé

Détérioration et utilisation secondaire

indéterminé
intact
cassé (plus de 3/4 intacts)
cassé (moins de 3/4 intacts)
fragmenté (en 2 ou plusieurs parties)
coupé, limé
ajusté
troué
monté en bijou
martelé

Manipulations postérieures

indéterminé
aucune
coupé en deux
coupé en quatre
autre partition:

avers
revers
rainuré, prép. pour coupe
contremarque*
poinçon*
coup (instruments sauf poinçon)*
graffito*
autre:

*description:

Etat de conservation

usure
avers
revers
indéterminée
non usé à peu usé
légèrement usé
usé
fortement usé
fruste

corrosion
avers
revers
indéterminée
non corrodé à peu corrodé
légèrement corrodé
corrodé
fortement corrodé
entièrement corrodé

Documentation et étude

lieu de conservation
n° d'inventaire
n° du négatif de la photo

qualité des données

étude de l'objet même;
objet présent pour l'étude, mais certaines données reprises d'ailleurs;
sans original, mais toutes les données importantes accessibles sous forme écrite;
sans original, certaines données accessibles sous forme écrite;
sans original, détermination sommaire écrite;
sans original, communication orale;

Bibliographie et documentation écrite de l'objet

(auteur(s), titre, tome, année et lieu de parution, page(s); pour la documentation écrite un maximum de précision et spécifier si publiée)

fiche de saisie remplie par
lieu
date

Remarques

Ar. illisible, monnaie collée aux n° 5 et 6



Saisie d'objets individuels

Saisie de la découverte

canton Valais code CSI
commune
localité Salgesch
lieu-dit
date de la découverte
coordonnées nationales X: Y: altitude
carré / coupe couche
n° diagramme de Harris n° de la trouvaille SAS.19-117

Classification

classification fonctionnelle

monnaie jeton de compte médaille
tessère, marque de valeur, méreau, jeton jeton de dédicace, de pèlerinage
autre:

attribution chronologique

époque indéterminée moyen-âge
antérieure à l'invention de la monnaie frappée moyen-âge I: 498 à 751
antique moyen-âge II: 751 à environ 1180
antique I: VIIIe s. à 27 av. J.-C. moyen-âge III: environ 1180 à 1500
antique II: 27 av. J.-C. à 294/296 ap. J.-C. époque moderne
antique III: 294/296 à 498 époque moderne I: 1500 à 1799
époque moderne II: 1800 à nos jours

Identification

autorité émettrice Rome République
atelier Rome
datation 97 av. J.-C.
appréciation indéterminée approximative reconstituée exacte
dénomination Quinaire

attribution traditionnelle par la recherche

indéterminée monnaie romaine républicaine monnaie gauloise (Vienna, Copia)
monnaie celtique monnaie romaine impériale
autre:

matière

AE aes (laiton / bronze / cuivre, monnaies antiques) BR bronze (MA / époque moderne) PB plomb
AL aluminium CN cupro-nickel (époque moderne) PT platine
AR argent CU cuivre (MA / époque moderne) SN étain
AV or EL électron
BI billon (MA / époque moderne) ME laiton (médailles et autres objets)
autre:

technique de fabrication

indéterminée fourrage, noyau en AE "Vierschlag"
frappe fourrage, noyau en FE "serratus"
coulage surfrappe
autre:

Légende et description

légende de l'avrs C.EG [NATVLEI (ligatures NAT et VL) • C • F] [Q]
légende du revers [Q]; [ROMA] (en exergue)
description de l'avrs tête d'Apollon à dr., laurée.
description du revers Victoria debout à g., inscrivant un bouclier fixé à un trophée, près du trophée un cornucopie.
type
marques d'atelier et d'officine
références numismatiques R.R.C. p. 332, n° 333/1

statut

indéterminé imitation faux moderne
frappe officielle faux d'époque
autre:
indéterminée



Caractéristiques individuelles

poids (g) 1.33 axe 270
diamètre (mm) max. 16.2 min. 14.4

forme: plan à quatre pointes
forme: coupe plate en forme de bractéate
ronde autre:
ovale autre:
carrée, aux coins arrondis scyphate, en forme de coupe

Défauts de fabrication et hybrides

indéterminé
sans défaut
bout de lamelle
hybride.
autre:
avers revers
coin endommagé
défaut du flan
tréflage
X frappe décentrée X
monnaie incuse
coin usé
autre:

Détérioration et utilisation secondaire

indéterminé
intact
cassé (plus de 3/4 intacts)
cassé (moins de 3/4 intacts)
fragmenté (en 2 ou plusieurs parties)
coupé, limé
ajusté
troué
monté en bijou
martelé
autre: impression d'une frappe postérieure à la frappe d'origine.

Manipulations postérieures

indéterminé
aucune
coupé en deux
coupé en quatre
autre partition:
avers revers
rainuré, prép. pour coupe
contremarque*
poinçon*
coup (instruments sauf poinçon)*
graffito*
autre:

*description:

Etat de conservation

usure corrosion
avers revers avers revers
indéterminée
non usé à peu usé
légèrement usé
usé U3
U4 fortement usé
fruste
indéterminée
non corrodé à peu corrodé
légèrement corrodé C2
C3 corrodé
fortement corrodé
entièrement corrodé

Documentation et étude

lieu de conservation Service archéologique
n° d'inventaire SAS19-117 n° du négatif de la photo

qualité des données

étude de l'objet même:
objet présent pour l'étude, mais certaines données reprises d'ailleurs;
sans original, mais toutes les données importantes accessibles sous forme écrite;
sans original, certaines données accessibles sous forme écrite;
sans original, détermination sommaire écrite;
sans original, communication orale;

Bibliographie et documentation écrite de l'objet

(auteur(s), titre, tome, année et lieu de parution, page(s)); pour la documentation écrite un maximum de précision et spécifier si publiée)

.....
.....
.....
.....

fiche de saisie remplie par Mathez Paul-Emile
lieu Sion date 16.12.19

Remarques

.....
.....
.....



- 1 -

SAS19 - OC6 - 62/65



- 2 -

SAS19 - OC6 - 69/70



- 3 -

SAS19 - OC6 - 2.2/67



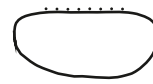
- 4 -

SAS19 - CO5 - 44.1



- 5 -

SAS19 - OC6 - 66/71.2



- 6 -

SAS19 - H.S. - 3

Ech: 1:4

Pl. 1



SAS19 - T1 - 127 (Photographie ARIA)



SAS19 - T1 - 82



SAS19 - T1 - 81



SAS19 - T1 - 83



SAS19 - T1 - 84



SAS19 - T1 - 148



SAS19 - T1 - 85



SAS19 - T1 - 86

Pl. 2

(Photographies ConservArt)



SAS19 - T1 - 104



SAS19 - T1 - 130



SAS19 - T1 - 131



SAS19 - T1 - 136



SAS19 - T1 - 114



SAS19 - T1 - 117



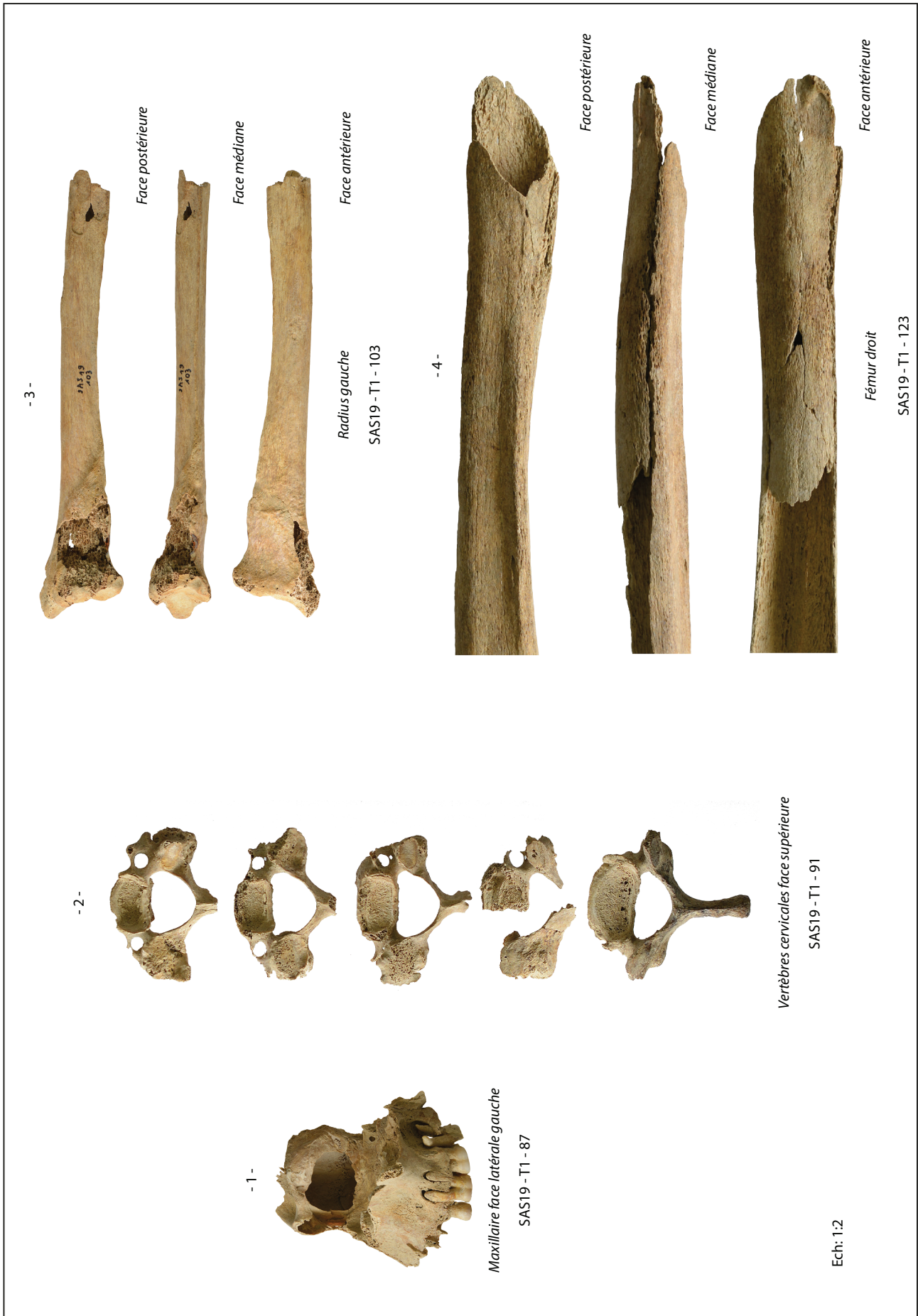
SAS19 - T1 - 133



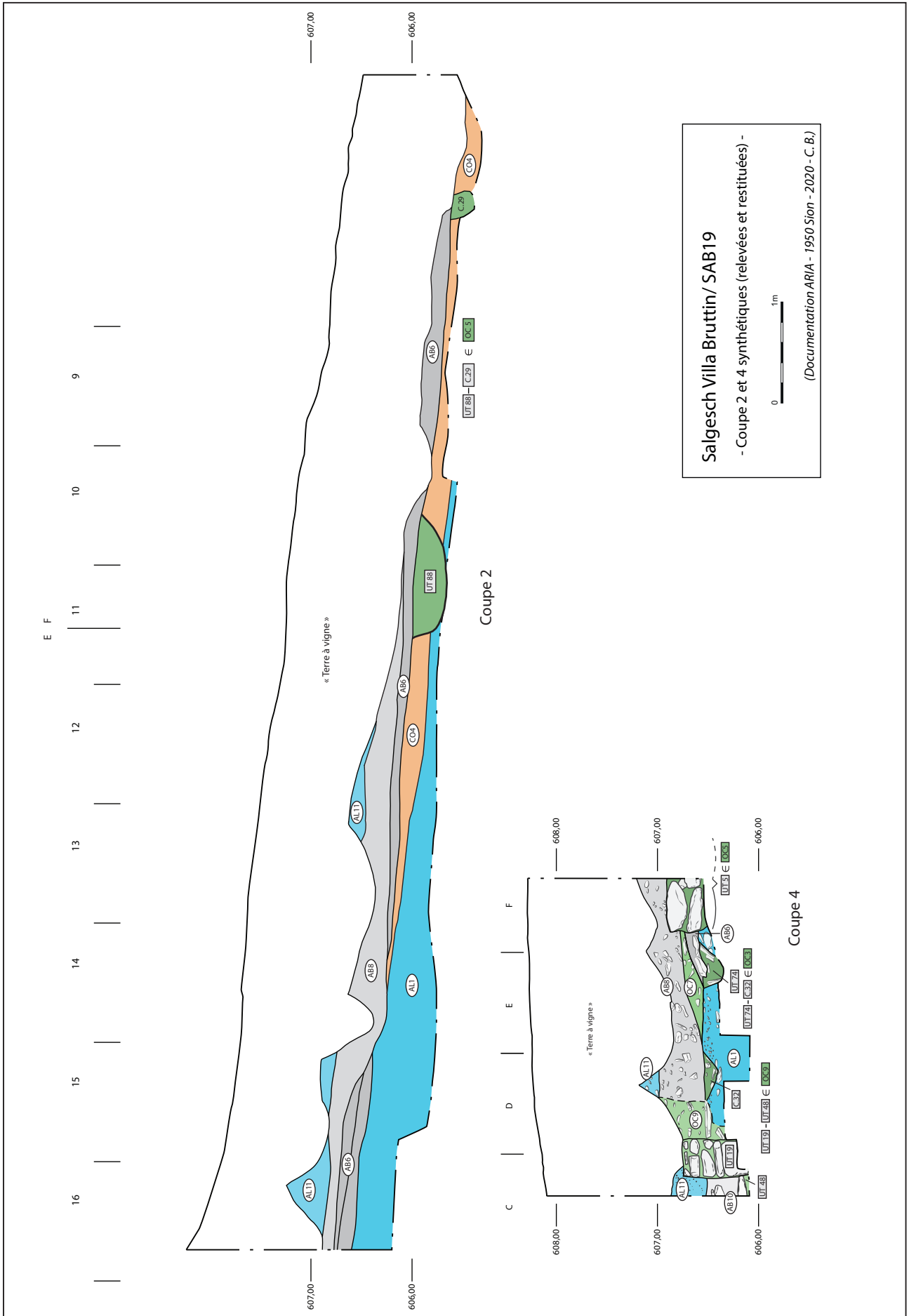
SAS19 - T1 - 143/144/145/146

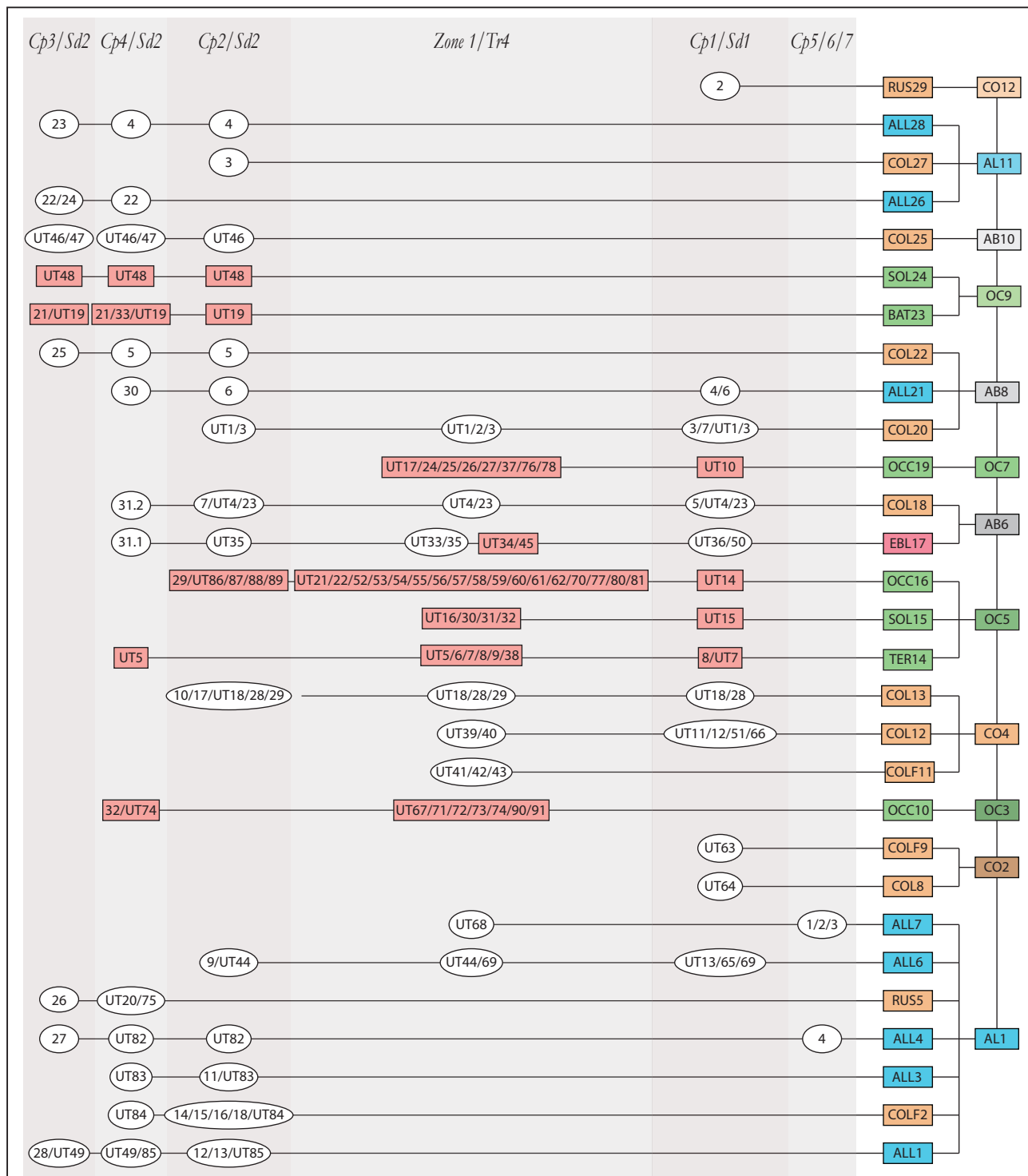
Pl. 3

(Photographies ConservArt)



ANNEXES SAB19

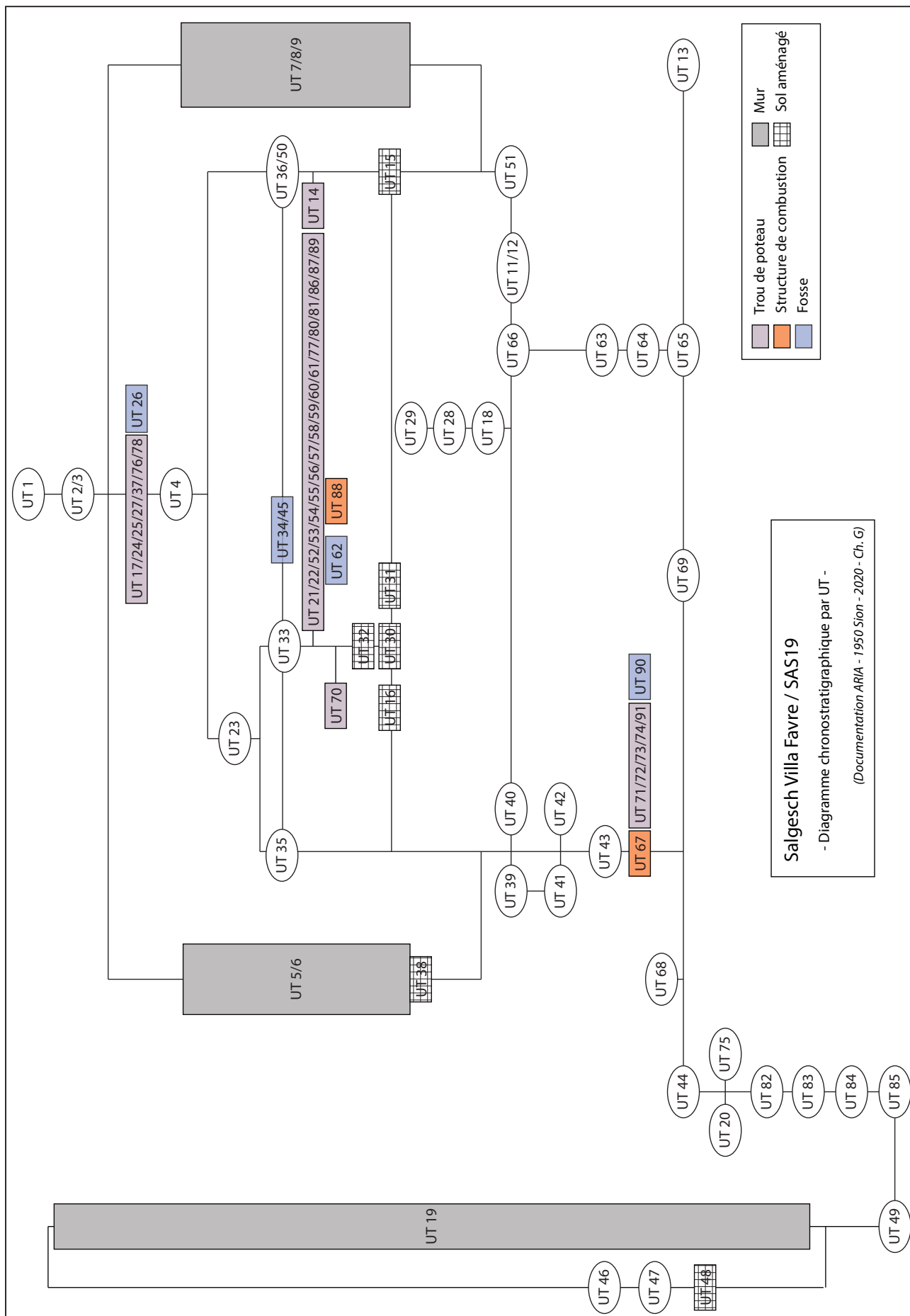


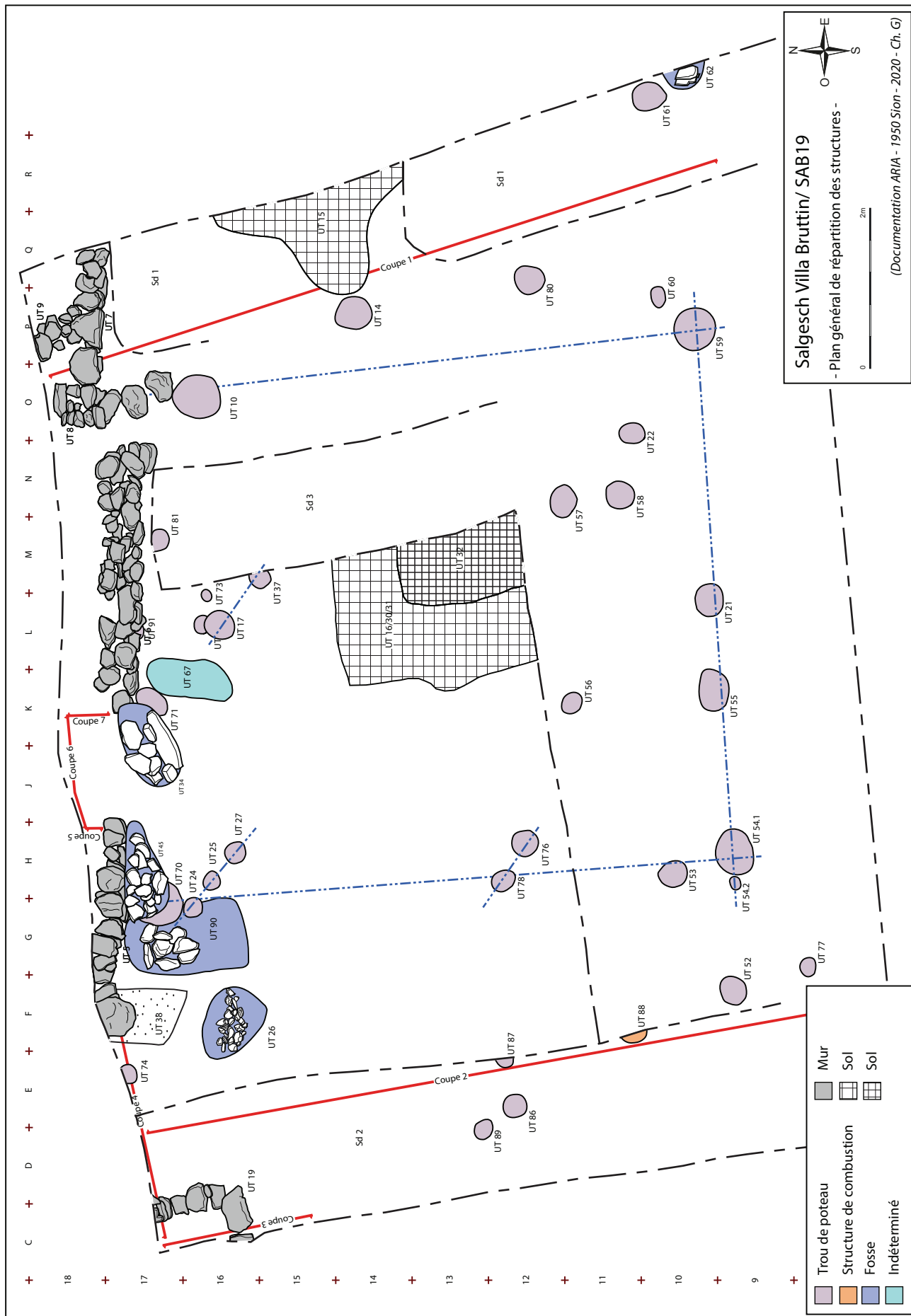


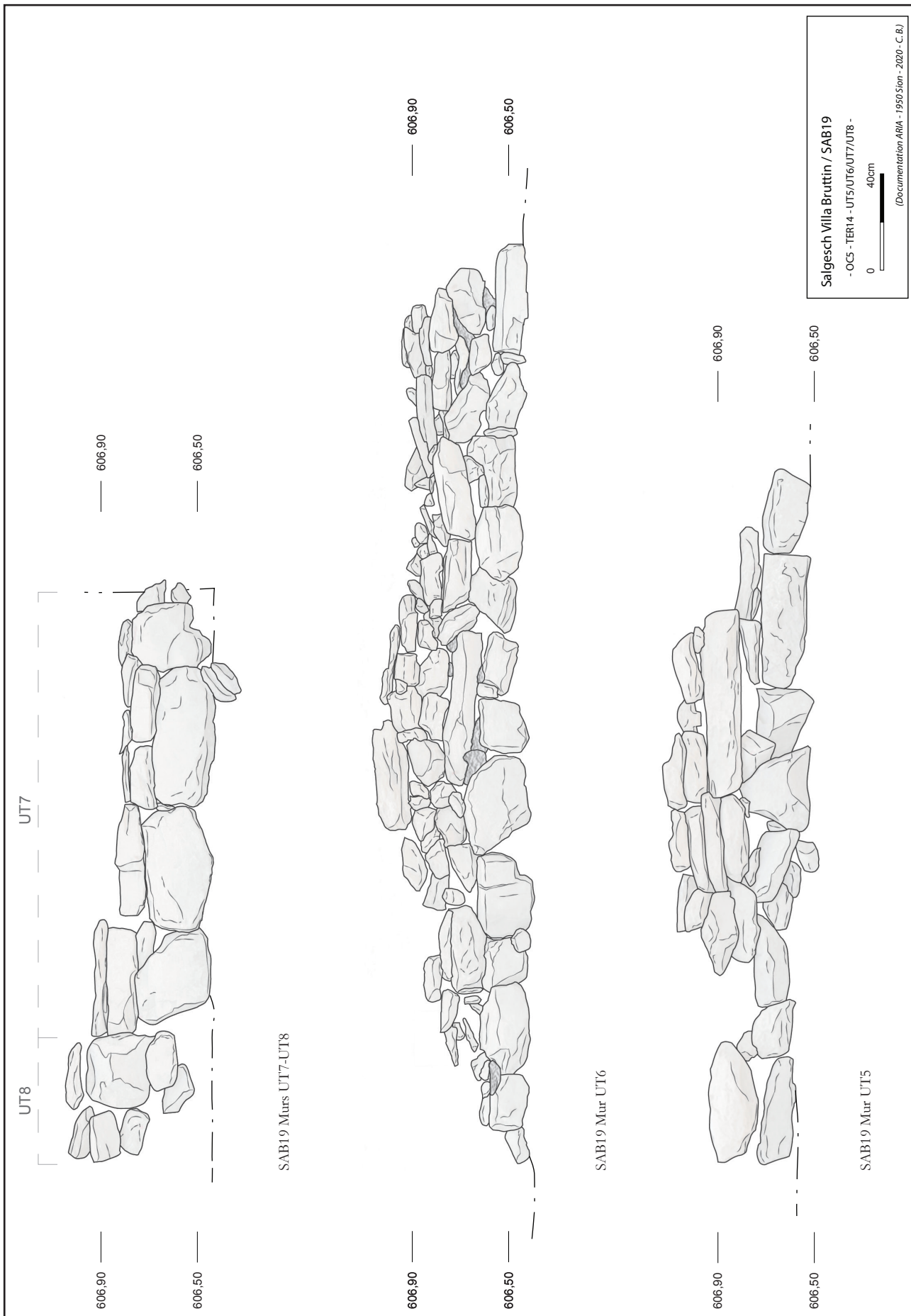
UT Naturelle UTA Anthropique

Laboratoire	Echantillon n°	UT n°	Matière	C14	C14 cal. (95.4%)	Courbe
Poz-119708	EA4	48	Charbon de bois	1290+/-30 BP	664-770 AD	Bonk Ramsey 2013, Ox Cal v 4.2.3
Poz-119709	EA6	28	Charbon de bois	1605+/-30 BP	396-539 AD	Bonk Ramsey 2013, Ox Cal v 4.2.3
Poz-119711	EA8	64	Charbon de bois	1600+/-35 BP	399-539 AD	Bonk Ramsey 2013, Ox Cal v 4.2.3

Salgesch Villa Bruttin / SAB19
 - Diagramme chronostratigraphique par phases -
 (Documentation ARIA - 1950 Sion - 2020 - Ch. G)









SAB19 - OC3 - 70



SAB19 - CO4 - 43



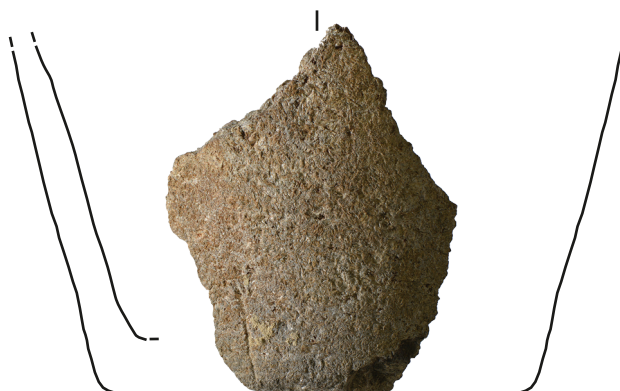
SAB19 - OC5 - 65



SAB19 - AB6 - 24



SAB19 - AB6 - 27



SAB19 - AB6 - 29



SAB19 - AB6 - 37

Ech: 1:2